

# RADIOAKTIVITÄTSMESSUNGEN IN ÖSTERREICH 2003 und 2004

## DATEN UND BEWERTUNG



lebensministerium.at

Bundesministerium für Land- und Forstwirtschaft,  
Umwelt und Wasserwirtschaft  
Sektion V  
Stubenbastei 5, 1010 Wien

## BUNDESMINISTERIUM FÜR GESUNDHEIT UND FRAUEN



Bundesministerium für Gesundheit  
und Frauen  
Sektion III  
Radetzkystraße 2, 1031 Wien

Eigentümer, Herausgeber und Verleger: REPUBLIK ÖSTERREICH  
BMGF Sektion III  
BMLFUW Sektion V

Für den Inhalt verantwortlich:

GenDir. f. öffentl. Gesundheit Dr. Hubert HRABCIK (BMGF, Sektion III)  
SC Dr. Ernst STREERUWITZ (BMLFUW, Sektion V)  
MR Dr. Josef ZECHNER (BMGF, Sektion III)

Text und Gestaltung:

OR Mag. Manfred DITTO (BMGF, Sektion III)

## Inhaltsverzeichnis

Vorwort .....	1
Begriffe.....	3
Zusammenfassung .....	7
Summary.....	11
1. Einleitung .....	13
1.1. Natürliche Strahlenexposition.....	13
1.1.1. Kosmische Strahlung .....	13
1.1.2. Natürliche Radionuklide .....	14
1.2. Zivilisatorische Strahlenexposition.....	16
1.2.1. Reaktorunfall von Tschernobyl.....	16
1.2.2. Kernwaffenversuche .....	17
1.2.3. Nuklearmedizin .....	17
1.2.4. Sonstige Quellen .....	18
2. Die Überwachung Österreichs auf radioaktive Kontamination.....	19
2.1. Überwachungsnetz für Radioaktivität.....	20
2.1.1. Strahlenfrühwarnsystem.....	20
2.1.2. Laborgestütztes Überwachungsnetz für Radioaktivität .....	23
2.2. Anlagenüberwachung.....	24
2.2.1. Austrian Research Centers Seibersdorf (ARCS).....	26
2.2.2. Atominstitut der Österreichischen Universitäten (AI).....	26
3. Ergebnisse aus dem Strahlenfrühwarnsystem .....	29
4. Ergebnisse aus dem laborgestützten Überwachungsnetz .....	34
4.1. Luft .....	34
4.2. Niederschlag .....	39
4.3. Oberflächenwasser.....	44
4.4. Emissionen aus Kläranlagen .....	54
4.5. Sonstige Umweltmedien .....	59
4.5.1. Böden.....	59
4.5.2. Grundwasser .....	59
4.6. Lebensmittel.....	60
4.6.1. Milch und Milchprodukte .....	61
4.6.2. Obst, Gemüse, Kartoffeln und Getreide.....	64
4.6.3. Fleisch.....	65
4.6.4. Pilze .....	66
4.6.5. Trink- und Quellwasser.....	68
4.6.6. Gesamtnahrung .....	69
4.6.7. Sonstige Lebensmittel .....	69
4.6.8. Lebensmittel aus dem Ausland.....	69
4.6.9. Grenzwertregelung.....	70

5. Ergebnisse aus der Anlagenüberwachung.....	73
5.1. Austrian Research Centers Seibersdorf.....	73
5.1.1. Emissionen radioaktiver Stoffe .....	73
5.1.2. Umgebungsüberwachung .....	76
5.2. Atominstitut der Österreichischen Universitäten.....	77
5.2.1. Emissionen radioaktiver Stoffe .....	77
5.2.2. Umgebungsüberwachung .....	78
6. Strahlenexposition der Bevölkerung.....	80
6.1. Natürliche Strahlenexposition.....	80
6.1.1. Externe Strahlenexposition .....	80
6.1.2. Interne Strahlenexposition.....	81
6.2. Zivilisatorische Strahlenexposition.....	82
6.2.1. Anwendung radioaktiver Stoffe und ionisierender Strahlung in der Medizin .....	83
6.2.2. Anwendung radioaktiver Stoffe und ionisierender Strahlung in Forschung, Technik und Haushalt ..	83
6.2.3. Berufliche Tätigkeit .....	83
6.2.4. Fallout von Kernwaffenversuchen.....	84
6.2.5. Kerntechnische Anlagen.....	84
6.2.6. Reaktorunfall von Tschernobyl.....	84
6.3. Gesamte Strahlenexposition.....	87
Anhang.....	88
A1. Beweissicherung Kernkraftwerk Temelin – Zwischenbericht 2004.....	88
A2. Radonbelastung in oberösterreichischen Schulen .....	91
A3. Strahlenexposition von Beschäftigten in oberösterreichischen Wasserwerken (Teil 1: Projektdarstellung)..	95
Literatur .....	97

## Vorwort

In Österreich wird gemäß Strahlenschutzgesetz eine systematische Strahlenüberwachung durchgeführt. Damit erfüllt Österreich auch Verpflichtungen im europäischen Rahmen. Mit dieser Überwachung sind das Bundesministerium für Gesundheit und Frauen und das Bundesministerium für Land- und Forstwirtschaft, Umwelt und Wasserwirtschaft betraut. Um die Daten aus der Strahlenüberwachung in zusammenhängender und einheitlicher Form der Öffentlichkeit zu präsentieren, werden diese in einem gemeinsamen Bericht der zuständigen Ressorts zusammengefasst.

Über die Ergebnisse der Radioaktivitätsüberwachung in Österreich wurde, beginnend mit der Phase der oberirdischen Kernwaffenversuche, in einer Reihe von Publikationen berichtet. Der vorliegende Bericht ist der jüngste in dieser Reihe und gibt einen Überblick über die Radioaktivitäts- und Strahlenüberwachung in Österreich in den Jahren 2003 und 2004. Es werden darin Daten zur Radioaktivität und Strahlung in verschiedenen Bereichen sowie die sich daraus für die Bevölkerung ergebenden Strahlendosen vorgestellt. Weiters werden Ergebnisse aus der behördlichen sowie der betriebsinternen Überwachung von kerntechnischen Anlagen präsentiert.

Die Basis für die im Bericht angeführten Werte bilden in erster Linie von der Österreichischen Agentur für Gesundheit und Ernährungssicherheit (AGES) durchgeführte Untersuchungen. Bezüglich der Anlagenüberwachung wurde auch auf Daten aus der betrieblichen Eigenkontrolle zurückgegriffen.

## **Danksagung**

Es wird allen gedankt, die die Erstellung dieses Berichtes ermöglicht haben.

Insbesondere gilt unser Dank den Personen, die die Strahlenfrühwarnmessstellen vor Ort betreuen, den Mitarbeiterinnen und Mitarbeitern der technischen Betriebsführung des Strahlenfrühwarnsystems und den für die Wartung der Messgeräte sowie der Datenübertragungseinrichtungen zuständigen Serviceteams.

Weiters sei allen, die bei den Probenahmen beteiligt waren, sowie den Kolleginnen und Kollegen in den Messlabors der AGES, deren Arbeit die wesentliche Grundlage für diesen Bericht bildet, gedankt.

## **Begriffe**

### **Radioaktivität**

Eigenschaft von instabilen Atomkernen, sich ohne äußere Einwirkung unter Aussendung von Teilchen- und/oder Photonenstrahlung umzuwandeln

### **Radionuklide**

instabile Atomkerne, die sich spontan umwandeln

### **Radioaktive Stoffe**

Stoffe, die Radionuklide enthalten

### **Ionisierende Strahlung**

Teilchen- oder Photonenstrahlung mit so hoher Energie, dass sie Atome und Moleküle ionisieren kann (z.B.: Alphastrahlung, Betastrahlung, Neutronenstrahlung, Gammastrahlung, Röntgenstrahlung)

### **Alphastrahlung**

Teilchenstrahlung in Form von Heliumatomkernen (Alphateilchen)

### **Betastrahlung**

Teilchenstrahlung in Form von Elektronen (Betateilchen)

### **Neutronenstrahlung**

Teilchenstrahlung in Form von Neutronen

### **Gammastrahlung**

elektromagnetische Wellenstrahlung (Photonenstrahlung), die infolge einer Kernumwandlung entsteht

### **Röntgenstrahlung**

elektromagnetische Wellenstrahlung (Photonenstrahlung), die bei der Abbremsung von Elektronen im Kernfeld (Bremsstrahlung) bzw. bei Quantensprüngen von Elektronen zwischen den inneren Elektronenschalen der Atomhülle entsteht (charakteristische Röntgenstrahlung)

### **Aktivität**

Anzahl der pro Zeiteinheit in einem radioaktiven Stoff ablaufenden Kernumwandlungen (Zerfälle)

### **Becquerel (Bq)**

Einheit für die Aktivität: 1 Becquerel (Bq) = 1 Zerfall pro Sekunde  
(frühere Einheit: 1 Curie (Ci) =  $3.7 \times 10^{10}$  Bq)

### **Halbwertszeit**

Zeitintervall, in dem die Aktivität eines radioaktiven Stoffes auf die Hälfte abnimmt

### **Energiedosis**

absorbierte Energie pro Masseneinheit

### **Gray (Gy)**

Einheit für die Energiedosis: 1 Gray (Gy) = 1 Joule pro Kilogramm  
(frühere Einheit: 1 Rad (rd) = 0.01 Gy)

### **Äquivalentdosis**

Energiedosis multipliziert mit dem Strahlungs-Wichtungsfaktor für die betreffende Strahlenart; dadurch wird die unterschiedlich starke biologische Wirkung von verschiedenen Strahlenarten berücksichtigt

### **Effektive Dosis**

Summe der mit den Gewebe-Wichtungsfaktoren multiplizierten Äquivalentdosen in den einzelnen bestrahlten Organen und Geweben des Körpers; die Gewebe-Wichtungsfaktoren stellen ein Maß für die unterschiedliche Strahlenempfindlichkeit von Geweben bzw. Organen dar

**Sievert (Sv)**

Einheit für die Äquivalent- und Effektivdosis: 1 Sievert (Sv) = 1 Joule pro Kilogramm  
(frühere Einheit: 1 Rem (rem) = 0.01 Sv)

**Dosisleistung**

Dosis, bezogen auf eine bestimmte Zeiteinheit (z.B.: Gy/h, Sv/h)

**Strahlenexposition**

Einwirkung ionisierender Strahlung auf den menschlichen Körper

**Inkorporation von radioaktiven Stoffen**

Aufnahme von radioaktiven Stoffen in den Körper

**Inhalation von radioaktiven Stoffen**

Aufnahme von radioaktiven Stoffen mit der Atemluft

**Ingestion von radioaktiven Stoffen**

Aufnahme von radioaktiven Stoffen mit der Nahrung

**Vorsatzzeichen**

In diesem Bericht werden als Einheiten die derzeit gültigen SI-Einheiten bzw. dezimale Vielfache und Teile von diesen unter Hinzunahme von Vorsatzzeichen verwendet.

Vorsatz-name	Vorsatz-zeichen	Zehnerpotenz
Tera	T	$10^{12}$ = 1 000 000 000 000
Giga	G	$10^9$ = 1 000 000 000
Mega	M	$10^6$ = 1 000 000
Kilo	k	$10^3$ = 1 000
Milli	m	$10^{-3}$ = 0.001
Mikro	$\mu$	$10^{-6}$ = 0.000 001
Nano	n	$10^{-9}$ = 0.000 000 001
Piko	p	$10^{-12}$ = 0.000 000 000 001

**Abkürzungen**

AGES	Österreichische Agentur für Gesundheit und Ernährungssicherheit
AI	Atominstitut der Österreichischen Universitäten
ARCS	Austrian Research Centers Seibersdorf
BALU	Bundesanstalt für Lebensmitteluntersuchung
BALUF	Bundesanstalt für Lebensmitteluntersuchung und -forschung
BAW	Bundesamt für Wasserwirtschaft, Institut für Wassergüte
BEWAG	Burgenländische Elektrizitätswirtschaft-Aktiengesellschaft
BH	Bezirkshauptmannschaft
BMLFUW	Bundesministerium für Land- und Forstwirtschaft, Umwelt und Wasserwirtschaft
BMGF	Bundesministerium für Gesundheit und Frauen
LMAO	Lebensmittelaufsichtsorgane
LR	Landesregierung
LUGRZ	Lebensmitteluntersuchung Graz (Dienststelle der AGES)
LUIBK	Lebensmitteluntersuchung Innsbruck (Dienststelle der AGES)
LULNZ	Lebensmitteluntersuchung Linz (Dienststelle der AGES)
LWLNZ	Agrarbiologie Linz (Dienststelle der AGES)
LWVIE	Landwirtschaftliche Untersuchungen und Forschung Wien (Dienststelle der AGES)
WDS	Wetterdienststelle
ZAMG	Zentralanstalt für Meteorologie und Geodynamik



## Zusammenfassung

Im diesem Bericht werden Ergebnisse der in Österreich aufgrund des Strahlenschutzgesetzes im Zeitraum 2003 und 2004 von den zuständigen Ressorts durchgeführten Strahlenüberwachung präsentiert. Insbesondere sind dies Resultate aus der großräumigen Überwachung der Umwelt auf radioaktive Verunreinigungen sowie Werte aus der Emissions- und Immissionskontrolle von kerntechnischen Anlagen.

Zur großräumigen Überwachung der Umwelt wird ein Strahlenfrühwarnsystem betrieben, das an 336 Orten ständig die Gammadosisleistung registriert und an einigen dieser Orte zusätzlich die Radioaktivität in der Luft bestimmt. Die aktuellen Messwerte dieses Systems werden automatisch an verschiedene öffentliche Stellen weitergeleitet. Weiters wird im Rahmen der großräumigen Umweltüberwachung der Radionuklidgehalt diverser Medien wie Luft, Niederschläge, Oberflächengewässer und Lebensmittel über regelmäßige Probenahmen und Untersuchungen im Labor überwacht. Ergänzend zu diesen Routineprogrammen werden Schwerpunktprojekte durchgeführt, die der Untersuchung bestimmter Medien sowie der besseren zeitlichen bzw. regionalen Erfassung der in der Umwelt vorhandenen radioaktiven Stoffe dienen.

Die behördliche Anlagenüberwachung setzt sich – hinsichtlich Emissionen und Immissionen – aus zwei Elementen zusammen: der Kontrolle der Qualität der betriebsinternen Eigenüberwachung sowie einer unabhängigen Überwachung durch Untersuchen von durch die Behörde selbst gezogenen Proben.

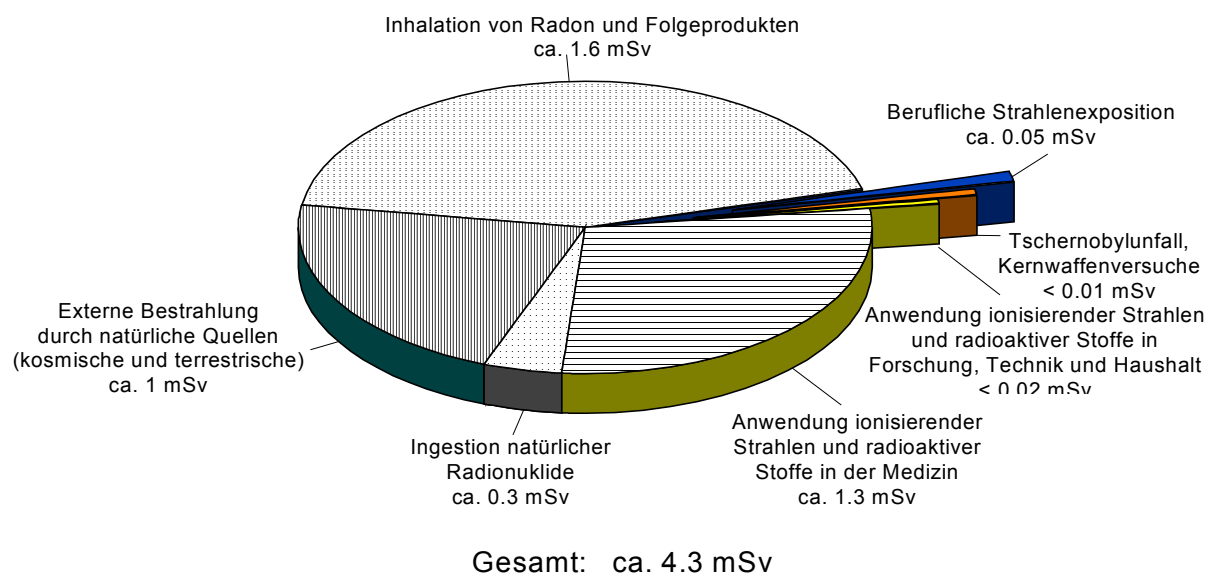
Die durchschnittliche Strahlendosis der österreichischen Bevölkerung betrug im Berichtszeitraum rund 4.3 mSv pro Einwohner, wobei die bei weitem überwiegenden Beiträge auf natürliche Strahlenquellen und medizinische Expositionen zurückzuführen sind. Im Vergleich dazu waren die Dosisbeiträge der übrigen Strahlenquellen sehr gering.

Die mittlere effektive Dosis aufgrund der natürlichen Strahlenexposition beträgt ca. 2.9 mSv pro Einwohner und Jahr, wobei das radioaktive Edelgas Radon und seine kurzlebigen Folgeprodukte über die Inhalation im Mittel mehr als die Hälfte dazu beitragen. Die natürliche Strahlenexposition ist jedoch – hauptsächlich aufgrund unterschiedlicher Radonwerte – erheblichen Schwankungsbreiten unterworfen. So gibt es Gebiete mit besonderen geologischen Bedingungen, in denen wegen hoher Radonkonzentrationen die mittlere Dosis bei weitem überschritten wird.

Die zivilisatorische Strahlenexposition ist zum überwiegenden Teil durch die Anwendung radioaktiver Stoffe und ionisierender Strahlung in der Medizin – insbesondere in der Rönt-

gendiagnostik – bedingt und führte im Berichtszeitraum zu einer mittleren effektiven Dosis von ca. 1.4 mSv pro Einwohner und Jahr. Mit weniger als 0.01 mSv pro Jahr war im Vergleich dazu die im Berichtszeitraum sich aus den Auswirkungen des Reaktorunfalls von Tschernobyl für die österreichische Bevölkerung ergebende Strahlendosis gering.

### Strahlenexposition der Bevölkerung in den Jahren 2003 und 2004 (effektive Dosis pro Einwohner und Jahr)



Die durch den Betrieb der kerntechnischen Anlagen der Austrian Research Centers Seibersdorf und des Atominstutts der Österreichischen Universitäten sich für die Bevölkerung ergebende Strahlendosis war auch im Berichtszeitraum vernachlässigbar gering. Aus den an Abluft und Abwasser dieser Anlagen durchgeführten behördlichen Kontrollmessungen und der jeweiligen betriebsinternen Eigenüberwachung geht hervor, dass die von der zuständigen Behörde festgelegten Höchstwerte für die Ableitung radioaktiver Stoffe an die Umgebung in allen Fällen eingehalten wurden. Ebenso wurden bei der Umgebungsüberwachung keine unzulässig hohen Ortsdosen oder Immissionen festgestellt.

Der Gehalt an radioaktiven Stoffen künstlichen Ursprungs in der Luft, den Niederschlägen und den Oberflächengewässern war im Berichtszeitraum ähnlich gering wie in den Vorjahren und im Wesentlichen durch den Tschernobylunfall bestimmt. Die Werte für Cäsium-137 – dem einzigen Nuklid aus dem Tschernobyl-Fallout, das noch immer von gewisser Bedeutung ist – liegen in diesen Medien nur noch geringfügig über jenen vor dem Reaktorunfall. Im Boden bestimmter Regionen Österreichs dagegen sind für Cäsium-137 weiterhin deutlich höhere Werte als vor dem Tschernobylunfall zu finden. Da das Radiocäsium in den meisten

landwirtschaftlich genutzten Böden fest an Tonminerale gebunden ist und somit für eine Aufnahme durch Pflanzen nur in einem sehr geringen Ausmaß zur Verfügung steht, weisen Lebensmittel und landwirtschaftliche Produkte im Allgemeinen nur noch geringe Aktivitäten an Cäsium-137 auf. Im Vergleich dazu deutlich höhere Werte finden sich jedoch nach wie vor in einigen Waldprodukten, etwa in wildwachsenden Pilzen und Wild, da in naturnahen Waldökosystemen keine so effektive Fixierung von Cäsium erfolgt, und dieses somit weiterhin biologisch verfügbar bleibt. Pilze und Wild werden normalerweise nicht in erheblichen Mengen verzehrt, weshalb die sich dadurch für die Bevölkerung ergebende Strahlendosis gering ist.



## Summary

This report presents results of the radiation surveillance in Austria in 2003 and 2004, performed by the competent authorities, based on the Austrian Radiation Protection Act. In particular data of large scale monitoring concerning radioactive contaminations and data of nuclear plant emission and immission control are given.

In Austria an extensive program is realized for the purpose of large scale surveillance on radioactivity. On the one hand an Early Radiation Warning System with 336 gamma dose rate monitors and several nuclide specific air contamination monitors is operated. The data are automatically communicated to various authorities in real-time. On the other hand the radionuclide content of various media such as air, precipitation, surface water, foodstuffs etc. is monitored by periodic sampling and subsequent analysis in laboratories. In addition to this routine program special projects are carried out for the investigation of specific media and to improve the knowledge of the time dependence respectively of regional aspects of the contamination situation.

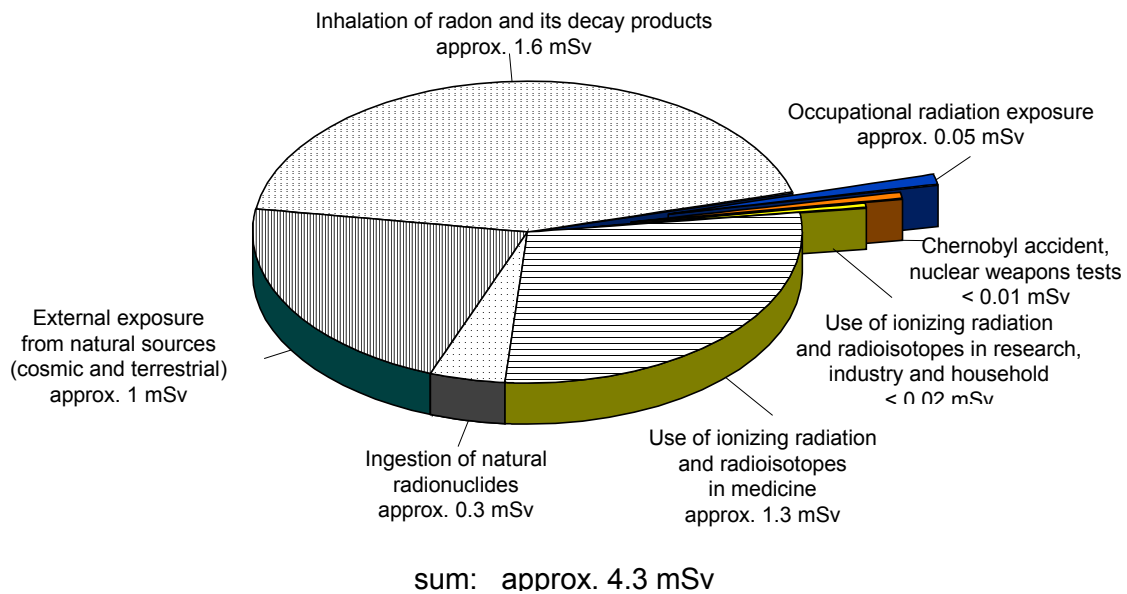
The inspection of the nuclear installations by the authorities concerning emission and immission is set up of two parts: inspection of the quality of the internal control by the operator and independent surveillance by examination of samples taken by the authority.

In 2003 and 2004 the average annual radiation exposure of the Austrian population amounted to about 4.3 mSv effective dose per person. The contributions dominating by far originate from natural sources of radiation and medical exposures. In comparison with these, contributions from all other sources of radiation are extremely small.

The average annual effective dose caused by natural radiation amounts to approximately 2.9 mSv per person. The inhalation of the radioactive noble gas radon and its short lived progeny in the mean contributes more than half to this exposure. Mainly because of different radon concentrations considerable variations in natural radiation exposure do occur. There are regions with specific geological conditions where exposure levels by far exceed the average dose due to high radon values.

Man-made radiation exposure is predominantly caused by the use of radioactive substances and of ionizing radiation in medical applications, in particular by x-ray diagnostics, leading on the average to approximately 1.4 mSv per person annually in the reporting period. By comparison, the dose to the Austrian population due to the effects of the reactor accident at Chernobyl amounting in 2003 and 2004 to less than 0.01 mSv is small.

### Radiation exposure of the population in 2003 and 2004 (effective doses per year and person)



The exposure contribution due to the operation of the nuclear installations at the Austrian Research Centers Seibersdorf and at the Atomic Institute of the Austrian Universities in 2003 and 2004 was negligible. Investigative measurements by the authorities of gaseous and liquid emissions and the internal surveillance by the operators show that maximum permissible levels never were exceeded. Also environmental monitoring in the surroundings did not detect any inadmissibly high gamma dose rates or immissions.

The artificial radionuclide content of air, precipitation and surface water in the reporting period was mainly caused by the Chernobyl accident and was similarly low as in the previous years. In these media the values for caesium-137 – which nowadays is the only significant radionuclide left from the Chernobyl fallout – are only slightly higher than before the accident. However, in soils from certain regions much higher caesium-137 concentrations can be found than before the accident. Since in most agriculturally used soils radiocaesium is fixed strongly to clay minerals und thus is only marginally available for plant uptake, foodstuffs and agricultural products generally show only minor caesium-137 concentrations. In comparison, significantly higher values still can be found in some forest produce such as wild growing fungi and game. In semi-natural forest ecosystems the fixation of caesium is much less effective, keeping it biologically available. Usually, fungi and game are not consumed in larger amounts. Therefore the dose to the population caused by this path generally is small.

## 1. Einleitung

Der Mensch steht seit jeher unter der Einwirkung der Strahlung von natürlichen radioaktiven Stoffen und der kosmischen Strahlung. Zu dieser natürlichen Strahlenexposition kommt seit einiger Zeit eine zivilisatorisch bedingte Exposition durch Strahlenquellen nicht natürlichen Ursprungs hinzu. Diese wird derzeit hauptsächlich durch die Anwendung ionisierender Strahlung in der Medizin bewirkt.

### 1.1. Natürliche Strahlenexposition

Zur natürlichen Strahlenexposition tragen die kosmische Strahlung sowie die Strahlung von in der Umwelt vorhandenen natürlichen radioaktiven Stoffen bei. Während die kosmische Strahlung direkt nur zu einer Bestrahlung von außen führt, erfolgt durch die natürlichen Radionuklide sowohl eine Bestrahlung von außen als auch infolge von Inhalation (Zufuhr über die Atmung) und Ingestion (Zufuhr über die Nahrung) von innen.

Die Exposition durch natürliche Strahlenquellen kann durch zivilisatorische Maßnahmen unter Umständen beträchtlich erhöht werden. So führt beispielsweise die Reduzierung der Ventilationsrate in Wohnungen zu einer Anreicherung von Radon und damit zu einer Erhöhung der Strahlendosis für die Bewohner. Auch Aktivitäten wie Flüge in großen Höhen und die Verwendung von Baumaterialien mit hohem Gehalt an natürlichen Radionukliden erhöhen die Exposition durch natürliche Strahlenquellen. Deshalb hat die natürliche Strahlenexposition – insbesondere die zivilisatorisch veränderte – in den letzten Jahren zunehmende Aufmerksamkeit im Strahlenschutz erlangt. Im Folgenden wird ein kurzer Überblick über die Komponenten der natürlichen Strahlung gegeben.

#### 1.1.1. Kosmische Strahlung

Die extrem energiereiche kosmische Strahlung ist überwiegend galaktischen, zu einem geringen Teil solaren Ursprungs. Die primäre kosmische Strahlung besteht im Wesentlichen aus Protonen (85 %) und Alphateilchen (14 %). Aus dieser entsteht durch verschiedene Wechselwirkungsprozesse in den äußersten Schichten der Atmosphäre die sogenannte sekundäre kosmische Strahlung. In Bodennähe ist in erster Linie diese hauptsächlich aus Photonen, Elektronen, Neutronen und Mesonen bestehende Sekundärstrahlung wirksam.

Die Intensität der kosmischen Strahlung ist stark höhenabhängig, da die Strahlung durch die Atmosphäre abgeschwächt wird. Das bedeutet, dass mit zunehmender Seehöhe die Intensität ansteigt. Bis in Höhen von einigen Kilometern verdoppelt sich die durch die kosmische Strahlung verursachte Dosisleistung etwa alle zweitausend Meter.

Wegen des Einflusses des Magnetfeldes der Erde ist die Intensität der kosmischen Strahlung auch von der geografischen bzw. geomagnetischen Breite abhängig. Im Gegensatz zu den höhenbedingten Änderungen ist der dadurch verursachte Intensitätsunterschied innerhalb des österreichischen Bundesgebietes unbedeutend.

### 1.1.2. Natürliche Radionuklide

Natürliche radioaktive Stoffe sind in unserer gesamten Biosphäre enthalten. Sie sind entweder primordial (d.h. sie waren bereits bei der Entstehung des Sonnensystems, also „von Anfang an“ vorhanden) und aufgrund ihrer langen Halbwertszeiten noch immer existent bzw. Folgeprodukte von primordialen Radionukliden, oder sie werden durch die kosmische Strahlung in den obersten Schichten der Atmosphäre ständig erzeugt.

Über verschiedene Prozesse gelangen sie von ihren Ausgangs- bzw. Entstehungsorten in nahezu alle Umweltmedien und treten dort in unterschiedlich hohen Konzentrationen auf. Über die Nährstoff- bzw. Nahrungsaufnahme, die Wasseraufnahme und die Atmung gelangen sie auch in Pflanze, Tier und Mensch. Wie bereits oben erwähnt, bewirken sie sowohl eine externe Bestrahlung als auch – nach erfolgter Inkorporation – eine interne Bestrahlung des menschlichen Körpers.

Die natürlichen Radionuklide lassen sich in drei Gruppen einteilen:

- Radionuklide der Zerfallsreihen
- primordiale Radionuklide außerhalb von Zerfallsreihen
- Radionuklide, erzeugt durch die kosmische Strahlung

Die meisten natürlichen Radionuklide entstammen einer der drei sogenannten Zerfallsreihen. Am Anfang dieser Reihen steht jeweils ein primordiales Radionuklid mit einer in der Größenordnung des Alters der Erde liegenden Halbwertszeit. Diese Radionuklide wandeln sich über eine Reihe radioaktiver Zwischenprodukte mit sehr unterschiedlichen Halbwertszeiten in stabile Bleiisotope um. Die drei Zerfallsreihen sind:

- Uran-Radium-Reihe, ausgehend vom Uran-238 (Halbwertszeit: 4.5 Milliarden Jahre)
- Actinium-Reihe, ausgehend vom Uran-235 (Halbwertszeit: 0.7 Milliarden Jahre)
- Thorium-Reihe, ausgehend vom Thorium-232 (Halbwertszeit: 14 Milliarden Jahre)

Eines der bedeutendsten Zwischenprodukte ist Radon-222, ein Radionuklid aus der Uran-Radium-Reihe. Radon-222 hat eine Halbwertszeit von 3.8 Tagen und entsteht beim Zerfall von Radium-226 (Halbwertszeit 1600 Jahre). Als Edelgas ist Radon besonders mobil und kann deshalb relativ leicht aus dem Trägermaterial entweichen (Emanation) und in die freie

Atmosphäre gelangen und dort durch Inhalation zu einer Strahlenexposition des Menschen führen. Kommt es zur Anreicherung von Radon in der Atemluft, wie etwa in schlecht ventilierten Innenräumen, kann diese Strahlenexposition ein beträchtliches Ausmaß erreichen. In gleicher Weise bewirkt auch Radon-220 (früher Thoron genannt), ein Zwischenprodukt aus der Thorium-Reihe, eine – verglichen mit Radon-222 in der Regel jedoch wesentlich geringere – Inhalationsdosis.

Für die Strahlenexposition ist nicht so sehr das Radon selbst von Bedeutung, sondern vielmehr seine – meist an Aerosole gebundenen – kurzlebigen radioaktiven Folgeprodukte. Diese gelangen mit der Atemluft in den Atemtrakt und werden dort abgelagert. Aufgrund ihrer kurzen Halbwertszeiten zerfallen sie, bevor sie etwa durch die Flimmerhärchen entfernt werden können, und führen so vor allem im Bronchialbereich zu einer Strahlenexposition.

Von den natürlichen primordialen Radionukliden außerhalb der Zerfallsreihen ist lediglich Kalium-40 von Bedeutung. Andere Radionuklide aus dieser Gruppe (zB Rubidium-87) spielen wegen ihres geringen Vorkommens nur eine untergeordnete Rolle. Kalium-40 kommt zu etwa 0.012 % im natürlichen Kalium vor und hat eine Halbwertszeit von 1.28 Milliarden Jahren. Kalium ist ein essentielles Element und wird über die Nahrung in den Körper aufgenommen. Es ist Bestandteil jeder Zelle, wobei das Muskelgewebe und das rote Knochenmark besonders reich an Kalium sind. Die Konzentration an Kalium im menschlichen Körper wird durch biochemische Mechanismen annähernd konstant gehalten (homöostatisches Gleichgewicht). Eine erhöhte Kaliumaufnahme führt daher nicht zur Anreicherung und folglich auch zu keiner wesentlichen Erhöhung der Strahlenexposition. Der Körper eines Erwachsenen enthält ca. 130 g Kalium und damit etwa 4000 Bq Kalium-40. Wegen der relativ gleichförmigen Verteilung von Kalium kommt es – anders als beim Radon, das über seine Folgeprodukte in erster Linie den Atemtrakt bestrahlt – zu einer gleichmäßigen Exposition des gesamten Körpers.

Durch Wechselwirkung der kosmischen Strahlung mit den Atomen der äußersten Atmosphärenschichten (überwiegend Sekundär-Neutronenreaktionen und Spallationsprozesse) entstehen ständig radioaktive Nuklide (kosmogene Radionuklide). Über Lücken in der Grenzschicht zwischen der Stratosphäre und der Troposphäre (Tropopausenlücken) gelangen diese in die unteren Schichten der Atmosphäre und von dort in die gesamte Biosphäre. Durch die dauernde, im Wesentlichen gleichmäßige Neubildung und den radioaktiven Zerfall stellt sich ein stationärer Zustand ein, sodass die Gesamtmenge dieser Radionuklide konstant bleibt.

Die wichtigsten kosmogenen Radionuklide sind Tritium (Halbwertszeit 12.3 Jahre), Kohlenstoff-14 (Halbwertszeit 5736 Jahre) und Beryllium-7 (Halbwertszeit 53.4 Tage). Kohlenstoff-14 wird in organisches Material eingebaut und gelangt so in die Nahrungskette. Dies gilt auch

für Tritium (OBT – organically bound tritium). In Form von tritiiertem Wasser (HTO) nimmt Tritium auch am Wasserkreislauf teil. Neben diesen drei Nukliden hat von den kosmogenen Radionukliden für die Strahlenexposition des Menschen nur noch Natrium-22 (Halbwertszeit 2,6 Jahre) eine gewisse Bedeutung.

Das derzeit in der Biosphäre befindliche Tritium ist jedoch nur zu einem geringen Teil kosmogen. Der weitaus überwiegende Teil stammt aus den oberirdischen Kernwaffentests der Fünfziger- und Sechzigerjahre. Bei diesen Tests entstand auch Kohlenstoff-14, wobei die entstandene Menge weit unter der natürlich vorhandenen Menge an Kohlenstoff-14 lag.

## **1.2. Zivilisatorische Strahlenexposition**

Zur künstlichen Strahlenexposition der Bevölkerung tragen hauptsächlich die Anwendung radioaktiver Stoffe und ionisierender Strahlung in Medizin, Technik und Forschung sowie die beim Reaktorunfall von Tschernobyl und bei den oberirdischen Kernwaffentests in die Umwelt freigesetzten Radionuklide bei. Der weitaus größte Teil der Exposition wird durch medizinische Anwendungen – insbesondere durch die Röntgendiagnostik – verursacht. Bei gewissenhaftem Einsatz steht hier jedoch der Nutzen für den Patienten weit über dem sich daraus ergebenden Strahlenrisiko. Im Folgenden wird auf die wichtigsten Quellen der in der Umwelt vorhandenen künstlichen Radionuklide eingegangen.

### **1.2.1. Reaktorunfall von Tschernobyl**

Durch den Unfall im Kernkraftwerk Tschernobyl im April 1986 wurden große Mengen radioaktiver Stoffe in die Atmosphäre freigesetzt, die in der Folge mit der Luftströmung auch nach Österreich gelangten. Die in der Luft befindlichen Radionuklide wurden im Wesentlichen durch Niederschläge auf den Erdboden und dessen Bewuchs abgelagert. In erster Linie war daher die jeweilige Niederschlagssituation während des Durchzugs der radioaktiv kontaminierten Luftmassen für das Ausmaß der regionalen Bodenkontamination ausschlaggebend. Eine zusammenfassende Darstellung der Auswirkungen des Tschernobylunfalls auf Österreich ist in /BKA 88/ gegeben.

Radionuklide aus dem Tschernobyl-Fallout bildeten auch in den Jahren 2003 und 2004 den größten Teil der in der österreichischen Umwelt vorhandenen künstlichen Radionuklide. Für die Strahlenexposition der Bevölkerung ist von diesen jedoch nur noch das langlebige Cäsium-137 (Halbwertszeit 30 Jahre) von gewisser Bedeutung. Die anderen Radionuklide sind aufgrund ihrer kurzen Halbwertszeiten schon weitgehend zerfallen oder spielen wegen ihrer geringen Freisetzungsmengen keine Rolle. Das zurzeit in der österreichischen Umwelt

vorhandene Cäsium-137 stammt jedoch nicht ausschließlich aus dem Tschernobyl-Fallout, sondern etwa zu einem Zehntel aus dem Kernwaffentest-Fallout.

### 1.2.2. Kernwaffenversuche

Die oberirdischen Kernwaffentests – bis Ende 1980 insgesamt 418 Explosionen unterschiedlicher Stärke – erzeugten vor allem in den sechziger Jahren eine weltweite Kontamination der Biosphäre mit künstlichen radioaktiven Stoffen. Heutzutage sind von diesen nur noch die langlebigen Spaltprodukte Strontium-90 (Halbwertszeit 28.5 Jahre) und Cäsium-137 von Bedeutung. Das in großen Mengen freigesetzte Tritium ist zwar weiterhin in der Umwelt vorhanden, seine strahlenhygienische Bedeutung ist jedoch sehr gering.

### 1.2.3. Nuklearmedizin

In der nuklearmedizinischen Diagnostik wird eine Vielzahl verschiedener, durch Bestrahlung im Reaktor oder mittels Teilchenbeschleuniger künstlich erzeugter Radionuklide vor allem zur Abbildung physiologischer oder pathophysiologischer Vorgänge eingesetzt. Im Vergleich zur Diagnostik spielen nuklearmedizinische Therapiemethoden eine eher geringe Rolle. In nachfolgender Tabelle sind einige wichtige in der Nuklearmedizin verwendete Radionuklide und ihre häufigsten Einsatzgebiete bzw. die damit untersuchten Organe angeführt.

<b>Wichtige Radionuklide in der Nuklearmedizin</b>		
<b>Radionuklid</b>	<b>Halbwertszeit</b>	<b>untersuchte Organe bzw. Einsatzgebiet</b>
Technetium-99m	6.02 Stunden	Schilddrüse, Skelett, Niere, Lunge, Hirn, Herz, Leber, Liquor- und Knochenmarkuntersuchungen, Entzündungs- und Tumordiagnostik
Iod-131	8.04 Tage	Therapie bei Schilddrüsenerkrankungen, Ganzkörper-scans bei Schilddrüsenkarzinomen, Nebenniere
Iod-123	13.3 Stunden	Schilddrüse, Hirn, Nebenniere, Entzündungs- und Tumordiagnostik
Iod-125	60.1 Tage	in vitro
Thallium-201	3.06 Tage	Herz
Gallium-67	3.26 Tage	Entzündungs- und Tumordiagnostik
Indium-111	2.83 Tage	Liquoruntersuchungen, Entzündungs- und Tumordiagnostik
Xenon-133	5.29 Tage	Lunge, Hirn
Chrom-51	27.7 Tage	Bestimmung des Blutplasma- bzw. Erythrozytenvolumens und der Erythrozytenlebensdauer, Milz
Phosphor-32	14.3 Tage	Schmerztherapie bei Knochenmetastasen, verschiedene andere Therapien
Samarium-153	1.95 Tage	Schmerztherapie
Fluor-18	110 Minuten	Positronenemissionstomographie (PET)

Geringe Mengen der in der Nuklearmedizin eingesetzten radioaktiven Stoffe gelangen – in erster Linie über die Ausscheidungen der Patienten – auch in die Umwelt. Der Hauptpfad führt über die Kanalisation in die Kläranlagen und von dort in die Oberflächengewässer. In den Gewässern ist von diesen Nukliden in der Regel nur noch Iod-131 (Halbwertszeit 8 Tage) zu finden.

#### **1.2.4. Sonstige Quellen**

Kernanlagen wie Kernkraftwerke und Wiederaufarbeitungsanlagen geben auch im Normalbetrieb geringe Mengen an diversen Radionukliden an die Umgebung ab. Die meisten dieser Nuklide werden in der Regel nicht großräumig verfrachtet, weshalb sie in Österreich normalerweise nicht zu finden sind. Ausnahmen davon sind das langlebige radioaktive Edelgas Krypton-85 (Halbwertszeit 10.8 Jahre), das über die Atmosphäre weiträumig transportiert wird, sowie Tritium, das sowohl über die Luft als auch über die Gewässer nach Österreich gelangt. Die durch diese beiden Nuklide verursachten Auswirkungen auf die Bevölkerung sind jedoch praktisch ohne Bedeutung.

Auch die österreichischen Kernforschungsanlagen in Seibersdorf und Wien geben mit dem Abwasser und der Abluft geringe Mengen an Radionukliden an die Umgebung ab. (Die Anlage in Graz kann hinsichtlich Emissionen außer Betracht bleiben.) Wegen der großen Verdünnung bzw. geringen Abgabemengen können diese im Allgemeinen in den Umweltmedien nicht mehr nachgewiesen werden.

Der Einsatz von Radionukliden in Industrie, Technik und Forschung sowie die Verwendung von solchen in Konsumprodukten kann prinzipiell ebenfalls zu einer Kontamination der Umwelt führen. Im Normalfall sind die freigesetzten Mengen jedoch sehr gering und können daher im Zuge der großräumigen Überwachung nicht nachgewiesen werden. Allenfalls ein geringer Teil des in der Umwelt vorhandenen Tritiums könnte aus solchen Anwendungen stammen.

## 2. Die Überwachung Österreichs auf radioaktive Kontamination

Die mögliche Gefährdung der Bevölkerung durch die radioaktiven Kontaminationen infolge der Kernwaffenversuche während der Fünfziger- und Sechzigerjahre war der Anlass, in Österreich eine systematische Messtätigkeit bezüglich der Radioaktivität in der Biosphäre aufzunehmen. So wurde bereits im Jahr 1957 die erste Messstelle zur Aerosolüberwachung in Zusammenarbeit zwischen der Zentralanstalt für Meteorologie und Geodynamik und dem damaligen Bundesministerium für soziale Verwaltung errichtet – weitere folgten in relativ kurzen Abständen. In den folgenden Jahren wurde die Überwachung schrittweise auch auf andere Umweltmedien sowie auf Lebensmittel ausgedehnt.

Mit der Verabschiedung des Strahlenschutzgesetzes (StrSchG BGBl. 227/1969) im Jahr 1969 wurde der großräumigen Überwachung auf radioaktive Verunreinigungen ein gesetzlicher Rahmen gegeben. Im § 37 (1) der jüngsten Novelle dieses Gesetzes (BGBl. I Nr. 137/2004) heißt es unter anderem: „Dem Bundesminister für Land- und Forstwirtschaft, Umwelt und Wasserwirtschaft obliegt die behördliche Überwachung auf großräumige radioaktive Kontaminationen in der Umwelt, insbesondere in Luft, in Niederschlägen, im Grundwasser, in oberirdischen Gewässern, in Abwässern, im Klärschlamm und im Boden. (...) Dem Bundesminister für Gesundheit und Frauen obliegt die Ermittlung der Radioaktivität in Lebensmitteln ...“

Die vorrangigen Ziele der großräumigen Überwachung sind:

- ständige Ermittlung der Radioaktivität in den wesentlichen Medien und der sich daraus für die Bevölkerung ergebenden Strahlenexposition
- frühzeitiges Erkennen eines stör- bzw. vorfallbedingten Anstiegs der Radioaktivität (Frühwarnung)
- ständige und vollständige Übersicht über die Lage bei derartigen Ereignissen sowie Abschätzung der Auswirkungen
- Bereitstellen von Grundlagen für das Setzen geeigneter Maßnahmen zur Verringerung der Exposition im Fall erhöhter Radioaktivität
- Dokumentation des Istzustandes, um etwa im Fall von Emissionen aus Kernanlagen allfällige Erhöhungen erkennen und belegen zu können (Beweissicherung)
- Beobachtung des zeitlichen Verlaufes von bereits bekannten – durch regelmäßige Emissionen von radioaktiven Stoffen bewirkten – Immissionen (Trenderkennung)

Seit Beginn der Kontrolltätigkeit wird das Überwachungsnetz für Radioaktivität laufend an die aktuellen Erfordernisse angepasst und modernisiert. Eine Reihe von Berichten gibt Auskunft über den jeweiligen Entwicklungsstand des Überwachungsnetzes und die damit erhaltenen Daten. Die wichtigsten dieser Berichte sind – neben anderen Forschungsberichten aus dem Bereich Strahlenschutz – am Ende dieses Berichtes aufgelistet.

Das Strahlenschutzgesetz regelt neben der großräumigen Überwachung der Umwelt auf radioaktive Verunreinigungen auch die behördliche Überwachung von Strahlenbetrieben. Gemäß § 17 dieses Gesetzes hat die jeweilige Bewilligungsbehörde den Betrieb von kerntechnischen Anlagen regelmäßig zu überprüfen. Im Berichtszeitraum war das Bundesministerium für Land- und Forstwirtschaft, Umwelt und Wasserwirtschaft (BMLFUW) als Bewilligungsbehörde für die Überwachung der nuklearen Anlagen der Austrian Research Centers Seibersdorf zuständig und leistete – hinsichtlich der Kontrolle der radioaktiven Ableitungen an die Umgebung – Amtshilfe bei der Überwachung des Atominstutts der Österreichischen Universitäten. Weiters war das BMLFUW für die im wasserrechtlichen Überprüfungsbescheid für den Studienreaktor auf dem Gelände der Technischen Hochschule in Graz festgelegte amtliche Bestimmung der Radioaktivität im Abwasser zuständig.

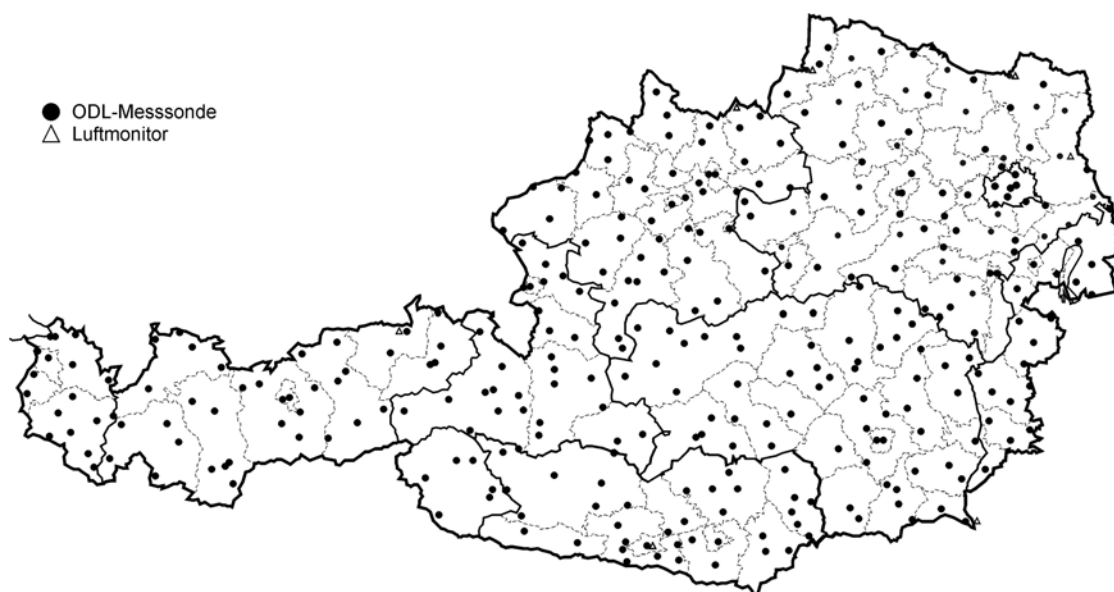
Im Folgenden wird ein kurzer Überblick über den aktuellen Stand des Überwachungsnetzes für Radioaktivität und die im Rahmen der Anlagenüberwachung durchgeführten Kontrollprogramme hinsichtlich Emission und Immission von Radionukliden gegeben.

## **2.1. Überwachungsnetz für Radioaktivität**

Um die Aufgabe der großräumigen Überwachung auf radioaktive Verunreinigungen zu erfüllen, wird ein Messnetz betrieben, das aus zwei, einander ergänzenden Komponenten besteht: aus dem Strahlenfrühwarnsystem und aus dem laborgestützten Überwachungsnetz für Umweltradioaktivität. Diese zwei Komponenten unterscheiden sich grundsätzlich hinsichtlich ihrer Aufgaben, ihrer technischen Leistungsfähigkeit und ihrer Aussagemöglichkeit – gemeinsam bilden sie ein sehr wirkungsvolles Überwachungsinstrument. Im Ereignisfall können diese zwei Systeme – wie schon nach dem Reaktorunfall von Tschernobyl erfolgt – durch weitere in Österreich verfügbare Messlabors sowie durch mobile Boden- und Luftspürtrupps ergänzt werden.

### **2.1.1. Strahlenfrühwarnsystem**

Zur raschen Erkennung und Beurteilung großräumiger radioaktiver Kontaminationen in Österreich wurde im Jahr 1975 durch das damalige Bundesministerium für Gesundheit und Umweltschutz mit der Errichtung eines automatisch arbeitenden Strahlenfrühwarnsystems begonnen. Die Basis des Strahlenfrühwarnsystems bilden 336 auf ganz Österreich verteilte Dosisleistungsmessstellen. Die Messsonden befinden sich in der Regel auf Dächern von öffentlichen Gebäuden. Der Auswahl der Aufstellungsorte wurden folgende Kriterien zu Grunde gelegt: Maschenweite des Netzes ca. 15 km, Berücksichtigung stärker besiedelter Gebiete, Errichtung mehrerer Messstationen in Ballungsräumen, verstärkte Überwachung in grenznahen Regionen sowie in weiterer Folge auch die Errichtung von Höhenmessstationen.



Das Strahlenfrühwarnsystem registriert ständig die am Aufstellungsort der Messsonden herrschende Gammadosisleistung und übermittelt die gemessenen Werte laufend in die betreffende Landeszentrale und von dort in die Bundesstrahlenwarnzentrale. Wird von einer oder mehreren Messstellen eine Dosisleistung von über 300 nSv/h gemeldet, so erfolgt eine genaue Klärung der Ursache durch die zuständigen Mitarbeiter und nötigenfalls die Einleitung entsprechender Maßnahmen. (Detailliertere Angaben zum Strahlenfrühwarnsystem sind in /Vychtyl 79/ und /Zechner 89/ zu finden.)

Um insbesondere in Fällen großräumiger Kontaminationen die herrschende Situation rasch beurteilen zu können, wurden acht Warnpegel festgelegt (siehe Tabelle auf der nächsten Seite). Anhand dieser Warnpegel wird rasch eine ungefähre Einstufung einer großräumigen Kontamination in Gefährdungsstufen im Sinne des von der Österreichischen Strahlenschutzkommission für solche Fälle ausgearbeiteten Maßnahmenkonzepts ermöglicht /BMGSK 92a/.

Pegel	Bereich der Gammadosisleistung		
0	bis 15 % über dem am Aufstellungsort üblichen Durchschnitt vor dem Tschernobyl-Unfall		
1	Obergrenze Pegel 0	bis	300 nSv/h
2	300 nSv/h	bis	1 µSv/h
3	1 µSv/h	bis	10 µSv/h
4	10 µSv/h	bis	100 µSv/h
5	100 µSv/h	bis	1 mSv/h
6	1 mSv/h	bis	30 mSv/h
7	30 mSv/h	bis	300 mSv/h
8	über 300 mSv/h		

Der Pegel 1 wird häufig während und nach Regenfällen erreicht, da durch den Regen natürliche Radionuklide aus der Luft ausgewaschen und auf den Boden abgelagert werden und somit einen Anstieg der Dosisleistung über dem Boden bewirken. Nach dem Reaktorunfall von Tschernobyl wurde in weiten Teilen Österreichs der Pegel 2 erreicht – in den am stärksten betroffenen Gebieten wurden Ortsdosisleistungen bis in den unteren Bereich des Warnpegels 3 registriert.

Im Strahlenfrühwarnsystem werden zusätzlich zu den Dosisleistungsmessgeräten auch Geräte betrieben, die ständig die in der Luft vorhandene Aktivität messen und die Ergebnisse automatisch an die Zentralen weiterleiten. Durch die Umstellung auf eine neue Generation von Luftmessanlagen können jetzt auch nuklidspezifische Analysen durchgeführt werden. Neben den Einrichtungen zur Messung von  $\alpha$ -,  $\beta$ - und  $\gamma$ -strahlenden Radionukliden sind die Anlagen mit einer Sonde zur Messung der Dosisleistung sowie mit einer meteorologischen Station ausgestattet, mit der für den Strahlenschutz relevante Wetterdaten erfasst werden. Im Hinblick auf allfällige Emissionen im Ausland sind diese Geräte bevorzugt grenznah aufgestellt.

Für eine rasche Erkennung der Ausbreitung luftgetragener Kontaminationen ist die Einbindung von Daten meteorologischer Stationen in das Informationssystem unumgänglich. Solche Daten werden von den teilautomatisierten Wetterstationen der Zentralanstalt für Meteorologie und Geodynamik (ZAMG) laufend erhoben, teilweise unter Benützung des Leitungsnetzes des Strahlenfrühwarnsystems an die ZAMG weitergeleitet und dort aufbereitet. Vor einigen Jahren wurde vom damaligen Gesundheitsressort die Möglichkeit geschaffen, auf die aufbereiteten Daten zurückzugreifen /ZAMG 93/.

Der primäre Zweck des Strahlenfrühwarnsystems besteht darin, laufend Informationen über die zeitliche und räumliche Entwicklung der Dosisleistung im gesamten Bundesgebiet zu liefern und das Überschreiten eines bestimmten Pegels zu melden. Mit der momentanen Konzeption des Systems wird diese Aufgabe voll erfüllt. Darüberhinaus kann im Anlassfall anhand der Messwerte rasch eine ungefähre Einschätzung der Kontaminationssituation erfolgen. Weiters lässt sich die äußere Strahlenexposition der Bevölkerung mit Hilfe der Ortsdosisleistungsmessungen im Allgemeinen gut abschätzen.

Über die Nuklidzusammensetzung einer radioaktiven Kontamination kann mit dem Strahlenfrühwarnsystem – abgesehen von der neuen Generation der Luftmonitore – keine Aussage gemacht werden. Deshalb ist eine Abschätzung der zu erwartenden Inhalationsdosen über die Messwerte des Strahlenfrühwarnsystems nur in Verbindung mit zusätzlichen Informationen über die Kontaminationsursache (zB Art und Ausmaß des Unfalls) möglich. Diese Abschätzung liefert jedoch auch bei Kenntnis der Ursache nur sehr ungenaue Werte. Gleiches gilt hinsichtlich der Kontamination von Lebensmitteln und der daraus für die Bevölkerung zu

erwartenden Ingestionsdosis sowie hinsichtlich der Kontamination anderer Umweltmedien. Für eine genauere Bestimmung dieser Größen werden die Ergebnisse der im laborgestützten Messnetz durchgeführten nuklidspezifischen Analysen herangezogen.

### **2.1.2. Laborgestütztes Überwachungsnetz für Radioaktivität**

Das laborgestützte Überwachungsnetz, das neben dem Strahlenfrühwarnsystem den zweiten tragenden Bestandteil im Überwachungsnetz für Radioaktivität darstellt, bilden die Strahlungsmesslabors der Österreichischen Agentur für Gesundheit und Ernährungssicherheit (AGES).

Bei Bedarf werden Universitätsinstitute und andere Forschungsanstalten, die mit der Messung von Radioaktivität befasst sind, in dieses Netz einbezogen.

Die in den Labors überwiegend angewandten Messmethoden sind die hochauflösende Gammaskpektrometrie und die Flüssigszintillationsspektrometrie. Beide Methoden erlauben eine nuklidspezifische Untersuchung der Prüfmedien sowie das Auffinden auch geringster Mengen an radioaktiven Stoffen. Genau hierin liegt die ideale Ergänzung zum Strahlenfrühwarnsystem, das zwar ein Ansteigen der Radioaktivität über ein bestimmtes Ausmaß hinaus sofort erfasst, jedoch weder geringfügige Erhöhungen der Radioaktivität feststellen noch – mit Ausnahme der neuen Generation der Luftmonitore – nuklidspezifisch messen kann. Andererseits stellt das laborgestützte System aufgrund der – durch Probenahme und Messung bedingten – zwangsläufig auftretenden zeitlichen Verzögerung kein Frühwarnsystem dar.

Die Hauptaufgaben des laborgestützten Überwachungsnetzes sind, bundesweit jederzeit auch geringfügige Erhöhungen der Radioaktivität in Lebensmitteln sowie diversen Umweltmedien festzustellen und im Falle einer großräumigen Kontamination sofort die notwendigen Messungen durchführen zu können. Weiters sind die möglichen Auswirkungen solcher Kontaminationen zu beurteilen und deren zeitliche Entwicklung zu beobachten.

Zur Erfüllung dieser Aufgaben wird mittels Probenahme und Untersuchung der Proben im Labor der Radionuklidgehalt von Lebensmitteln und Umweltmedien überwacht. Im Folgenden wird ein kurzer Überblick über das routinemäßig durchgeführte Überwachungsprogramm und über die für Sonderfälle zur Verfügung stehenden Probenahme- und Messgeräte gegeben. Eine vollständige Auflistung der Probenahmeorte sowie eine genauere Beschreibung der Probenahmen und Untersuchungen erfolgt in den entsprechenden Kapiteln.

Zur Überwachung der Luft werden an elf Orten kontinuierlich Aerosolproben gesammelt und im regional zuständigen Labor nuklidspezifisch analysiert. Die Sammlung dieser Proben erfolgt mit Geräten, die eine Saugleistung von 100 m<sup>3</sup>/h aufweisen. Für besondere Fälle stehen

in Wien, Linz und Graz Sammler mit einer Leistung von 500 m<sup>3</sup>/h zur Verfügung. Neben diesen stationären Anlagen stehen auch einige mobile Geräte mit Saugleistungen von 100 m<sup>3</sup>/h sowie ein äußerst leistungsstarkes Gerät (10 000 m<sup>3</sup>/h) für ortsunabhängige Einsätze bereit. Weiters sind einige Anlagen zur Erfassung von Radioiod in gasförmiger Form vorhanden.

An neun Orten sind zur Kontrolle der Niederschläge Sammler mit Auffangflächen von 1000 bzw. 10 000 cm<sup>2</sup> aufgestellt.

Von den Oberflächengewässern werden in erster Linie die größeren grenzüberschreitenden Gewässer überwacht. Hauptsächlich erfolgt die Kontrolle auf der Basis von Stichproben – an einigen Flüssen werden zusätzlich auch kontinuierliche Sammlungen durchgeführt. Im Überwachungsprogramm sind die beiden internationalen Verpflichtungen „Donauschutzübereinkommen“ (früher „Bukarester Deklaration“) und „Regensburger Vertrag“ berücksichtigt, die zwecks einer harmonisierten Überwachung der Wassergüte der Donau durch die Anrainerstaaten eingegangen wurden. Daher ist das Probenahmestellennetz an der Donau besonders dicht. Mehrere Probenahmestellen befinden sich auch an den Flüssen Thaya und March, da diese – über den Fluss Jihlava – Ableitungen des in der Tschechischen Republik gelegenen Kernkraftwerkes Dukovany gelangen.

Emissionen der Kläranlagen Klagenfurt-Feuerbach, Graz-Gössendorf, Linz-Asten und Wien-Simmering werden regelmäßig überprüft.

Die Überwachung der Lebensmittel wird im Wesentlichen nach einem festgelegten Routinekontrollprogramm durchgeführt. Beprobte werden in erster Linie solche Lebensmittel, die aufgrund der durchschnittlichen Verzehrsmengen und/oder der Kontaminationssituation einen nicht unwesentlichen Beitrag zur Ingestionsdosis liefern bzw. liefern könnten. Neben einheimischen Produkten werden auch Importwaren stichprobenartig kontrolliert.

Zusätzlich zu den stichprobenartigen Kontrollen von Importwaren wurden im Berichtszeitraum gemäß der Verordnung (EG) 1661/1999 der Kommission lückenlose Kontrollen von Wildpilzimporten aus den in der Verordnung genannten Drittländern durchgeführt.

## **2.2. Anlagenüberwachung**

Im Rahmen des Errichtungs- und Betriebsbewilligungsverfahrens werden von der zuständigen Behörde dem Betreiber einer kerntechnischen Anlage unter anderem Höchstwerte für die Ableitung radioaktiver Stoffe an die Umgebung sowie die Überwachung und Protokollierung der Abgabemengen vorgeschrieben. Ergänzend zur Kontrolle der radioaktiven Emissionen

hat der Betreiber auch eine umfangreiche Umgebungsüberwachung durchzuführen. Das Ausmaß dieser behördlich angeordneten Eigenkontrolle hängt von der potenziellen Gefahr ab, die aus dem Betrieb der Anlage entsteht.

Gemäß § 17 des Strahlenschutzgesetzes ist der Betrieb von kerntechnischen Anlagen von der Bewilligungsbehörde periodisch zu überprüfen. Im Berichtszeitraum war das BMLFUW Bewilligungsbehörde für die nuklearen Anlagen der Austrian Research Centers Seibersdorf (ARCS) und daher für die § 17-Betriebsüberwachung zuständig. Mit der § 17-Überprüfung des Atominstutts der Österreichischen Universitäten (AI) war das Wissenschaftsressort betraut. Die bei dieser Überwachung des AI anfallenden Emissions- und Immissionskontrollen wurden im Rahmen der Amtshilfe ebenfalls vom BMLFUW durchgeführt.

Grundsätzlich war das BMLFUW auch zuständig für die amtliche Bestimmung der Radioaktivität im Abwasser, das beim Betrieb der radiochemischen Laboratorien des Studienreaktors in Graz anfällt. Da der Betrieb dieser Laboratorien schon vor Jahren eingestellt wurde, war die in letzter Zeit anfallende Abwassermenge so gering, dass keiner der beiden Abklingbehälter, in die diese Abwässer vor der Überpumpung in das Kanalnetz eingeleitet werden, vollgefüllt wurde. Deshalb erfolgten auch keine Abwasserabgaben an den Kanal und folglich auch keine Kontrollmessungen. Die folgenden Ausführungen beziehen sich daher nur auf die Überprüfung der ARCS und des AI.

Die behördliche Überwachung hinsichtlich Radioaktivitätsabgaben erfolgt nach von der Behörde gemeinsam mit den Betreibern der Anlagen erarbeiteten Programmen, die sich im Wesentlichen aus zwei Elementen zusammensetzen: der Kontrolle der Qualität der betriebsinternen Eigenüberwachung durch Bucheinschau und Nachmessen von Proben sowie einer unabhängigen Überwachung durch Untersuchen von durch die Behörde selbst gezogenen Proben. Dabei werden sowohl die Emissionen der Anlagen kontrolliert als auch eine Umgebungsüberwachung durchgeführt.

Mit der Durchführung der Emissions- und Immissionskontrollen war im Berichtszeitraum die LWVIE (Landwirtschaftliche Untersuchung und Forschung Wien), eine Dienststelle der AGES, beauftragt. Im Allgemeinen erfolgt die Überwachung durch vierteljährlich stattfindende Kontroll- und Probenahmefahrten. Im Zuge dieser Fahrten, deren genauer Zeitpunkt im Ermessen der Behörde liegt, werden zum einen die Aufzeichnungen über die Eigenüberwachung auf Vollständigkeit und Plausibilität überprüft, zum anderen Proben zur behördlichen Kontrollmessung über- bzw. entnommen. Die bei den Kontrollmessungen angewandten Messmethoden sind die hochauflösende Gammaskpektrometrie und die Flüssigszintillationspektrometrie. Im Folgenden wird ein kurzer Überblick über das jeweils durchgeführte Überwachungsprogramm gegeben (detaillierte Angaben sind den entsprechenden Berichten der LWVIE zu entnehmen).

### **2.2.1. Austrian Research Centers Seibersdorf (ARCS)**

#### Emissionskontrolle

Entsprechend den Auflagen in den Bewilligungsbescheiden kontrollieren die ARCS das Abwasser der Anlage sowie die Abluft der potenziellen Emittenten. Einige der bei dieser Eigenüberwachung anfallenden Abwasser- und Abluftproben, die zur Überprüfung durch die Behörde aufbewahrt werden, werden von der LWVIE zur Nachmessung übernommen. Die Auswahl dieser Proben erfolgt nach Sichtung der im Rahmen der Eigenüberwachung von den ARCS zu machenden Aufzeichnungen über die Radioaktivitätsableitungen. Ergibt diese Sichtung keine Hinweise auf höhere Abgaben bzw. Unstimmigkeiten, so werden in erster Linie die jüngsten Abwasser- bzw. Abluftproben zur Nachmessung übernommen, um eventuell vorhandene kurzlebige Radionuklide erfassen zu können. Zusätzlich zu den Proben aus der Eigenüberwachung werden auch von der LWVIE direkt aus den Lagerbecken entnommene Abwasserproben untersucht.

#### Umgebungsüberwachung

Die ARCS führen eine umfangreiche Umgebungsüberwachung durch, die sich im Wesentlichen aus einer Direktmessung der externen Strahlung und einer Bestimmung der Aktivitätskonzentration in verschiedenen Medien relevanter Belastungspfade zusammensetzt. Anders als die behördliche Emissionskontrolle, die in erster Linie aus Kontrollmessungen an Proben aus der Eigenüberwachung besteht, erfolgt die amtliche Immissionskontrolle hauptsächlich durch Untersuchen von in der Umgebung der Anlage von der Behörde gezogenen Proben. Berücksichtigt werden dabei Medien, die vom Menschen direkt oder indirekt aufgenommen werden können, wie beispielsweise Luft, Niederschläge, Wasser und biologisches Material. Darüberhinaus werden zu Kontrollzwecken auch einige Proben aus der Eigenüberwachung nachgemessen.

### **2.2.2. Atominstitut der Österreichischen Universitäten (AI)**

#### Emissionskontrolle

Von den Betreibern des AI werden gemäß Bewilligungsbescheid das Abwasser und die Abluft der Anlage überwacht. Jeweils vor der Entleerung eines Abwassertanks in den Donaukanal wird von der Behörde eine Abwasserprobe zur Kontrollmessung übernommen. Die behördliche Kontrolle der Reaktorhallenabluft erfolgt vierteljährlich durch Nachmessen von Abluftproben aus der Eigenüberwachung, wobei jeweils zwei Aerosolfilter und ein Aktivkohlefilter untersucht werden.

#### Umgebungsüberwachung

Das AI führt – ebenso wie die ARCS – eine umfangreiche Umgebungsüberwachung, bestehend aus einer Direktmessung der externen Strahlung und einer Bestimmung der Radioaktivi-

tät in verschiedenen Umweltmedien, durch. Die behördliche Umgebungsüberwachung erfolgt in erster Linie durch Untersuchen von selbst gezogenen Proben. Vierteljährlich werden dabei folgende Proben analysiert: zwei Wasser- und zwei Sedimentproben aus dem Donaukanal (entnommen jeweils oberhalb bzw. unterhalb der Abwassereinleitstelle), drei Grundwasserproben sowie eine Bewuchsprobe. Neben diesen Proben werden von der LWVIE zu Kontrollzwecken auch Aerosolfilter aus der betriebsinternen Luftimmissionsüberwachung untersucht.



### 3. Ergebnisse aus dem Strahlenfrühwarnsystem

Mit Hilfe des Strahlenfrühwarnsystems erfolgte auch in den Jahren 2003 und 2004 eine permanente Überwachung der Gammadosisleistung im gesamten Bundesgebiet. Die im Berichtszeitraum gemessenen Werte weisen auf keine aktuelle Kontamination mit Radionukliden und somit auf keine gegenüber den Vorjahren erhöhte externe Strahlenexposition der Bevölkerung hin. Im Folgenden werden beispielhaft einige Ergebnisse aus dem Strahlenfrühwarnsystem präsentiert und erläutert.

In Abbildung 3.1. ist die zeitliche Entwicklung der Dosisleistung seit 1986 exemplarisch für die Messstelle Wolfsegg dargestellt. Es handelt sich dabei um eine durch den Reaktorunfall von Tschernobyl höher kontaminierte Region. (In weniger stark betroffenen Gebieten lagen die maximalen Wochenmittelwerte nach dem Reaktorunfall bei etwa einem Zehntel der für Wolfsegg gemessenen Spitzenwerte.) Durch die Darstellung in Form von Wochenmittelwerten erfolgt eine Glättung sowohl der infolge des Tschernobylunfalls aufgetretenen Spitzenwerte (siehe /BKA 88/) als auch von kurzzeitigen Erhöhungen, wie sie etwa während und nach Niederschlägen wegen der Auswaschung natürlicher Radionuklide auftreten.

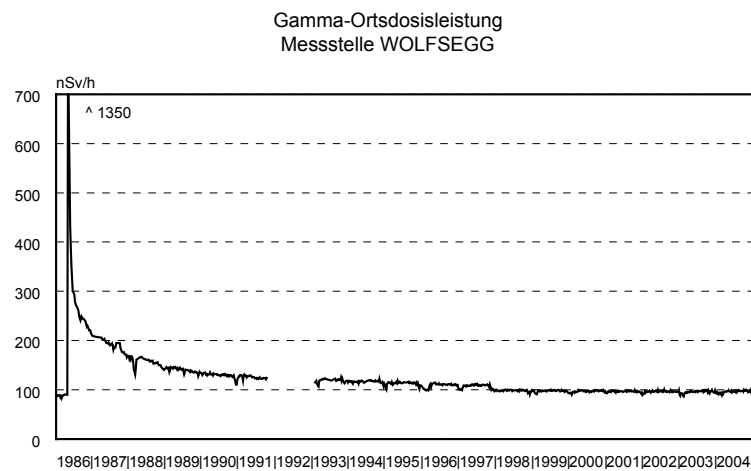


Abb. 3.1.: Verlauf der Ortsdosisleistung (Wochenmittelwerte) während der Jahre 1986 bis 2004 an der Messstelle Wolfsegg (OÖ)

Der dargestellte Langzeitverlauf der Dosisleistung ist typisch für das gesamte Bundesgebiet. An allen Messstellen kam es unmittelbar nach Eintreffen der durch den Reaktorunfall von Tschernobyl radioaktiv kontaminierten Luftmassen Ende April 1986 zu einem steilen Anstieg der Dosisleistung. Da die Radionuklide im Wesentlichen durch die Niederschläge deponiert wurden, korreliert das Maximum der Ortsdosisleistung grob mit der damals im Bereich der betreffenden Messstelle gefallenen Niederschlagsmenge. In den darauf folgenden Tagen und Wochen sanken die Werte rasch wieder ab. Dieser schnelle Abfall war hauptsächlich durch

das Abklingen der kurzlebigen Radionuklide sowie durch Abwascheffekte an den Dachflächen im Bereich der Messstellen bzw. das Eindringen der radioaktiven Stoffe in tiefere Bodenschichten, was eine stärkere Abschirmung der Strahlung zur Folge hat, bedingt. Nach dem Zerfall der kurzlebigen Radionuklide verlangsamte sich der Abfall der Dosisleistung. Dieses langsame Absinken ist an einigen Stellen noch immer zu beobachten und ist in erster Linie auf das weitere Tieferwandern der Kontamination sowie auf das Abklingen der längerlebigen Radionuklide zurückzuführen. Ab dem Jahr 1989 lag die Dosisleistung nur noch an wenigen Messstellen (zB Zwettl und Freistadt; siehe Tab. 3.1.) deutlich über den vor dem Reaktorunfall üblichen Werten.

In Tabelle 3.1. sind die Werte der Gammadosisleistung für die Bezirkshauptstädte und für die Messstellen in Wien seit 1983 zusammengestellt. Auch anhand dieser Daten ist der durch den Reaktorunfall von Tschernobyl verursachte Anstieg im Jahr 1986 sowie das anschließende Absinken der Werte deutlich zu ersehen. Im Berichtszeitraum waren die Auswirkungen des Tschernobylunfalls jedoch nur noch an wenigen Orten erkennbar. Die unterschiedlich hohen Werte an den einzelnen Messstellen sind in erster Linie Ausdruck des unterschiedlichen Gehaltes des Bodens an natürlichen Radionukliden sowie der Höhenabhängigkeit der kosmischen Strahlung. Die an einigen Messorten aufgetretenen Unstetigkeiten sind auf einen anderen natürlichen Strahlenpegel nach Geräteummontagen (zB Eisenstadt 1990, Rohrbach 2001, Murau 2002, Waidhofen/Thaya 2004) bzw. auf Neukalibrierungen der Messsonden gemäß den geänderten internationalen Richtlinien der ICRU (International Committee for Radiation Units) zurückzuführen. Aufgrund von Geräte- bzw. Übertragungsproblemen konnten für einige Orte nicht jedes Jahr Mittelwerte bestimmt werden (zB Wien-Floridsdorf 2001/02).

*Tabelle 3.1.: Jahresmittelwerte der Gammadosisleistung in den Bezirkshauptstädten sowie an den Wiener Messstellen für die Jahre 1983 bis 2004 (Werte in nSv/h)*

	83-85	86	87	88	89	90	91	92	93	94	95	96	97	98	99	00	01	02	03	04
<b>Burgenland</b>																				
Eisenstadt	66	78	72	128	123	104	72	73	73	73	73	73	73	73	73	72	73	72	72	72
Güssing	73	90	82	81	78	78	81	82	83	83	82	81	81	81	80	80	78	78	75	75
Jennersdorf	89	100	95	92	90	91	95	96	96	96	96	95	96	96	95	95	97	96	93	94
Mattersburg	76	100	88	86	83	83	85	81	81	81	80	80	79	79	79	79	79	79	78	77
Neusiedl	79	96	87	84	82	82	86	86	90	93	93	92	93	93	92	92	92	92	90	83
Oberpullendorf	121	138	124	121	117	110	96	97	97	98	98	97	97	96	94	94	94	94	92	86
Oberwart	73	82	75	74	72	73	76	77	80	80	80	80	79	79	79	79	79	79	75	75
Rust									73	74	73	72	73	73	72	72	72	72	71	70
<b>Kärnten</b>																				
Feldkirchen	83	106	95	93	89	88	91	91	92	91	91	90	91	90	89	89	90	89	88	88
Hermagor	87	104	93	88	83	87	86	94	95	96	96	96	96	96	94	94	95	94	93	92
Klagenfurt LReg	73	128	99	97	92	90	88	88	86	86	86	84	85	87	85	85	86	85	84	84
St. Veit/Glan	112	124	113	113	110	110	113	114	114	114	114	111	113	113	112	112	113	112	111	116
Spittal/Drau	97	108	100	99	92	92	92	96	96	96	96	96	96	96	95	95	95	95	95	96
Villach	99	118	85	82	78	78	81	82	86	89	88	85	88	88	86	93	98	90	96	91
Völkermarkt	87	148	119	112	102	100	100	100	99	99	98	96	96	96	95	95	95	94	94	94
Wolfsberg	96	146	117	111	106	104	90	85	85	84	84	83	83	82	82	82	82	81	81	84
<b>Niederösterreich</b>																				
Amstetten	84	124	101	93	88	88	94	94	91	91	89	87	85	79	73	71	68	66	78	81
Baden	62	85	72	70	68	68	80	81	76	73	74	71	68	68	68	68	68	67	68	68
Bruck/Leitha	92	100	92	91	74	79	95	96	96	96	95	95	95	95	90	85	85	85	85	85

	83-85	86	87	88	89	90	91	92	93	94	95	96	97	98	99	00	01	02	03	04
Gänserndorf	92	95	89	89	87	87	93	91	94	87	82	81	82	82	81	81	81	80	80	79
Gmünd	128	130	119	118	115	115	120	121	125	126	125	121	125	125	125	124	122	122	124	126
Hollabrunn	90	87	84	84	82	84	92	93	93	94	94	93	94	94	94	93	93	93	92	92
Horn	88	97	88	88	86	86	91	92	92	92	92	92	92	93	92	91	91	90	90	89
Korneuburg	68	72	69	62	69	71	75	77	86	91	91	90	90	90	87	75	77	76	75	73
Krems	112	125	111	107	103	102	97	88	88	88	88	87	88	87	87	87	86	86	83	84
Lilienfeld	66	111	91	85	81	80	83	83	81	81	81	80	80	79	79	79	80	80	78	78
Melk	78	116	100	95	87	86	86	87	86	86	86	87	87	86	85	85	85	84	80	80
Mistelbach	70	76	72	72	71	72	78	79	79	79	77	74	74	73	72	72	71	70	80	103
Mödling	65	85	71	69	65	66	73	73	69	69	69	69	69	68	68	67	68	67	67	87
Neunkirchen	111	140	121	121	114	113	116	116	116	115	115	114	114	95	80	79	79	79	78	78
St. Pölten BH	94	131	112	107	102	101	101	---	101	101	101	100	100	100	100	99	99	99	99	100
Scheibbs	92	107	97	96	93	93	93	95	97	97	97	97	98	97	96	96	96	96	94	94
Tulln	74	81	72	71	70	70	75	75	76	76	76	76	76	76	76	76	75	75	75	76
Waidhofen/Thaya	97	131	112	109	102	102	102	104	102	102	99	96	95	94	94	94	99	99	101	109
Waidhofen/Ybbs	86	163	145	132	118	113	110	107	102	100	94	93	93	92	92	91	91	90	91	91
Wr. Neustadt	91	104	94	93	90	90	94	94	95	95	96	96	96	96	96	76	74	74	73	72
Zwettl	86	167	132	121	111	109	108	106	104	104	102	99	100	99	98	91	91	91	90	89
<b>Oberösterreich</b>																				
Braunau	104	118	109	105	102	102	104	105	105	105	103	85	84	85	84	84	84	84	84	84
Eferding	94	161	124	110	100	98	111	114	112	111	95	93	92	91	91	90	90	89	89	89
Freistadt	93	145	124	117	110	109	109	107	106	106	105	104	103	103	102	101	101	100	99	95
Gmunden	78	116	91	87	83	82	84	84	81	---	82	79	75	74	74	74	74	74	73	72
Grieskirchen	81	140	110	100	92	90	86	92	90	89	88	87	87	86	85	85	84	84	83	82
Kirchdorf	84	148	123	111	102	100	100	100	99	96	97	93	92	91	95	89	88	87	86	85
Linz LFK	67	115	84	75	66	62	79	78	75	73	72	72	72	71	70	70	70	69	69	68
Perg	104	174	142	133	110	115	123	118	116	109	114	114	115	115	115	117	119	120	105	92
Ried/Innkreis	79	124	101	94	87	86	89	89	88	87	86	86	85	84	84	84	83	83	84	94
Rohrbach	100	107	99	98	97	97	102	103	102	102	101	100	99	97	94	95	102	102	102	103
Schärding	103	121	110	109	100	90	121	121	113	104	101	104	105	104	104	104	105	105	107	108
Steyr BH	69	126	106	99	92	90	97	---	101	105	104	103	103	102	101	98	85	82	77	70
Vöcklabruck	89	169	137	122	108	97	73	80	80	80	80	80	79	78	78	78	78	77	75	75
Wels BH	88	209	168	148	132	127	117	111	111	110	108	106	104	102	101	100	99	99	98	98
<b>Salzburg</b>																				
Hallein	72	153	120	106	97	94	89	89	87	86	85	85	84	80	79	79	78	77	77	76
Salzburg WD	63	167	100	91	84	83	85	84	84	83	82	82	81	80	79	79	79	79	78	78
St. Johann/Pongau	77	114	88	85	82	80	85	86	85	85	85	85	85	84	77	72	72	72	72	71
Tamsweg	89	114	100	95	88	91	96	97	97	97	97	98	97	96	96	95	95	95	95	96
Zell/See	85	119	101	97	92	91	94	94	94	94	94	94	93	92	92	91	91	91	97	101
<b>Steiermark</b>																				
Bruck/Mur	76	95	86	85	82	81	81	91	89	89	89	89	88	88	88	87	88	87	87	85
Deutschlandsberg	98	188	141	129	116	114	104	104	110	108	107	105	105	102	100	100	100	100	100	101
Feldbach	111	149	131	128	122	121	123	123	121	121	121	119	121	120	120	120	120	120	118	126
Fürstenfeld	79	127	105	99	93	92	93	90	85	---	91	90	89	88	87	87	87	86	86	86
Graz LReg	110	151	132	126	120	119	119	118	116	116	116	115	115	115	114	113	113	113	114	116
Hartberg	105	131	115	110	107	106	108	109	105	105	105	103	101	99	97	96	97	96	96	96
Judenburg	105	119	112	109	106	105	---	107	103	106	109	109	109	109	110	107	107	107	106	107
Knittelfeld	86	96	87	87	85	85	89	90	90	90	90	89	90	87	88	87	87	86	86	87
Leibnitz	70	109	96	93	89	89	89	90	89	89	88	87	87	87	85	84	85	85	83	84
Leoben BH	107	108	100	99	97	97	101	103	104	104	104	104	104	103	102	101	102	102	101	102
Liezen	75	168	126	111	98	95	94	92	91	90	90	89	88	87	86	85	85	84	83	83
Murau	96	122	111	108	105	104	107	106	105	103	103	107	107	107	107	106	90	90	89	89
Mürzzuschlag	79	91	82	81	79	79	81	84	85	85	85	85	84	84	83	84	83	83	83	83
Bad Radkersburg	96	125	112	108	104	104	106	104	101	---	101	104	106	106	106	106	106	106	104	102
Voitsberg	80	137	111	105	96	94	95	---	100	99	97	95	95	95	95	95	95	94	93	94
Weiz	87	135	111	103	97	94	93	89	---	94	94	93	91	90	89	89	89	88	87	88
<b>Tirol</b>																				
Imst	78	96	88	86	83	82	87	83	85	88	87	88	87	87	86	87	97	96	95	88
Innsbruck FW	76	96	88	86	84	84	87	87	88	88	89	88	88	89	87	82	82	82	81	80
Kitzbühel	83	91	82	82	80	80	83	83	85	84	84	85	84	83	81	81	82	82	82	82
Kufstein	79	114	95	89	82	81	86	86	86	86	85	85	85	77	76	76	76	75	75	76
Landeck	99	114	106	103	101	101	107	107	107	107	107	107	107	106	105	105	105	105	107	105
Lienz	86	95	91	91	90	89	88	88	---	90	94	94	94	93	95	96	97	97	96	93
Reutte	75	106	94	89	85	83	91	91	86	86	86	86	85	84	83	83	83	83	81	81
Schwaz	81	105	92	90	90	90	90	91	91	90	88	87	88	87	86	88	106	106	105	106
<b>Vorarlberg</b>																				
Bludenz	95	95	92	90	89	88	96	95	94	94	92	89	87	88	92	91	87	87	87	87
Bregenz	65	95	84	80	77	76	80	80	80	80	80	80	79	78	78	77	77	77	76	74
Dornbirn BH	72	90	82	79	78	78	83	84	80	78	80	78	78	78	77	77	77	77	75	75
Feldkirch	83	88	85	84	83	83	87	88	88	88	88	88	88	88	87	87	87	87	87	86
<b>Wien</b>																				
Floridsdorf	95	101	96	95	93	93	90	90	97	98	98	98	98	98	98	97	---	---	90	90
Rudolfshügel	69	91	81	79	77	77	81	82	82	82	82	81	81	82	81	81	81	80	80	78
KH Steinhof	78	80	73	72	70	71	76	77	77	77	78	80	79	78	78	78	78	78	77	76
Regierungsgebäude	68	75	69	69	67	68	75	75	76	76	76	76	76	75	75	71	73	73	72	72

An Höhenmessstellen zeigt der Verlauf der Ortsdosisleistung aufgrund der Abschirmwirkung der Schneedecke einen ausgeprägten Jahresgang. Durch die Schneedecke wird nämlich die Gammastrahlung der natürlichen Radionuklide im Boden sowie die der nach dem Reaktorunfall von Tschernobyl deponierten, künstlichen Radionuklide teilweise abgeschirmt. Zusätzlich wird die Emanation des natürlichen radioaktiven Edelgases Radon aus dem Boden behindert, was zu einer geringeren Konzentration an Radonfolgeprodukten in der bodennahen Luft führt. Insgesamt ergibt sich dadurch während Schneelagen eine an manchen Stationen beträchtliche Reduzierung der Gammadosisleistung. Liegt kein oder nur wenig Schnee, so resultieren aufgrund des Fehlens bzw. schwächeren Wirkens der beiden Effekte höhere Dosisleistungen. Zur Veranschaulichung dieses Phänomens ist in Abbildung 3.2. der zeitliche Verlauf der Gammadosisleistung an der Messstation Feuerkogel (Oberösterreich) in 1618 m Seehöhe gemeinsam mit der Schneehöhe für die Jahre 2000 bis 2004 dargestellt.

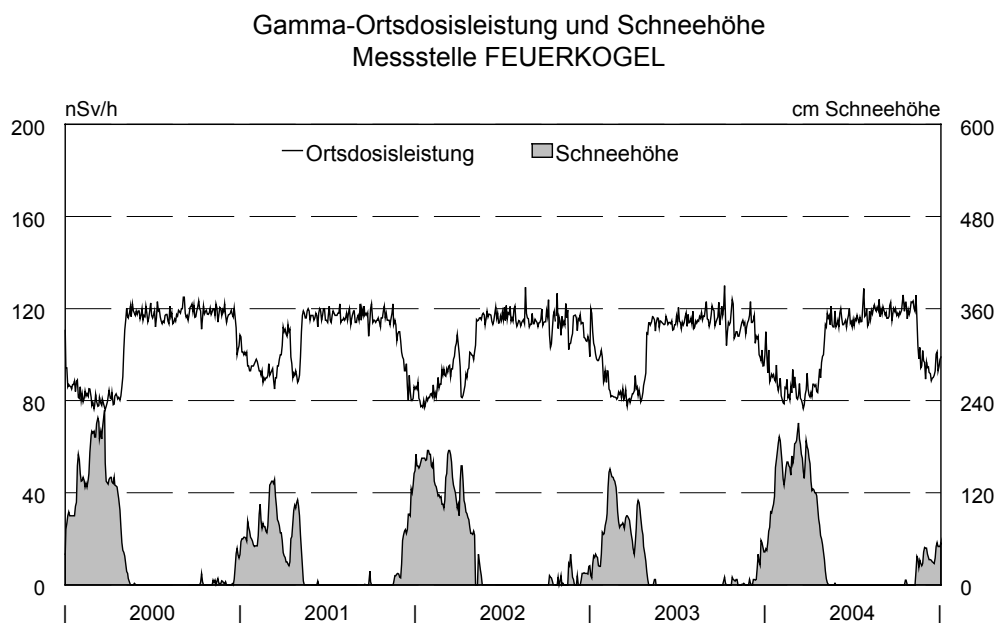
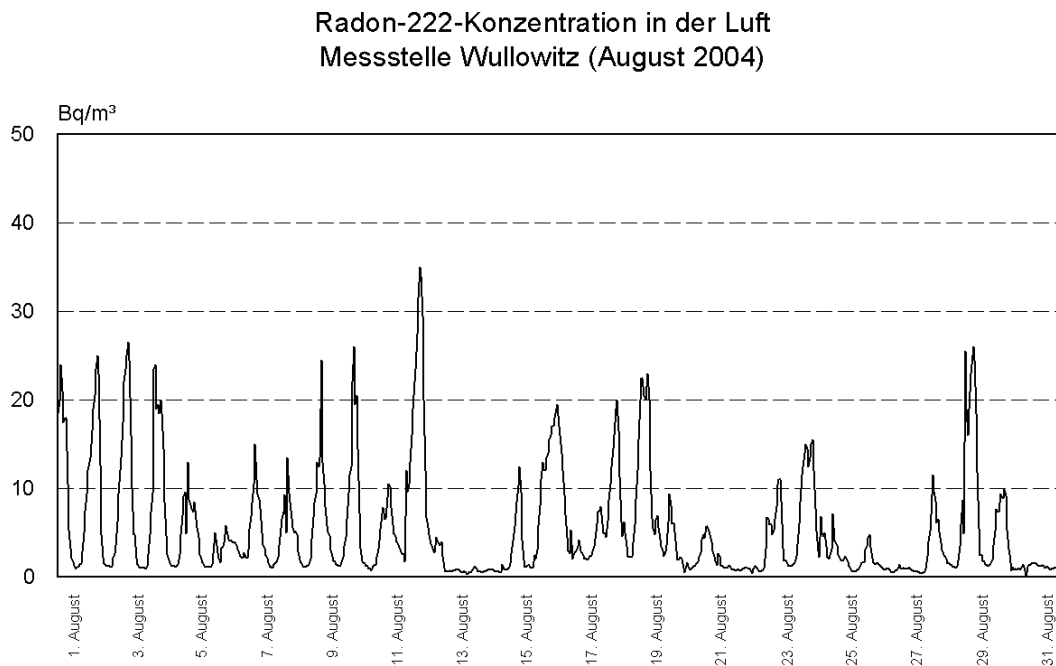


Abb. 3.2.: Verlauf der Ortsdosisleistung (Tagesmittelwerte) und der Schneehöhe während der Jahre 2000 bis 2004 an der Höhenmessstation Feuerkogel (1618 m) in Oberösterreich

Die mit den Luftmonitoren des Strahlenfrühwarnsystems im Berichtszeitraum erhaltenen Messwerte weisen auf keine Kontamination der bodennahen Luft mit künstlichen Radionukliden hin. Die gemessenen Aktivitäten sind auf Folgeprodukte des natürlichen radioaktiven Edelgases Radon zurückzuführen. Im Freien ist die Konzentration an diesen Radionukliden von den geologischen Bedingungen am Standort sowie von den momentanen meteorologischen Verhältnissen abhängig. An den in Betrieb befindlichen Messstellen liegen die Werte für die Radonkonzentration im Allgemeinen zwischen etwa  $0.5$  und  $50 \text{ Bq/m}^3$ . Die Abbildung 3.3. zeigt am Beispiel des Monats August 2004 den zeitlichen Verlauf der Radon-222-Konzentration in der bodennahen Luft an der Messstelle Wulowitz. Deutlich erkennbar ist

der meteorologisch bedingte starke Tagesgang der Messwerte. Im Allgemeinen treten während der Nacht wegen der stabileren Luftverhältnisse höhere Werte auf. Durch die Tageserwärmung kommt es dann zu einer Durchmischung der radonhaltigen bodennahen Luft mit radonarmer Luft aus höheren Schichten, was in der Regel ein starkes Absinken der Radonkonzentration bewirkt.



*Abb. 3.3.: Verlauf der Radon-222-Konzentration (Stundenwerte) im August 2004 an der Messstelle Wulowitz*

## 4. Ergebnisse aus dem laborgestützten Überwachungsnetz

Im Wesentlichen wurde das Routineprogramm der Vorjahre zur Kontrolle der Luft, der Niederschläge, der Oberflächengewässer und der Kläranlagenemissionen sowie der Lebensmittel ohne größere Änderungen weitergeführt. Zusätzlich erfolgte im Rahmen von Schwerpunktprojekten sowohl eine Untersuchung weiterer Medien als auch eine genauere regionale bzw. zeitliche Erfassung einzelner Radionuklide. Damit war auch in den Jahren 2003 und 2004 eine ausreichende Überwachung auf radioaktive Kontaminationen sichergestellt.

Die meisten Lebensmittel und Umweltmedien wiesen – wie schon in den Vorjahren – auch im Berichtszeitraum nur noch geringe Gehalte an künstlichen Radionukliden auf. Lediglich im Boden gewisser Regionen und in einigen Waldprodukten wie bestimmten Pilzen und Wild treten noch immer gegenüber der Zeit vor dem Tschernobylunfall erhöhte Werte auf. Die Gehalte an natürlichen radioaktiven Stoffen haben sich erwartungsgemäß gegenüber den Vorjahren nicht geändert. Im Folgenden wird auf die untersuchten Medien einzeln eingegangen.

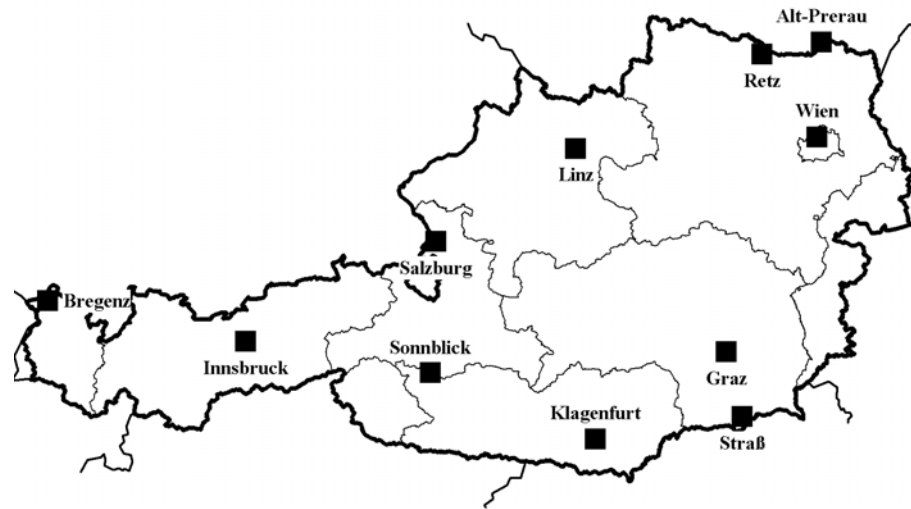
### 4.1. Luft

Die Sammlung von Aerosolproben erfolgt mittels Hochvolumensammler eigener Entwicklung mit einem Luftdurchsatz von etwa 80 bis 100 m<sup>3</sup>/h. An der LWLNZ wird zusätzlich ein Sammler für gasförmiges, nicht aerosolgebundenes Iod mit einer Leistung von etwa 10 m<sup>3</sup>/h betrieben. Der Sammelzeitraum für Luftproben beträgt im Allgemeinen eine Woche. In der folgenden Tabelle sind die Sammelorte für Aerosolproben, die Probenehmer sowie die jeweils zuständige Messstelle angeführt – die Abbildung gibt einen geografischen Überblick.

Aerosolsammler in Österreich		
Sammelort	Probenehmer	Messstelle
Alt-Prerau	Landw. Industrieges. Alt-Prerau	LWVIE
Straß	Bundesheer Straß	LWVIE
Bregenz	WDS Bregenz	LWLNZ
Graz	LUGRZ	LWVIE
Innsbruck	ZAMG Innsbruck	LWLNZ
Klagenfurt	ZAMG Klagenfurt	LWVIE
Linz	LWLNZ	LWLNZ
Retz	WDS Retz	LWVIE
Salzburg	ZAMG Salzburg	LWLNZ
Sonnblick	ZAMG Salzburg	Observatorium Sonnblick*
Wien	LWVIE	LWVIE

\* 2001, 2002, 2003 und 2004 an der LWLNZ gemessen

## Aerosolsammler in Österreich (Überblick)



Die Luftproben werden nach Einlangen an der jeweiligen Messstelle so bald wie möglich gammaspektrometrisch auf das Vorhandensein erhöhter radioaktiver Kontaminationen untersucht. Um auch geringe Mengen an gammastrahlenden Radionukliden feststellen zu können, erfolgt nach Abklingen der natürlichen Radonfolgeprodukte eine Langzeitmessung. Somit ist es möglich, großräumige Verfrachtungen selbst sehr geringer Aktivitäten zu erkennen bzw. langfristige Trends von bereits vorhandenen Kontaminationen zu verfolgen.

### Natürliche Radionuklide

#### Radon und Folgeprodukte

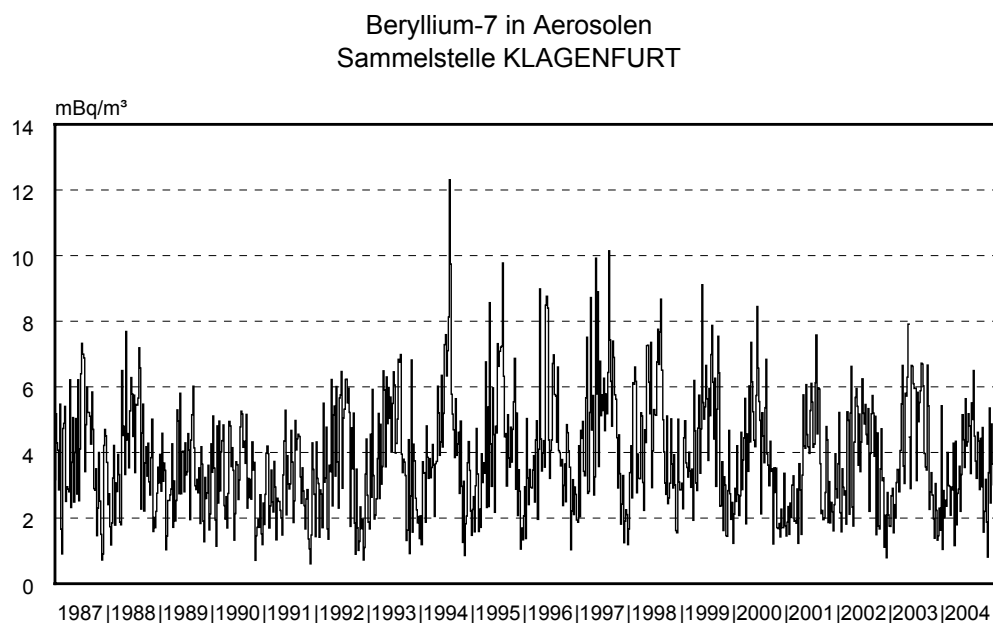
Die aus dem Boden austretenden radioaktiven Edelgase Radon-220 (aus der Thorium-Reihe) und Radon-222 (aus der Uran-Radium-Reihe) werden über ihre kurzlebigen gammastrahlenden Folgeprodukte qualitativ nachgewiesen. Eine verlässliche Quantifizierung dieser Nuklide ist bei den eingesetzten langen Sammelzeiten wegen der kurzen Halbwertszeiten nicht möglich. Laut nationalen und internationalen Angaben liegt die Konzentration an Radon in der freien Atmosphäre im Mittel zwischen 2 und 20 Bq/m<sup>3</sup>. Dies wird durch die Messungen mit den Luftmonitoren des Strahlenfrühwarnsystems bestätigt (siehe Seite 33). Das im Freien befindliche Radon liefert jedoch nur einen kleinen Beitrag zur Inhalationsdosis durch Radon. Der überwiegende Teil wird durch Radon in Innenräumen, wo es zu Anreicherungen kommen kann, bewirkt. Nach derzeitigem Kenntnisstand beträgt in Österreich die durch Inhalation von Radon verursachte Effektivdosis im Mittel etwa 1.6 mSv pro Einwohner und Jahr.

Durch das Zusammentreffen bestimmter Gegebenheiten wie hoher Urangehalt im Grundgestein und hohe Durchlässigkeit der Gesteine, der Böden und der Gebäudfundamente für Radon kann es zur Anreicherung von Radon in Innenräumen und damit zu sehr hohen Expo-

sitionen kommen. Aus diesem Grund wurde auf Veranlassung des damaligen Gesundheitsressorts im Jahr 1991 eine von mehreren Institutionen getragene österreichweite Studie zur Erfassung der Radonexposition in Innenräumen (ÖNRAP) begonnen. Einzelheiten über dieses Projekt sowie Ergebnisse sind in /BKA 97/, BKA 98/, /BKA 99/, /BMGSK 92b/, /BMGSK 94b/ und /Friedmann 96/ zu finden.

### Beryllium-7

In Abbildung 4.1.1. sind exemplarisch die seit 1987 gemessenen Wochenwerte für das durch die kosmische Strahlung erzeugte Beryllium-7 für die Sammelstelle Klagenfurt grafisch dargestellt. An den übrigen Sammelstellen wurden naturgemäß sehr ähnliche Werte und Verläufe gefunden. In Tabelle 4.1.1. sind für alle Sammelstellen die Jahresmittelwerte sowie die minimalen und maximalen Wochenwerte der Beryllium-7-Aktivitätskonzentration für die Jahre 2003 und 2004 zusammengestellt.



*Abb. 4.1.1.: Verlauf der Beryllium-7-Aktivitätskonzentration (Wochenwerte) in Aerosolen während der Jahre 1987 bis 2004 an der Sammelstelle Klagenfurt*

Die Konzentration an Beryllium-7 in der Luft ist von meteorologischen Faktoren abhängig und weist einen groben jahreszeitlichen Gang mit Maximum im Sommerhalbjahr und Minimum im Winterhalbjahr auf. Der österreichweite Jahresmittelwert der Beryllium-7-Aktivitätskonzentration betrug im Jahr 2003 etwa  $4.4 \text{ mBq/m}^3$ , im Jahr 2004 etwa  $3.9 \text{ mBq/m}^3$ . Die durch die Inhalation von Beryllium-7 verursachte Strahlenexposition liegt bei einigen Millionstel Millisievert Effektivdosis pro Jahr und Einwohner und ist somit vernachlässigbar gering. Der Nachweis von Beryllium-7 erfüllt jedoch eine wichtige Indikatorfunktion für stratosphärische Einträge.

*Tabelle 4.1.1.: Jahresmittelwerte sowie minimale und maximale Wochenwerte der Beryllium-7-Aktivitätskonzentration für alle Sammelstellen*

Beryllium-7-Aktivitätskonzentration in Aerosolen [ $\mu\text{Bq}/\text{m}^3$ ]						
	2003			2004		
	Mittelwert	Minimum	Maximum	Mittelwert	Minimum	Maximum
<b>Alt-Prerau</b>	3560	900	7070	3230	1140	6570
<b>Bregenz</b>	4820	970	8860	4230	1240	7650
<b>Graz</b>	5700	1430	10890	4900	1320	9070
<b>Innsbruck</b>	5190	1430	8450	4260	990	7920
<b>Klagenfurt</b>	4110	1330	7910	3430	810	6500
<b>Linz</b>	4590	940	8990	4140	1230	7780
<b>Retz</b>	3500	1050	6100	3240	1110	5620
<b>Salzburg</b>	4430	950	7720	3860	1040	7630
<b>Straß</b>	4620	930	9650	3970	1230	6980
<b>Wien</b>	3800	980	6840	3720	1340	6380

## Künstliche Radionuklide

### Cäsium-137

Cäsium-137 ist das einzige künstliche Radionuklid, das zurzeit regelmäßig in der bodennahen Luft nachgewiesen wird. Zum Großteil stammt es aus dem Tschernobylunfall im April 1986, ein wesentlich kleinerer Teil ist noch auf die oberirdischen Kernwaffenversuche der Fünfziger- und Sechzigerjahre zurückzuführen. In die bodennahe Atmosphäre gelangt Cäsium-137 hauptsächlich durch die Aufwirbelung von kontaminiertem Bodenmaterial (Resuspension). Für die auftretenden Aktivitätskonzentrationen sind daher sowohl meteorologische Faktoren wie Inversionswetterlagen und Luftbewegungen als auch die primäre Fallout-Situation nach dem Reaktorunfall, die das Ausmaß der Kontamination des Bodens bestimmte, maßgebend.

In Abbildung 4.1.2 sind exemplarisch die seit 1987 gemessenen Wochenwerte für Cäsium-137 für die Sammelstelle Klagenfurt grafisch dargestellt (logarithmische Skala!). An den übrigen Sammelstellen wurden ähnliche Werte und Verläufe registriert. In Tabelle 4.1.2. sind für alle Sammelstellen die Jahresmittel- bzw. Jahresmedianwerte sowie die minimalen und maximalen Wochenwerte der Cäsium-137-Aktivitätskonzentration für die Jahre 2003 und 2004 zusammengestellt.

Die gemessenen Wochenwerte für Cäsium-137 lagen im Berichtszeitraum im Bereich von einigen bis zu etwa  $20 \mu\text{Bq}/\text{m}^3$ . Die in den Herbst- und Wintermonaten regelmäßig auftretenden Erhöhungen der Radiocäsiumkonzentration in der bodennahen Luft (siehe Abb. 4.1.2.) lassen sich mit dem häufigen Auftreten von austauscharmen Wetterlagen in dieser Jahreszeit erklären /Hötzl 93/.

Cäsium-137 in Aerosolen  
Sammelstelle KLAGENFURT

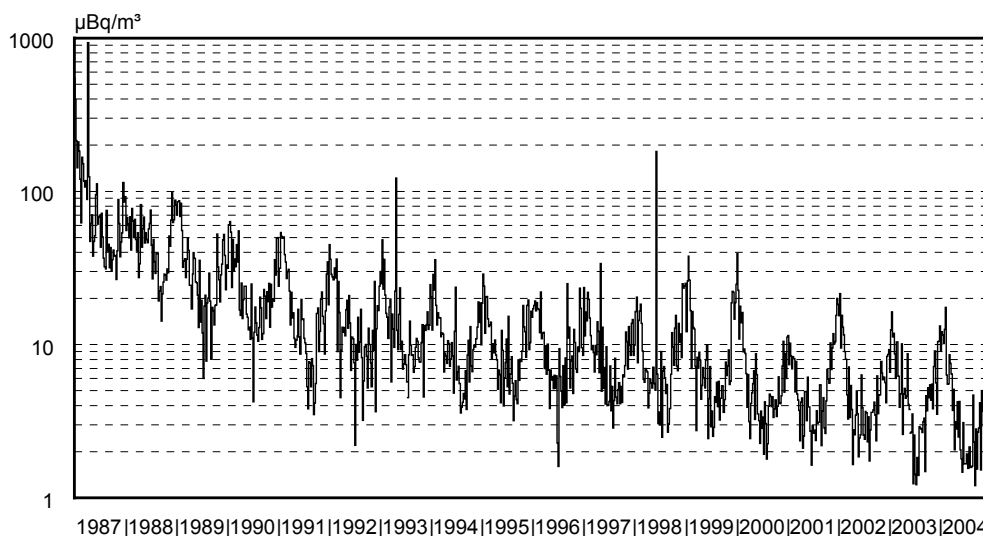


Abb. 4.1.2.: Verlauf der Cäsium-137-Aktivitätskonzentration (Wochenwerte) in Aerosolen während der Jahre 1987 bis 2004 an der Sammelstelle Klagenfurt (log. Skala)

Tabelle 4.1.2.: Jahresmittel- bzw. Jahresmedianwerte sowie minimale und maximale Wochenwerte der Cäsium-137-Aktivitätskonzentration für alle Sammelstellen

Cäsium-137-Aktivitätskonzentration in Aerosolen [ $\mu\text{Bq}/\text{m}^3$ ]						
	2003			2004		
	Mittelwert	Minimum	Maximum	Mittelwert	Minimum	Maximum
<b>Alt-Prerau</b>	– <sup>1)</sup>	n.n.	4.3	– <sup>1)</sup>	n.n.	2.1
<b>Bregenz</b>	2.1 <sup>2)</sup>	n.n.	5.9	– <sup>1)</sup>	n.n.	11.6
<b>Graz</b>	4.1	n.n.	17.0	2.5 <sup>2)</sup>	n.n.	12.6
<b>Innsbruck</b>	4.7	n.n.	15.1	3.8	n.n.	18.4
<b>Klagenfurt</b>	5.5	1.2	16.4	5.1	n.n.	17.5
<b>Linz</b>	3.5	n.n.	11.4	3.2	n.n.	18.6
<b>Retz</b>	– <sup>1)</sup>	n.n.	3.3	– <sup>1)</sup>	n.n.	7.4
<b>Salzburg</b>	4.9	n.n.	19.1	4.6	n.n.	16.9
<b>Straß</b>	3.8	n.n.	10.9	3.3	n.n.	18.2
<b>Wien</b>	1.1	n.n.	3.7	– <sup>1)</sup>	n.n.	2.6

<sup>1)</sup> keine Angabe möglich, da Cäsium-137 in mehr als der Hälfte der Proben dieses Jahres nicht mehr nachgewiesen wurde

<sup>2)</sup> Medianwert, da Cäsium-137 in vielen Proben dieses Jahres nicht mehr nachgewiesen wurde

n.n. ... nicht nachgewiesen

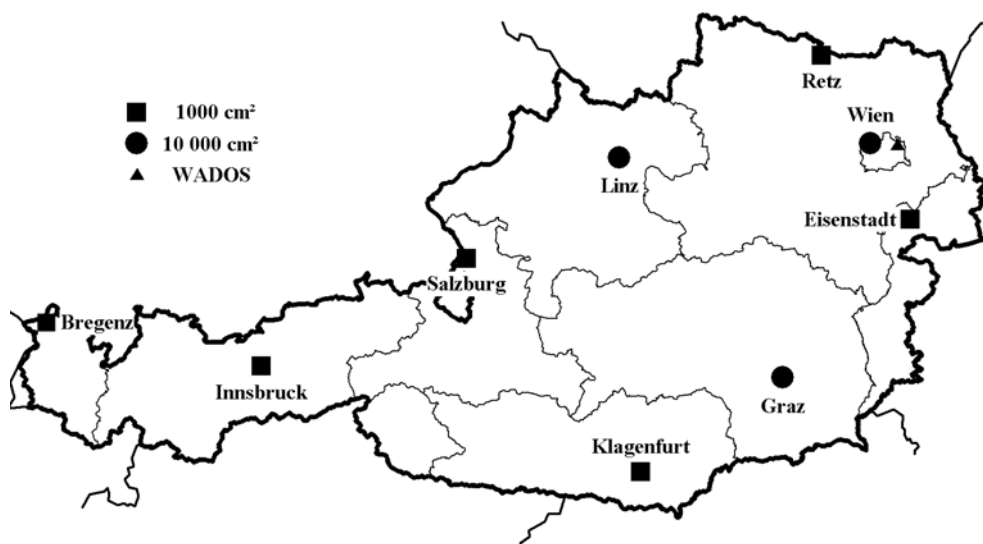
Eine Abschätzung der durch Cäsium-137 im Berichtszeitraum bewirkten Inhalationsdosen ergibt Effektivdosen von weniger als 1 nSv pro Jahr und Einwohner. Zum Vergleich: Die mit dem Strahlenfrühwarnsystem registrierte Dosisleistung liegt in Österreich im Mittel bei etwa 90 nSv/h. Das bedeutet, dass allein aufgrund der externen Bestrahlung durch natürliche Radionuklide und die kosmische Strahlung in weniger als einer Minute eine höhere Dosis als durch die Inhalation von Cäsium-137 im ganzen Jahr bewirkt wird.

## 4.2. Niederschlag

Im Rahmen des österreichischen Überwachungsnetzes für Radioaktivität werden mehrere Niederschlagssammler betrieben. Es stehen Geräte mit einer Auffangfläche von 1000 cm<sup>2</sup> bzw. 10 000 cm<sup>2</sup> im Einsatz. In der untenstehenden Tabelle sind die Sammelorte für Niederschlagsproben, die Probenehmer sowie die zuständigen Stellen angeführt – die Abbildung gibt einen geografischen Überblick.

Niederschlagssammler in Österreich		
Sammelort	Probenehmer	zuständige Stelle
Bregenz	WDS Bregenz	LWLNZ
Eisenstadt	BEWAG Eisenstadt	LWVIE
Graz	LUGRZ	LUGRZ
Innsbruck	ZAMG Innsbruck	LWLNZ
Klagenfurt	ZAMG Klagenfurt	LWVIE
Linz	LWLNZ	LWLNZ
Retz	WDS Retz	LWVIE
Salzburg	ZAMG Salzburg	LWLNZ
Wien	LWVIE	LWVIE

### Niederschlagssammler in Österreich (Übersicht)



Durch eine thermostat-gesteuerte Beheizung der Auffangflächen und/oder durch die Zuleitung von warmer Abluft der Aerosolsammler wird bei Schneefall ein Abschmelzen des Schnees bewirkt. Die Sammelanlagen erlauben keine getrennte Sammlung von nasser und trockener Deposition. Lediglich in Wien wird – neben einem 10 000 cm<sup>2</sup>-Sammler – seit Anfang 1995 auch ein Gerät (WADOS; wet and dry only sampler) betrieben, das eine ge-

trennte Sammlung von nasser und trockener Deposition ermöglicht. Der Sammelzeitraum für Niederschlagsproben beträgt im Allgemeinen ein Monat – bei großen Niederschlagsmengen werden gelegentlich auch kürzere Intervalle verwendet. Die Zuständigkeit für die Proben ist nach regionalen Gesichtspunkten geregelt.

Die Niederschlagsproben werden an der zuständigen Stelle gammaspektrometrisch untersucht, wobei die Proben im Allgemeinen vor der Messung zwecks Volumsreduktion eingedampft werden. Weiters wird an der LWVIE mittels Flüssigszintillationsspektrometrie der Tritiumgehalt aller Proben ermittelt.

In den untersuchten Niederschlagsproben wurden Radionuklide sowohl künstlichen als auch natürlichen Ursprungs nachgewiesen. Mit Ausnahme von Tritium, das zum überwiegenden Teil in Form von tritiiertem Wasser (HTO) am Wasserkreislauf teilnimmt, stammen sie sowohl aus nasser als auch aus trockener Deposition. Über die jeweiligen Anteile können jedoch keine genauen Aussagen gemacht werden, da die verwendeten Sammler – mit Ausnahme des WADOS – keine getrennte Sammlung von nasser und trockener Deposition erlauben. Im Falle des WADOS sind – aufgrund der kleinen Auffangflächen und damit geringen Probenmengen – die in den Proben derzeit vorhandenen Radionuklidmengen so gering, dass sie nicht nachgewiesen werden können.

## **Natürliche Radionuklide**

### Radon und Folgeprodukte

Die in der Luft vorhandenen radioaktiven Edelgase Radon-222 und Radon-220 sowie ihre Folgeprodukte sind auch in den Niederschlagsproben stets vorhanden. Eine Quantifizierung dieser Nuklide ist jedoch wegen der langen Sammelzeiten und der verwendeten Aufarbeitungsmethode (Eindampfen) nicht möglich.

### Beryllium-7

In Abbildung 4.2.1. sind die Medianwerte und der jeweilige Wertebereich zwischen Minimal- und Maximalwert der monatlichen Beryllium-7-Flächendeposition unter Einbeziehung aller Sammelstellen für die Jahre 1987 bis 2004 dargestellt. Die durch die stratosphärische Herkunft von Beryllium-7 und diverse meteorologische Faktoren bedingten groben jahreszeitlichen Schwankungen sind darin gut ersichtlich. In Tabelle 4.2.1. sind für alle Sammelstellen die Mittelwerte sowie die minimalen und maximalen Werte der monatlichen Beryllium-7-Flächendeposition für die Jahre 2003 und 2004 zusammengestellt. Die mittlere Aktivitätskonzentration – also die Aktivität pro Liter – in den Niederschlagsproben lag im Jahr 2003 bei etwa 720 mBq/l, im Jahr 2004 bei etwa 600 mBq/l. Bei Verwendung dieser Niederschläge

zu Trinkzwecken ergibt sich durch den Beryllium-7-Gehalt eine vernachlässigbar geringe Dosis von einigen Millionstel Millisievert pro Jahr.

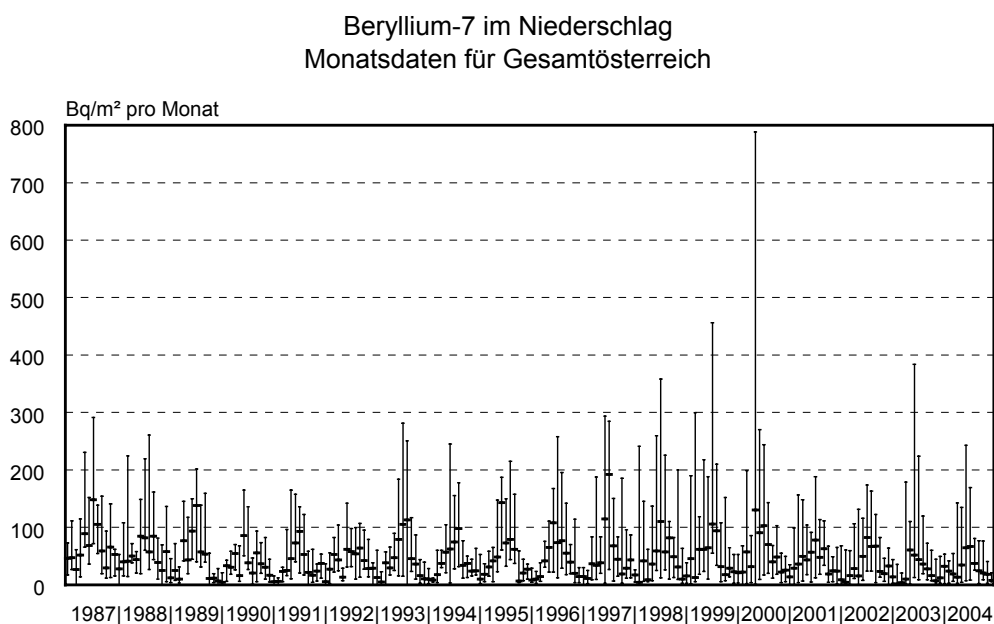


Abb. 4.2.1.: Monatliche Beryllium-7-Flächendeposition während der Jahre 1987 bis 2004 (Median- und Extremwerte)

Tabelle 4.2.1.: Mittel- und Extremwerte der monatlichen Beryllium-7-Flächendeposition für alle Sammelstellen

monatliche Beryllium-7-Flächendeposition [Bq/m <sup>2</sup> ]						
	2003			2004		
	Mittelwert	Minimum	Maximum	Mittelwert	Minimum	Maximum
<b>Bregenz</b>	109.6	13.8	383.8	67.8	9.9	168.8
<b>Eisenstadt</b>	26.8	0.3	72.3	18.2	2.2	47.6
<b>Graz</b>	13.1	0.8	43.9	40.1	8.6	76.3
<b>Innsbruck</b>	34.3	1.7	84.1	34.6	3.2	169.3
<b>Klagenfurt</b>	23.9	0.2	119.9	16.0	2.2	80.7
<b>Linz</b>	32.0	2.6	102.4	42.1	5.2	114.3
<b>Retz</b>	27.0	7.6	60.6	20.9	2.4	39.5
<b>Salzburg</b>	51.7	5.0	223.9	70.7	20.9	243.0
<b>Wien</b>	27.1	1.3	103.5	25.2	4.5	73.6

## Künstliche Radionuklide

### Tritium

Tritium kommt in der Biosphäre fast ausschließlich in Form von tritiiertem Wasser (HTO) vor und nimmt somit am Wasserkreislauf teil. Es ist daher auch im Niederschlag stets vor-

handen. Das derzeit in den Niederschlägen befindliche Tritium stammt im Allgemeinen aus den atmosphärischen Kernwaffenversuchen der Fünfziger- und Sechzigerjahre und aus natürlichen Quellen. Die Tritiumkonzentration in den Niederschlägen ist daher seit dem Einstellen der oberirdischen Kernwaffentests im Sinken begriffen (/Rank 85/, /Rank 94/, /Schönhöfer 85a/). Hin und wieder auftretende lokale Erhöhungen, wie beispielsweise im April 1989 in Westösterreich /BKA 91/, sind durch aktuelle Einträge von Tritium bedingt. Mögliche Quellen für solche Einträge sind der Betrieb von Kernanlagen sowie industrielle, militärische und wissenschaftliche Anwendungen von Tritium.

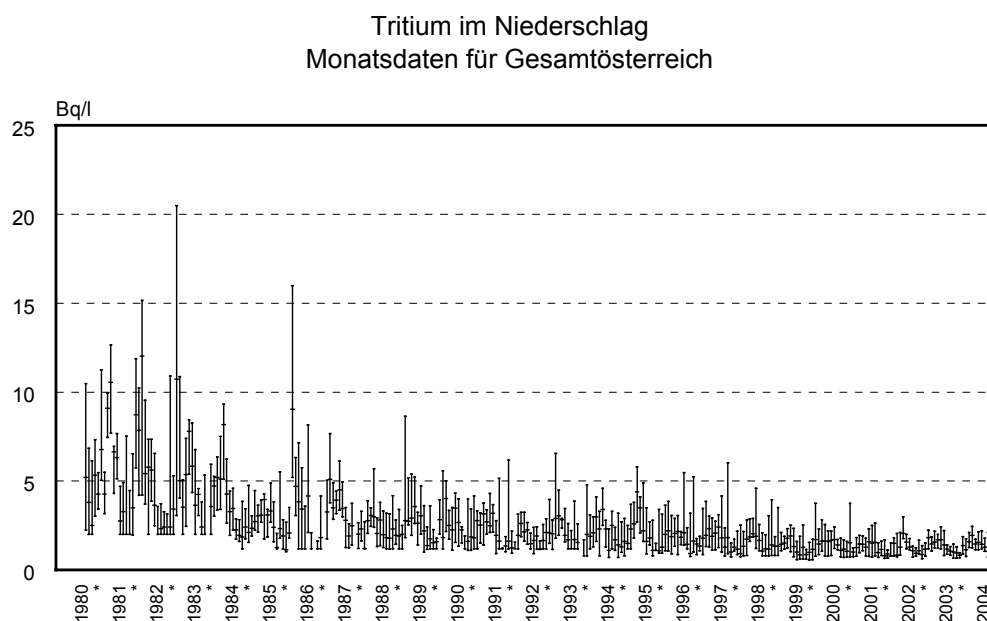


Abb. 4.2.2.: Tritium-Aktivitätskonzentration im Niederschlag während der Jahre 1980 bis 2004 (Median- und Extremwerte)

Tabelle 4.2.2.: Mittel- und Extremwerte der Tritium-Aktivitätskonzentration für alle Sammelstellen (ermittelt aus den Monatswerten)

Tritium-Aktivitätskonzentration im Niederschlag [Bq/l]						
	2003			2004		
	Mittelwert	Minimum	Maximum	Mittelwert	Minimum	Maximum
<b>Bregenz</b>	1.6	1.1	2.2	1.6	1.0	2.2
<b>Eisenstadt</b>	1.3	0.7	2.2	1.3	0.7	2.2
<b>Graz</b>	1.2	0.8	1.9			
<b>Innsbruck</b>	1.3	0.8	2.0	1.4	0.7	2.1
<b>Klagenfurt</b>	1.3	0.7	2.2	1.3	0.7	2.2
<b>Linz</b>	1.4	0.7	2.4	1.3	0.7	2.3
<b>Retz</b>	1.5	1.0	2.2	1.1	0.8	1.5
<b>Salzburg</b>	1.3	0.6	1.7	1.2	0.7	2.1
<b>Wien</b>	1.3	0.9	1.8	1.3	0.8	2.5

In Abbildung 4.2.2. sind die aus den Monatswerten ermittelten Medianwerte und der jeweilige Wertebereich zwischen minimalem und maximalem Monatswert der Tritium-Aktivitätskonzentration unter Einbeziehung aller Sammelstellen für die Jahre 1980 bis 2004 dargestellt. In Tabelle 4.2.2. sind für alle Sammelstellen die Jahresmittelwerte sowie die minimalen und maximalen Monatswerte der Tritium-Aktivitätskonzentration für die Jahre 2003 und 2004 zusammengestellt. In Abbildung 4.2.3. ist exemplarisch der zeitliche Verlauf der Tritiumwerte an der Sammelstelle Bregenz seit 1980 dargestellt. Die sich durch Tritium im Niederschlag ergebende Strahlenexposition ist ohne Belang.

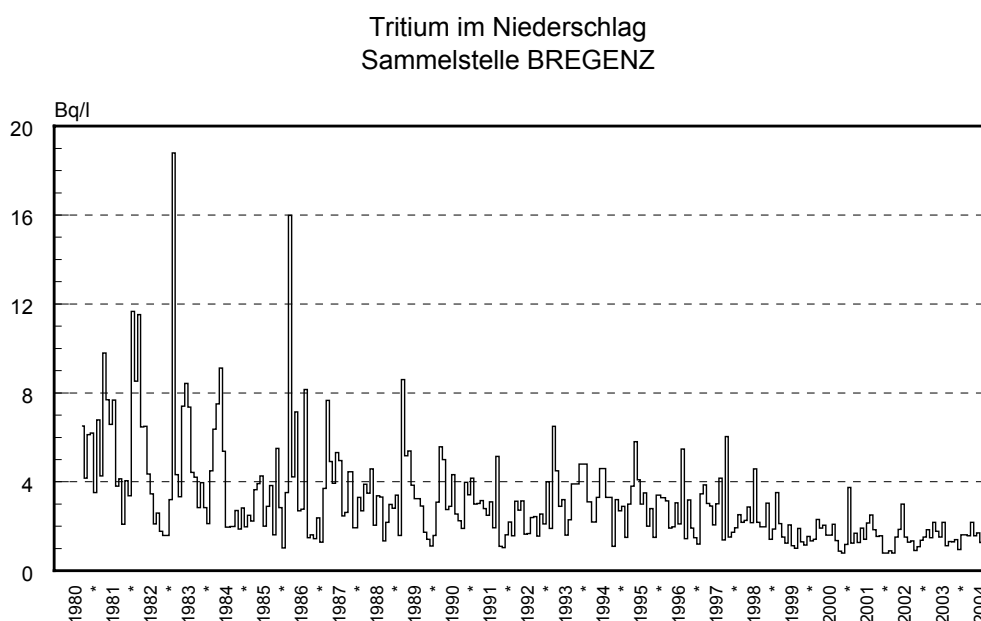


Abb. 4.2.3.: Verlauf der Tritium-Aktivitätskonzentration (Monatswerte) im Niederschlag während der Jahre 1980 bis 2004 für die Sammelstelle Bregenz

### Cäsium-137

Neben Tritium ist Cäsium-137 das einzige künstliche Radionuklid, das zurzeit regelmäßig im Niederschlag nachgewiesen wird. Zum Großteil stammt es aus dem Reaktorunfall von Tschernobyl im April 1986, ein weitaus kleinerer Teil ist noch auf die oberirdischen Kernwaffenversuche der Fünfziger- und Sechzigerjahre zurückzuführen.

In Abbildung 4.2.4. sind die Medianwerte und der jeweilige Wertebereich zwischen Minimal- und Maximalwert der monatlichen Cäsium-137-Flächendeposition unter Einbeziehung aller Sammelstellen ab 1987 dargestellt (logarithmische Skala!). In Tabelle 4.2.3. sind die entsprechenden Werte für alle Sammelstellen für die Jahre 2003 und 2004 zusammengestellt. Die Strahlenexposition durch Cäsium-137 im Niederschlag ist – selbst bei Verwendung von Niederschlagswasser zu Trinkzwecken – äußerst gering.

Cäsium-137 im Niederschlag  
Monatsdaten für Gesamtösterreich

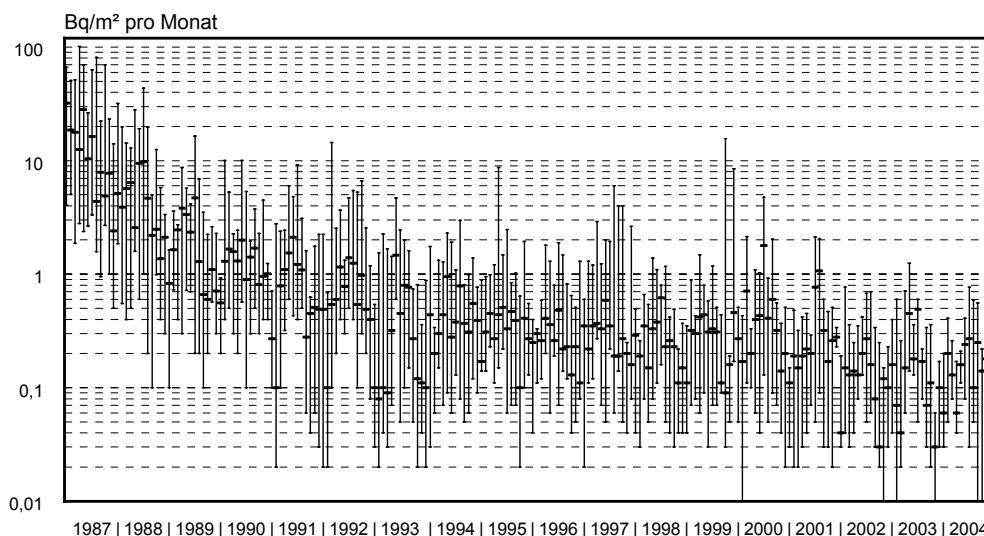


Abb. 4.2.4.: Monatliche Cäsium-137-Flächendeposition während der Jahre 1987 bis 2004 (Median- und Extremwerte; log. Skala)

Tabelle 4.2.3.: Median- und Extremwerte der monatlichen Cäsium-137-Flächendeposition für alle Sammelstellen

monatliche Cäsium-137-Flächendeposition [Bq/m <sup>2</sup> ]						
	2003			2004		
	Median	Minimum	Maximum	Median	Minimum	Maximum
<b>Bregenz</b>	— <sup>1)</sup>	n.n.	0.60	— <sup>1)</sup>	n.n.	0.32
<b>Eisenstadt</b>	— <sup>2)</sup>			— <sup>2)</sup>		
<b>Graz</b>	0.14	0.03	0.60	0.12	0.05	0.37
<b>Innsbruck</b>	— <sup>1)</sup>	n.n.	0.71	— <sup>1)</sup>	n.n.	0.77
<b>Klagenfurt</b>	— <sup>1)</sup>	n.n.	0.45	— <sup>1)</sup>	n.n.	0.25
<b>Linz</b>	0.18	0.02	0.48	0.26	0.05	0.59
<b>Retz</b>	— <sup>1)</sup>	n.n.	0.19	— <sup>2)</sup>		
<b>Salzburg</b>	— <sup>1)</sup>	n.n.	1.25	— <sup>1)</sup>	n.n.	0.24
<b>Wien</b>	0.04	0.01	0.28	0.04	0.01	0.11

<sup>1)</sup> keine Angabe möglich, da Cäsium-137 in mehr als der Hälfte der Proben dieses Jahres nicht mehr nachgewiesen wurde

<sup>2)</sup> Cäsium-137 wurde in keiner Probe nachgewiesen

n.n. ... nicht nachgewiesen

### 4.3. Oberflächenwasser

Von den Oberflächengewässern werden in erster Linie die größeren grenzüberschreitenden Gewässer überwacht. Seit dem Jahr 1993 sind im Probenahme- und Messprogramm weitgehend die beiden internationalen Verpflichtungen „Donauschutzübereinkommen“ (früher „Bukarester Deklaration“) und „Regensburger Vertrag“ berücksichtigt, die zwecks einer harmonisierten Überwachung der Wassergüte der Donau durch die Anrainerstaaen eingegangen

wurden. Daher ist das Probenahmestellennetz an der Donau besonders dicht. Mehrere Probenahmestellen befinden sich auch an den Flüssen Thaya und March, da in diese – über den Fluss Jihlava – Ableitungen des in der Tschechischen Republik gelegenen Kernkraftwerkes Dukovany gelangen.

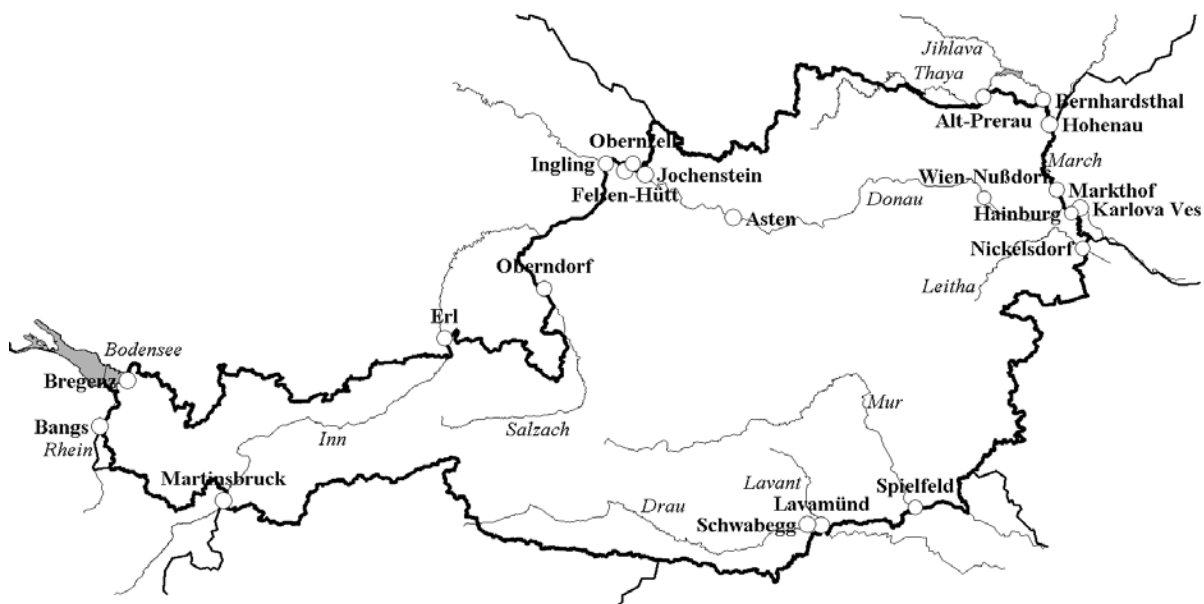
Aus den Gewässern werden im Allgemeinen monatlich Stichproben mit einem Volumen von 20 bis 50 Liter entnommen; bei einigen Gewässern erfolgen zusätzlich quasikontinuierliche Probenahmen (Volumen 15 bis 60 Liter) mit automatischen Sammelgeräten, wobei der Sammelzeitraum etwa ein Monat beträgt. Die Zuständigkeit für die Proben ist nach regionalen Gesichtspunkten geregelt (siehe Tabelle).

Sammelstellen für Oberflächenwasser						
Code	Gewässer	Entnahmeort	Bdd/ Staat	Art der Probenahme	Probenehmer	zuständige Stelle
B B	Bodensee	Bregenz	Vbg	S	Amt der Vbg.LR	LWLNZ
D As	Donau	Asten	OÖ	S	LWLNZ	LWLNZ
D Fh	Donau	Felsen-Hütt	OÖ	S	BAW	LWLNZ
D Ha	Donau	Hainburg	NÖ	S	BAW	LWVIE
D Jo	Donau	Jochenstein	OÖ	S+K	BAW	LWLNZ
D Kv	Donau	Karlova Ves	SK	S	BAW	LWVIE
D Nu	Donau	Wien-Nussdorf	W	S	BAW	LWVIE
D Oz	Donau	Obernzell	BRD	S	BAW	LWLNZ
DrSw	Drau	Schwabegg	Ktn	S+K	Amt der Ktn.LR	LWVIE
I Er	Inn	Erl	T	S	Amt der Tiroler LR	LWLNZ
I In	Inn	Ingling	OÖ	S	ARGE Gewässerschutz	LWLNZ
I Mb	Inn	Martinsbruck	T	S	Amt der Tiroler LR	LWLNZ
LaLa	Lavant	Lavamünd	Ktn	S	Amt der Ktn.LR	LWVIE
LeNi	Leitha	Nickelsdorf	Bgld	S	Amt der Bgld.LR LWVIE	LWVIE
M Ho	March	Hohenau	NÖ	S	BAW LWVIE	LWVIE
M Ma	March	Markthof	NÖ	S	BAW	LWVIE
MuSp	Mur	Spielfeld	Stmk	S+K	Amt der Stmk.LR	LWVIE
R Ba	Rhein	Bangs	Vbg	S	Amt der Vbg.LR	LWLNZ
S Od	Salzach	Oberndorf	Sbg	S	ARGE Gewässerschutz	LWLNZ
T Ap	Thaya	Alt-Prerau	NÖ	S	BAW LWVIE	LWVIE
T Be	Thaya	Bernhardsthal	NÖ	S	BAW LWVIE	LWVIE

S ... Stichprobe

K ... kontinuierliche Probenahme

## Sammelstellen für Oberflächenwasser (Übersicht)



Alle Wasserproben werden an der regional zuständigen Stelle gammaspektrometrisch untersucht, wobei sie vor der Messung zwecks Volumsreduktion eingedampft werden. An der LWVIE erfolgt an allen Proben eine Bestimmung der Tritium- und der Gesamt- $\alpha$ + $\beta$ -Konzentration mittels Flüssigszintillationsspektrometrie.

Mit den Gesamt- $\alpha$ + $\beta$ -Messungen können – im Gegensatz zur Gammaskpektrometrie – auch reine  $\beta$ -Strahler wie etwa Strontium-90 nachgewiesen werden. Damit bilden diese Messungen eine sinnvolle Ergänzung zu den gammaspektrometrischen Untersuchungen. In den Jahren 2003 und 2004 lag nur in wenigen Proben die Gesamt- $\alpha$ + $\beta$ -Aktivität oberhalb der Nachweisgrenze von etwa 0.5 Bq/l. Die höchsten gemessenen Werte lagen bei etwa 1 Bq/l. Den gammaspektrometrischen Untersuchungen zufolge sind die gefundenen Aktivitäten im Wesentlichen auf natürliche Radionuklide zurückzuführen.

## Natürliche Radionuklide

### Radionuklide der Zerfallsreihen

Radionuklide aus der Uran-Radium- bzw. Thorium-Reihe sind in Oberflächengewässern stets vorhanden. Mit Ausnahme von Radium-228, das über das Folgeprodukt Actinium-228 nachgewiesen wird, werden sie jedoch im Allgemeinen nicht quantifiziert. Die Konzentrationen an Radium-228 liegen typischerweise bei einigen mBq/l. Die in den Oberflächengewässern befindlichen Radionuklide aus den Zerfallsreihen tragen zur Strahlenexposition äußerst wenig bei.

Kalium-40

Das primordiale Radionuklid Kalium-40 ist ebenfalls stets in Oberflächengewässern vorhanden, wobei die Aktivitätskonzentrationen üblicherweise unter 100 mBq/l liegen. Höhere Werte treten in Gewässern auf, die durch landwirtschaftlich intensiv genutzte Gebiete fließen, oder von Flüssen aus solchen Gebieten gespeist werden (Ursache: Verwendung und Ausschwemmung von Mineraldünger). Bei Hochwässern können durch Sedimentaufwirbelung und erhöhten Eintrag von Bodenmaterial die Kalium-40-Werte vorübergehend ansteigen. In Tabelle 4.3.1. sind für alle Sammelstellen die Mittelwerte sowie die gemessenen Minimal- und Maximalwerte der Kalium-40-Aktivitätskonzentration für die Jahre 2003 und 2004 zusammengestellt.

*Tabelle 4.3.1.: Mittelwerte sowie minimale und maximale Werte der Kalium-40-Aktivitätskonzentration für alle Sammelstellen*

<b>Kalium-40-Aktivitätskonzentration in Oberflächenwasser [mBq/l]</b>						
	<b>2003</b>			<b>2004</b>		
	Mittelwert	Minimum	Maximum	Mittelwert	Minimum	Maximum
<b>Bodensee/Bregenz</b>	55	20	93	47	27	83
<b>Donau/Asten</b>	80	43	116	88	64	131
<b>Donau/Felsen-Hütt</b>	98	50	222	96	60	155
<b>Donau/Hainburg</b>	78	65	89	74	55	97
<b>Donau/Jochenstein</b>	83	46	172	97	67	142
<b>Donau/Karlova Ves</b>	100	82	120	105	66	134
<b>Donau/Wien-Nussdorf</b>	79	64	100	79	59	123
<b>Donau/Oberzell</b>	93	57	177	97	63	131
<b>Drau/Schwabegg</b>	55	20	133	43	21	58
<b>Inn/Erl</b>	170	49	417	96	39	203
<b>Inn/Ingling</b>	71	20	134	69	50	91
<b>Inn/Martinsbruck</b>	58	20	123	51	21	105
<b>Lavant/Lavamünd</b>	107	51	171	102	57	214
<b>Leitha/Nickelsdorf</b>	138	97	225	136	99	274
<b>March/Hohenau</b>	314	239	393	269	208	325
<b>March/Markthof</b>	282	189	401	248	144	335
<b>Mur/Spielfeld</b>	81	53	100	81	44	273
<b>Rhein/Bangs</b>	101	25	233	95	30	410
<b>Salzach/Oberndorf</b>	76	29	181	99	45	429
<b>Thaya/Alt-Prerau</b>	670	425	967	456	305	663
<b>Thaya/Bernhardsthal</b>	329	246	399	291	210	338

In Thaya und March werden seit einigen Jahren erhöhte Kaliumwerte registriert, die in erster Linie auf Emissionen der Lebensmittelindustrie (z.B. Zitronensäureerzeugung, Zuckerrübenverarbeitung) zurückzuführen sind. Die Abbildung 4.3.1. zeigt den zeitlichen Verlauf der Kalium-40-Aktivitätskonzentration in der Thaya bei Alt-Prerau sowie zum Vergleich in der Donau bei Hainburg bzw. Wolfsthal. Aus der Sicht des Strahlenschutzes sind die erhöhten Kaliumwerte ohne Bedeutung.

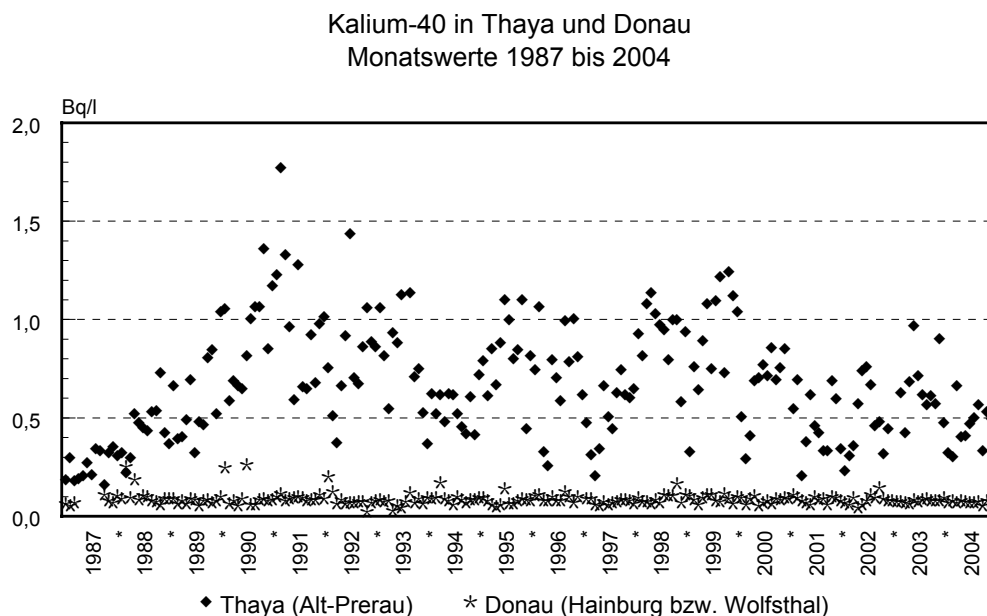


Abb. 4.3.1.: Verlauf der Kalium-40-Aktivitätskonzentration in der Thaya bei Alt-Prerau und in der Donau bei Hainburg bzw. Wolfsthal während der Jahre 1987 bis 2004

### Beryllium-7

Nach stärkeren Niederschlägen im Einzugsgebiet eines Flusses stromaufwärts einer Probenahmestelle ist jeweils auch Beryllium-7 nachweisbar, das durch die Niederschläge aus der Atmosphäre ausgewaschen wird und so in die Oberflächengewässer gelangt. Die Werte liegen dann typischerweise bei einigen zehn mBq/l.

### **Künstliche Radionuklide**

#### Tritium

Tritium nimmt in Form von tritiiertem Wasser (HTO) am Wasserkreislauf teil und ist somit stets im Oberflächenwasser vorhanden. Im Allgemeinen stammt es aus natürlichen Quellen und den oberirdischen Kernwaffenversuchen der Fünfziger- und Sechzigerjahre. Wie im Niederschlag ist üblicherweise auch in Oberflächengewässern seit dem Einstellen dieser Tests ein Rückgang der Tritiumkonzentrationen zu beobachten (/Schönhofer 85b/, /Rank 94/). Dieses allmähliche Absinken ist deutlich am Verlauf der Tritium-Aktivitätskonzentration für die Sammelstelle Thaya/Alt-Prerau in Abbildung 4.3.3. (Seite 50) zu erkennen.

In Abbildung 4.3.2. sind die Jahresmittelwerte sowie der jeweilige Wertebereich zwischen Minimal- und Maximalwert der Tritium-Aktivitätskonzentration für die einzelnen Sammelstellen für die Jahre 2003 und 2004 dargestellt – in Tabelle 4.3.2. sind diese Werte in tabellarischer Form angeführt.

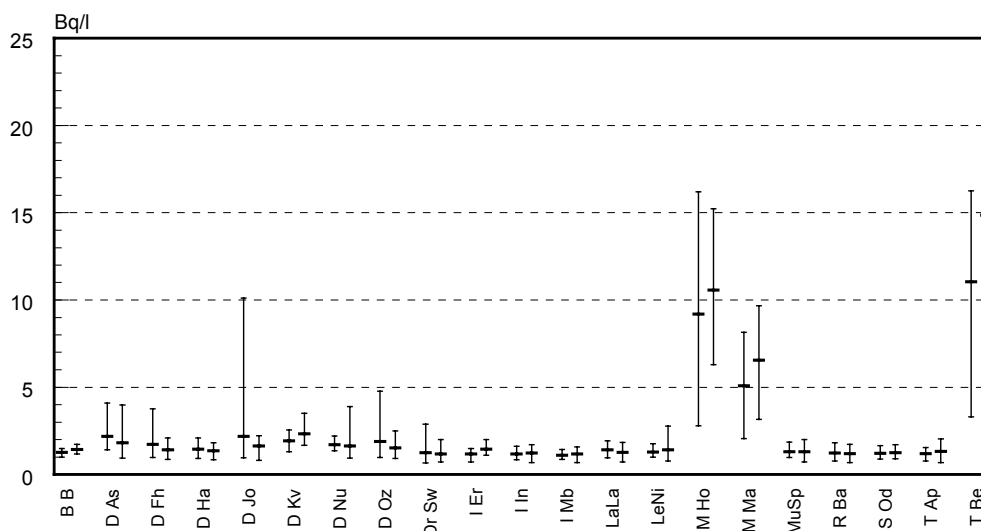
Tritium im Oberflächenwasser  
2003 und 2004

Abb. 4.3.2.: Mittelwerte sowie minimale und maximale Werte der Tritium-Aktivitätskonzentration in Oberflächenwasser für die Jahre 2003 und 2004;  
Codierung der Probenahmestellen siehe Tabelle auf Seite 45

Tabelle 4.3.2.: Mittelwerte sowie minimale und maximale Werte der Tritium-Aktivitätskonzentration für alle Sammelstellen

Tritium-Aktivitätskonzentration in Oberflächenwasser [Bq/l]						
	2003			2004		
	Mittelwert	Minimum	Maximum	Mittelwert	Minimum	Maximum
<b>Bodensee/Bregenz</b>	1.3	1.0	1.5	1.4	1.2	1.7
<b>Donau/Asten</b>	2.2	1.4	4.1	1.8	0.9	4.0
<b>Donau/Felsen-Hütt</b>	1.7	1.0	3.8	1.4	0.9	2.1
<b>Donau/Hainburg</b>	1.5	0.9	2.1	1.4	0.8	1.8
<b>Donau/Jochenstein</b>	2.2	1.0	10.1	1.6	0.8	2.2
<b>Donau/Karlova Ves</b>	1.9	1.3	2.6	2.3	1.7	3.5
<b>Donau/Nussdorf</b>	1.7	1.4	2.2	1.6	0.9	3.9
<b>Donau/Oberzell</b>	1.9	1.0	4.8	1.5	0.9	2.5
<b>Drau/Schwabegg</b>	1.3	0.7	2.9	1.2	0.7	2.0
<b>Inn/Erl</b>	1.2	0.7	1.5	1.5	1.1	2.0
<b>Inn/Ingling</b>	1.2	0.9	1.6	1.2	0.7	1.7
<b>Inn/Martinsbruck</b>	1.1	0.9	1.4	1.2	0.7	1.6
<b>Lavant/Lavamünd</b>	1.4	1.0	1.9	1.3	0.7	1.8
<b>Leitha/Nickelsdorf</b>	1.3	1.0	1.8	1.4	0.8	2.8
<b>March/Hohenau</b>	9.2	2.8	16.2	10.6	6.3	15.2
<b>March/Markthof</b>	5.1	2.1	8.1	6.6	3.2	9.7
<b>Mur/Spielfeld</b>	1.3	1.0	1.9	1.3	0.7	2.0
<b>Rhein/Bangs</b>	1.2	0.8	1.8	1.2	0.7	1.7
<b>Salzach/Oberndorf</b>	1.2	0.9	1.7	1.3	0.9	1.7
<b>Thaya/Alt-Prerau</b>	1.2	0.8	1.6	1.3	0.7	2.0
<b>Thaya/Bernhardsthal</b>	11.0	3.3	16.3	14.9	8.2	20.6

Seit etwa Mitte 1985 treten an der Probenahmestelle Thaya/Bernhardtsthal – und in weiterer Folge in der March – erhöhte Tritiumkonzentrationen auf (siehe Abb. 4.3.3.). An der flussaufwärts liegenden Probenahmestelle Thaya/Alt-Prerau hingegen werden keine Erhöhungen registriert (siehe Abb. 4.3.2. und 4.3.3.). Da die Thaya ab Alt-Prerau bis Bernhardtsthal auf tschechischem Gebiet fließt (siehe Abbildung „Sammelstellen für Oberflächenwasser“ auf Seite 46), kann auf einen Emittenten in der Tschechischen Republik geschlossen werden. Eine im Jahre 1989 ergänzend zum Routineprogramm durchgeführte Untersuchung bekräftigt die Annahme, dass das Kernkraftwerk Dukovany, das am Oberlauf der zwischen Alt-Prerau und Bernhardtsthal in die Thaya mündenden Jihlava liegt, der Verursacher dieser erhöhten Tritiumkonzentrationen ist /Henrich 89/.

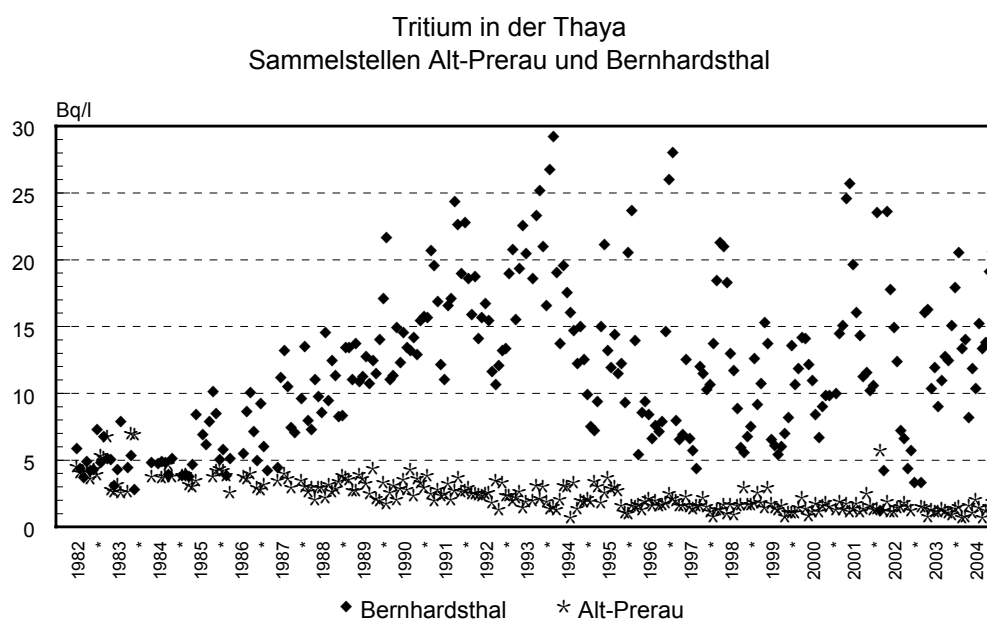


Abb. 4.3.3.: Verlauf der Tritium-Aktivitätskonzentration (Monatswerte) in der Thaya bei Alt-Prerau bzw. bei Bernhardtsthal während der Jahre 1982 bis 2004

Der Jahresmittelwert der Tritiumkonzentration betrug an der Sammelstelle Bernhardtsthal im Jahr 2003 etwa 11,0 Bq/l, im Jahr 2004 etwa 14,9 Bq/l. Im März 1994 wurde mit ca. 29 Bq/l der bislang höchste Wert seit Beginn des Untersuchungsprogrammes im Jahr 1982 registriert. Aus der Wasserführung der Thaya und den Tritiumwerten für Bernhardtsthal kann – unter Verwendung der für Alt-Prerau ermittelten Konzentrationen als Referenzwerte für natürliches und aus den Kernwaffenversuchen stammendes Tritium – die auf Emissionen in der Tschechischen Republik zurückzuführende Tritiumverfrachtung abgeschätzt werden. Für das Jahr 2003 liefert diese Abschätzung eine verfrachtete Tritiummenge von etwa 9,3 TBq, für das Jahr 2004 von etwa 12,6 TBq.

Im Vergleich zur höchstzulässigen Konzentration an Tritium im Trinkwasser, die gemäß Strahlenschutzverordnung (StrSchVO, BGBl. 47/1972) im Mittel umgerechnet 37 000 Bq/l beträgt, sind die in der Thaya auftretenden Konzentrationen jedoch noch immer sehr niedrig. Die bei Verwendung von Thayawasser z.B. zu Trinkzwecken oder zur Bewässerung durch Tritium entstehende Strahlenexposition ist vernachlässigbar.

Tritium (in Form von HTO) wird – im Gegensatz zu den meisten anderen Radionukliden – im Boden wenig gebunden und kann deshalb leichter ins Grundwasser wandern als andere Radionuklide. Daher ist zu erwarten, dass im Laufe der Zeit die die Flüsse March und Thaya begleitenden Grundwasserströme ebenfalls erhöhte Tritiumkonzentrationen aufweisen werden. Bei einer in den Jahren 1990 bis 1992 diesbezüglich durchgeführten Studie konnten jedoch keine signifikant höheren Werte im Grundwasser festgestellt werden /Henrich 93/.

### Cäsium-137

Cäsium-137 ist regelmäßig in Oberflächengewässern zu finden. Es stammt zum Großteil aus dem Reaktorunfall von Tschernobyl im April 1986, ein wesentlich kleinerer Teil ist noch auf die oberirdischen Kernwaffenversuche der Fünfziger- und Sechzigerjahre zurückzuführen.

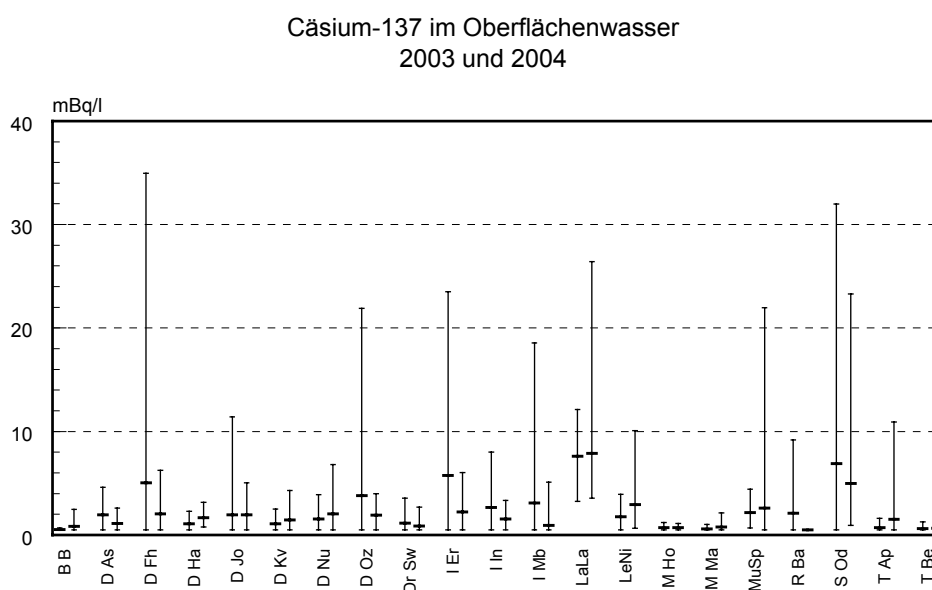


Abb. 4.3.4.: Jahresmittelwerte sowie minimale und maximale Werte der Cäsium-137-Aktivitätskonzentration in Oberflächenwasser für die Jahre 2003 und 2004; Codierung der Probenahmestellen siehe Tabelle auf Seite 45

In Abbildung 4.3.4. sind die Jahresmittelwerte und der jeweilige Wertebereich zwischen Minimal- und Maximalwert der Cäsium-137-Konzentration für die einzelnen Sammelstellen für die Jahre 2003 und 2004 dargestellt – in Tabelle 4.3.3. sind diese Werte in tabellarischer Form angeführt.

Tabelle 4.3.3.: Mittelwerte sowie minimale und maximale Werte der Cäsium-137-Aktivitätskonzentration für alle Sammelstellen

Cäsium-137-Aktivitätskonzentration in Oberflächenwasser [mBq/l]						
	2003			2004		
	Mittelwert	Minimum	Maximum	Mittelwert	Minimum	Maximum
Bodensee/Bregenz	- <sup>1)</sup>	n.n.	0.7	- <sup>1)</sup>	n.n.	2.5
Donau/Asten	1.9	n.n.	4.6	- <sup>1)</sup>	n.n.	2.6
Donau/Felsen-Hütt	5.1	n.n.	35.0	2.0	n.n.	6.2
Donau/Hainburg	1.1	n.n.	2.3	1.7	0.8	3.2
Donau/Jochenstein	1.9	n.n.	11.4	1.9	n.n.	5.0
Donau/Karlova Ves	1.1	n.n.	2.5	1.4	n.n.	4.3
Donau/Wien-Nussdorf	1.5	n.n.	3.9	2.0	n.n.	6.8
Donau/Oberzell	3.8	n.n.	21.9	1.9	n.n.	4.0
Drau/Schwabegg	1.2	n.n.	3.6	- <sup>1)</sup>	n.n.	2.7
Inn/Erl	5.8	n.n.	23.5	2.2	n.n.	6.0
Inn/Ingling	2.7	n.n.	8.0	1.5	n.n.	3.3
Inn/Martinsbruck	- <sup>1)</sup>	n.n.	18.6	- <sup>1)</sup>	n.n.	5.1
Lavant/Lavamünd	7.6	3.2	12.1	7.9	3.6	26.4
Leitha/Nickelsdorf	1.8	n.n.	3.9	3.0	0.7	10.1
March/Hohenau	0.7	n.n.	1.2	0.7	n.n.	1.1
March/Markthof	- <sup>1)</sup>	n.n.	1.0	- <sup>1)</sup>	n.n.	2.1
Mur/Spielfeld	2.1	0.7	4.4	2.6	0.5	22.0
Rhein/Bangs	- <sup>1)</sup>	n.n.	9.2	- <sup>2)</sup>		
Salzach/Oberndorf	6.9	n.n.	32.0	5.0	0.9	23.3
Thaya/Alt-Prerau	- <sup>1)</sup>	n.n.	1.6	- <sup>1)</sup>	n.n.	10.9
Thaya/Bernhardsthal	- <sup>1)</sup>	n.n.	1.3	- <sup>1)</sup>	n.n.	1.5

<sup>1)</sup> keine Angabe möglich, da Cäsium-137 in vielen Proben dieses Jahres nicht nachgewiesen wurde

<sup>2)</sup> Cäsium-137 in keiner Probe nachgewiesen

n.n. ... nicht nachgewiesen

Cäsium-137 in der Donau  
Sammelstelle Hainburg bzw. Wolfsthal

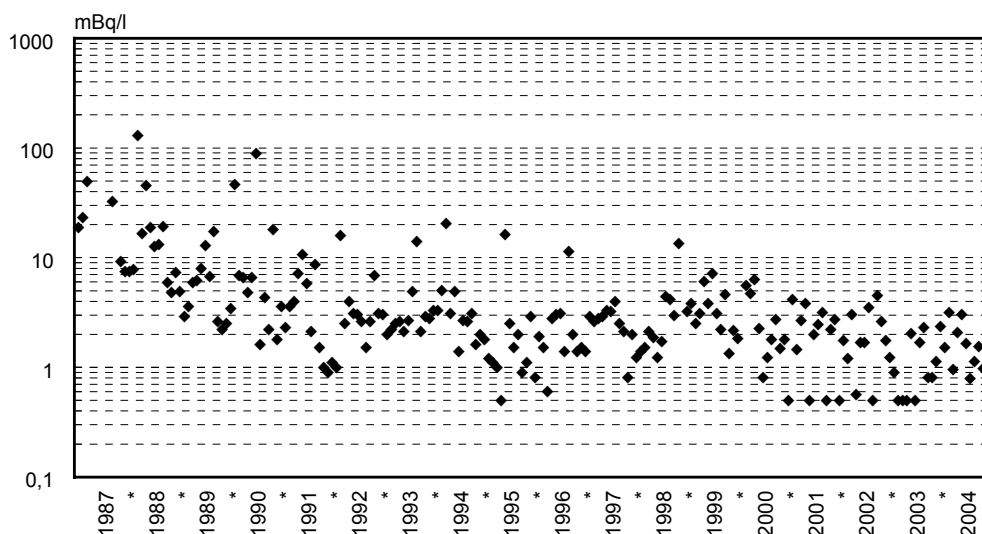


Abb. 4.3.5.: Verlauf der Cäsium-137-Aktivitätskonzentration in der Donau bei Hainburg bzw. Wolfsthal während der Jahre 1987 bis 2004 (log. Skala)

Die Abbildung 4.3.5. zeigt exemplarisch den Verlauf der Cäsium-137-Konzentration in der Donau unterhalb von Wien an der Sammelstelle Hainburg bzw. Wolfsthal während der Jahre 1987 bis 2004 (logarithmische Skala!).

Die im Berichtszeitraum für Cäsium-137 gemessenen Werte lagen bei einigen bis einige zehn mBq/l. Im Vergleich zu den Jahren vor dem Tschernobylunfall, in denen eine durch die Kernwaffentests bedingte Cäsium-137-Kontamination von etwa 0.5 bis 1 mBq/l gegeben war /Henrich 85/, sind die Werte also noch immer erhöht. Die Spitzenwerte treten bei Hochwässern auf, da dabei Sedimente, an denen Radiocäsium fixiert ist, stärker aufgewirbelt werden, und mehr Bodenmaterial, das ebenfalls Radiocäsium enthält, in die Oberflächenwässer eingetragen wird. Die durch Cäsium-137 im Oberflächenwasser bewirkte Strahlenexposition ist äußerst gering.

### Iod-131

Im Berichtszeitraum wurde – mit Ausnahme von Bodensee, Inn, Lavant, Salzach und Thaya – in allen kontrollierten Gewässern mehr oder weniger regelmäßig das Radionuklid Iod-131 festgestellt. Dieses Nuklid stammt aus nuklearmedizinischen Anwendungen und gelangt über die Abwässer direkt oder über Kläranlagenemissionen in die Oberflächengewässer. Andere in der Nuclearmedizin verwendete Radionuklide konnten aufgrund ihrer kurzen Halbwertszeiten bzw. wegen der geringen abgeleiteten Mengen in Oberflächengewässern nicht nachgewiesen werden.

*Tabelle 4.3.4.: Wertebereiche der Iod-131-Aktivitätskonzentrationen für verschiedene Sammelstellen*

<b>Iod-131-Aktivitätskonzentration in Oberflächenwasser [mBq/l]</b>		
	<b>2003</b>	<b>2004</b>
	Wertebereich	Wertebereich
<b>Donau/Hainburg</b>	1.3 – 6.7	2.3 – 3.8
<b>Donau/Karlova Ves</b>	1.3 – 1.7	1.9 <sup>1)</sup>
<b>Donau/Nussdorf</b>	1.0 – 1.8	– <sup>2)</sup>
<b>Drau/Schwabegg</b>	1.7 – 2.5	1.6 – 3.1
<b>Leitha/Nickelsdorf</b>	2.3 – 3.3	3.2 – 6.6
<b>March/Hohenau</b>	0.7 – 2.9	0.8 <sup>1)</sup>
<b>March/Markthof</b>	1.4 <sup>1)</sup>	– <sup>2)</sup>
<b>Mur/Spielfeld</b>	1.2 – 7.6	1.1 – 5.3
<b>Rhein/Bangs</b>	4.2 <sup>1)</sup>	– <sup>2)</sup>

<sup>1)</sup> Iod-131 in diesem Jahr nur in einer Probe nachgewiesen

<sup>2)</sup> Iod-131 in diesem Jahr in keiner Probe nachgewiesen

Die Iod-131-Konzentrationen bewegten sich im Berichtszeitraum im Bereich von unterhalb der Nachweisgrenze (im Allgemeinen einige mBq/l) bis zu etwa 8 mBq/l. In Tabelle 4.3.4. sind für die Jahre 2003 und 2004 die Bereiche angegeben, in denen die gemessenen Iod-131-

Werte lagen. Für die Probenahmestelle Mur/Spielfeld sind in Abbildung 4.3.6. die in den Jahren 1994 bis 2004 gemessenen Iod-131-Konzentrationen dargestellt.

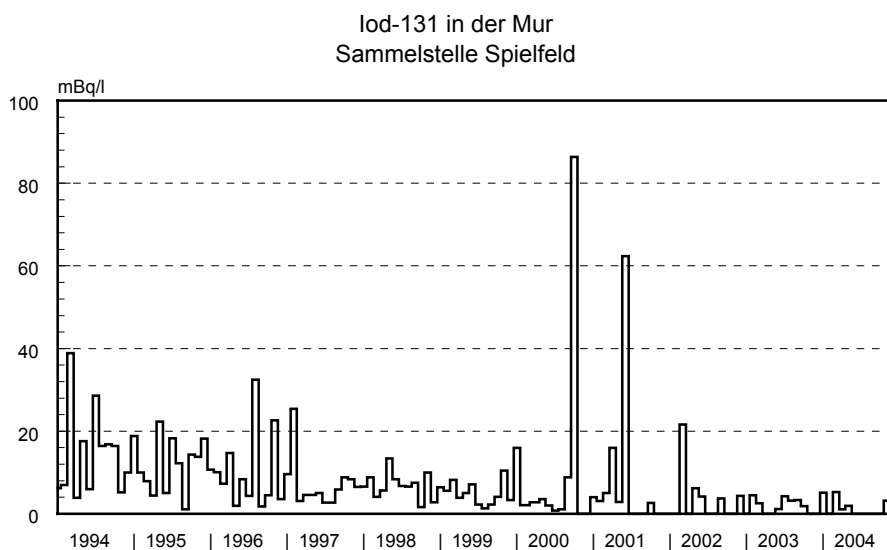


Abb. 4.3.6.: Verlauf der Iod-131-Konzentration (Monatswerte) in der Mur bei Spielfeld während der Jahre 1994 bis 2004

#### 4.4. Emissionen aus Kläranlagen

Im Rahmen des Überwachungsnetzes für Radioaktivität werden die Kläranlagen Linz-Asten, Graz-Gössendorf, Klagenfurt-Feuerbach und Wien-Simmering regelmäßig beprobt. Die Beprobung erfolgt monatlich, wobei in erster Linie Stichproben entnommen werden. Lediglich aus dem Zu- und Ablauf der Kläranlage Linz-Asten werden quasikontinuierlich Proben gesammelt, wobei der Sammelzeitraum ein Monat beträgt. Art und Anzahl der entnommenen Proben sind für die einzelnen Kläranlagen unterschiedlich. Ebenfalls unterschiedlich ist die Aufarbeitung der Proben an den verschiedenen Messstellen. Die Proben werden von der jeweils zuständigen Messstelle gamma-spektrometrisch untersucht. An den Abwasserproben erfolgt an der LWVIE zusätzlich eine Tritiumbestimmung mittels Flüssigszintillations-spektrometrie.

Ort	Kläranlage	Probenart	Probenehmer	Messstelle
Graz	Gössendorf	Abwasser, Frischschlamm	Amt der Stmk.LR	LWVIE
Klagenfurt	Feuerbach	Abwasser, Frischschlamm	Amt der Ktn.LR	LWVIE
Linz	Asten	Abwasser (Zu- und Ablauf) Frischschlamm, Faulschlamm	LWLNZ	LWLNZ
Wien	Simmering	Abwasser, Faulschlamm	LWVIE	LWVIE

## Natürliche Radionuklide

### Radionuklide der Zerfallsreihen

Aus der Uran-Radium- bzw. Thorium-Reihe stammende Radionuklide wurden im Klärschlamm zwar qualitativ erfasst, jedoch mit Ausnahme von Radium-228 (über das Folgeprodukt Actinium-228) nicht quantifiziert. Die Radium-228-Konzentrationen liegen in der Regel bei einigen zehn Bq/kg Trockensubstanz.

### Beryllium-7

Beryllium-7 wird mit den Niederschlägen in die Kläranlagen eingebracht und wird primär im Klärschlamm – nach starken Niederschlägen auch im Abwasser – nachgewiesen.

### Kalium-40

Kalium-40 wird vor allem durch organisches Material aus Haushalten, teilweise auch aus Gewerbe und Industrie in die Kläranlagen eingebracht. Im Abwasser treten typischerweise Werte im Bereich von 0.5 bis 1.0 Bq/l auf, im Klärschlamm Werte von einigen hundert Bq/kg Trockensubstanz.

## Künstliche Radionuklide

### Cäsium-137

Das in Kläranlagenemissionen regelmäßig auftretende Cäsium-137 stammt zum Großteil aus dem Reaktorunfall von Tschernobyl im April 1986. Ein wesentlich kleinerer Teil stammt noch aus den oberirdischen Kernwaffenversuchen der Fünfziger- und Sechzigerjahre.

Der Eintrag von Cäsium-137 in Kläranlagen ist vorwiegend auf mit dem Niederschlag eingeschwemmte kontaminierte Bodenpartikel zurückzuführen. Für den Radiocäsiumgehalt der Abwässer und der Klärschlämme sind daher in erster Linie die Bodenkontamination im Einzugsgebiet einer Kläranlage, die Größe des Einzugsgebietes und die Art des Kanalnetzes (zB getrennte oder gemeinsame Kanäle für Regenwasser und Schmutzwasser) ausschlaggebend. So lag im Berichtszeitraum in der Kläranlage Linz-Asten die mittlere Cäsium-137-Konzentration im Abwasser bei etwa 30 mBq/l, in den Klärschlämmen bei etwa 80 Bq/kg Trockensubstanz. In den Kläranlagen Graz-Gössendorf und Klagenfurt-Feuerbach traten im Abwasser Werte von einigen mBq/l, in den Klärschlämmen von einigen Bq/kg Frischsubstanz auf. Im Abwasser der Kläranlage Wien-Simmering lag die Cäsium-137-Konzentration im Mittel bei etwa 1 mBq/l, die Werte für den Klärschlamm lagen unter 1 Bq/kg Frischsubstanz.

### Tritium

Tritium gelangt in erster Linie über die Niederschläge, über lokal eingebundene Oberflächengewässer und über das Trinkwasser in die Abwässer von Kläranlagen. Dem zufolge ist die

Tritiumkonzentration im Abwasser ähnlich hoch wie in diesen Medien. Die gemessenen Werte sind in Tabelle 4.4.1. zusammengestellt.

Tabelle 4.4.1.: Tritium-Aktivitätskonzentration im Abwasser von Kläranlagen

Tritium-Aktivitätskonzentration im Abwasser von Kläranlagen [Bq/l]								
	Graz Gössendorf		Klagenfurt Feuerbach		Linz Asten		Wien Simmering	
	2003	2004	2003	2004	2003	2004	2003	2004
<b>Jänner</b>	1.9	1.4	*)	1.5	*)	1.6	2.4	1.6
<b>Februar</b>	*)	1.5	*)	1.4	*)	0.9	*)	1.3
<b>März</b>	1.4	1.4	1.6	1.6	1.9	1.2	1.4	2.1
<b>April</b>	1.2	0.9	1.5	1.2	2.0	1.1	1.4	1.9
<b>Mai</b>	1.8	1.6	1.1	1.6	1.7	2.0	1.2	1.1
<b>Juni</b>	1.2	1.4	1.4	2.0	1.9	1.6	1.5	0.7
<b>Juli</b>	1.6	2.0	1.3	2.8	1.9	*)	1.4	2.5
<b>August</b>	1.7	1.5	1.1	0.8	1.5	1.5	1.6	1.4
<b>September</b>	1.3	1.2	1.8	1.2	1.3	1.3	1.3	1.8
<b>Oktober</b>	1.2	2.2	1.4	0.8	1.1	1.4	1.5	1.5
<b>November</b>	1.5	1.4	1.0	1.4	1.5	0.9	1.5	1.4
<b>Dezember</b>	1.1	2.2	1.0	1.3	1.6	1.2	1.3	1.3

\*) keine Probenahme bzw. keine Untersuchung auf Tritium

#### Radionuklide aus der medizinischen Anwendung

Im Abwasser bzw. im Klärschlamm der beprobten Kläranlagen wurden im Berichtszeitraum folgende aus nuklearmedizinischen Anwendungen stammende Radionuklide festgestellt:

Gallium-67, Indium-111, Iod-123, Iod-131, Technetium-99m, Thallium-201, Thallium-202 und Samarium-153.

Von diesen Nukliden wird Samarium-153 in der Therapie, Iod-131 in Diagnostik und Therapie, alle anderen Nuklide ausschließlich in der Diagnostik verwendet. Eine Auflistung der häufigsten Anwendungsgebiete ist in Kapitel 1.2.3. gegeben. Nuklearmedizinische Diagnoseverfahren und niedrigdosierte Radioiodtherapien werden in der Regel ambulant durchgeführt, mittel- bis hochdosierte Radioiodtherapien sowie Therapien mit anderen Radionukliden erfolgen überwiegend stationär.

Der Großteil der in Kläranlagenemissionen auftretenden Aktivitäten stammt aus den ambulanten Anwendungen, da die kontaminierten Ausscheidungen der ambulant untersuchten bzw. behandelten Personen direkt in die kommunalen Abwässer und in weiterer Folge in die Kläranlagen gelangen.

Technetium-99m ist aufgrund seiner optimalen Eigenschaften in Bezug auf Strahlenschutz (kurze Halbwertszeit von 6.02 Stunden, reiner Gammastrahler) und Bildaufnahme (Gamma-

energie im Bereich der maximalen Empfindlichkeit von Gammakameras) das am häufigsten in der Nuklearmedizin verwendete Radionuklid. An verschiedene Trägersubstanzen gebunden, wird Technetium-99m zur Untersuchung von Organen, in der Entzündungs- und Tumordiagnostik sowie zum Nachweis von inneren Blutungen eingesetzt.

Iod-131 wird bei Schilddrüsenerkrankungen zur Therapie verabreicht. In der Diagnostik geht die Bedeutung von Iod-131 aufgrund seiner hinsichtlich des Strahlenschutzes ungünstigen Eigenschaften (Betastrahler, relativ lange Halbwertszeit von 8.04 Tagen) zurück. Meist findet es nur noch zum Auffinden eventueller Metastasen oder Rezidivtumore von Iod speichernden Schilddrüsenkarzinomen und bei Nebennierenuntersuchungen Verwendung.

Iod-123 (Halbwertszeit 13.3 Stunden) wird zur Schilddrüsenszintigrafie, zur Untersuchung von Gehirn und Nebenniere sowie in der Entzündungs- und Tumordiagnostik verwendet. Ebenfalls im Bereich der Entzündungs- und Tumordiagnostik finden Gallium-67 und Indium-111 Anwendung (Halbwertszeit 3.26 Tage bzw. 2.83 Tage). Indium-111 gelangt zusätzlich auch in der Liquorszintigrafie zum Einsatz. Samarium-153 (Halbwertszeit 1.95 Tage) wird in der Schmerztherapie eingesetzt.

Thallium-201 (Halbwertszeit 3.06 Tage) wird in der Nuklearmedizin für Herzuntersuchungen verwendet. In den Kläranlagen wird regelmäßig – neben Thallium-201 – auch Thallium-202 gefunden, das als unerwünschte und vielen Anwendern nicht bewusste Verunreinigung von Thallium-201 auftritt. Wegen der längeren Halbwertszeit (12.2 Tage gegenüber 3.06 Tage) kann bei einer Applikation von „älteren“ Probenchargen der Thallium-202-Anteil eine durchaus nicht mehr vernachlässigbare Komponente darstellen.

*Tabelle 4.4.2.: Wertebereich für im Abwasser der jeweiligen Kläranlage nachgewiesene Radionuklide aus der Nuklearmedizin*

<b>Radionuklide aus der Nuklearmedizin im Abwasser von Kläranlagen (Werte in mBq/l)</b>				
	<b>Graz Gössendorf</b>	<b>Klagenfurt Feuerbach</b>	<b>Linz Asten</b>	<b>Wien Simmering</b>
<b>Iod-131</b>	20 – 1522	80 – 1780	11 – 449	69 – 586
<b>Technetium-99m</b>	n.n. – 3018	*)	n.n. – 1300	n.n. – 1670
<b>Indium-111</b>	n.n. – 1990	n.n. – 23	n.n. – 128	n.n. – 166
<b>Thallium-201</b>	n.n. – 85	*)	n.n. – 68	n.n. – 26
<b>Iod-123</b>	n.n. – 94	*)	*)	n.n. – 169
<b>Samarium-153</b>	n.n. – 57	*)	*)	n.n. – 288

\*) Nuklid in keiner Probe nachgewiesen  
n.n. ... nicht nachgewiesen

Tabelle 4.4.3.: Wertebereich für im Klärschlamm der jeweiligen Kläranlage nachgewiesene Radionuklide aus der Nuklearmedizin

<b>Radionuklide aus der Nuklearmedizin im Klärschlamm von Kläranlagen (Werte in Bq/kgTS)</b>				
	<b>Graz Gössendorf Bq/kgTS</b>	<b>Klagenfurt Feuerbach Bq/kgFS</b>	<b>Linz Asten Bq/kgTS</b>	<b>Wien Simmering Bq/kgFS</b>
<b>Iod-131</b>	2.2 – 23.3	4.0 – 50.9	1.6 – 72.0	0.5 – 5.9
<b>Technetium-99m</b>	n.n. – 8.1	*)	4.7 – 5311	0.7 – 54.5
<b>Indium-111</b>	n.n. – 1.0	n.n. – 0.2	n.n. – 86.4	0.1 – 2.3
<b>Thallium-201</b>	2.0 – 11.4	*)	4.9 – 878	7.6 – 28.4
<b>Thallium-202</b>	0.1 – 0.3	*)	n.n. – 11.0	0.1 – 0.3
<b>Iod-123</b>	*)	*)	n.n. – 41.0	n.n. – 0.7
<b>Samarium-153</b>	n.n. – 10.7	*)	n.n. – 29.0	n.n. – 14.4
<b>Gallium-67</b>	*)	*)	n.n. – 455	n.n. – 2.7

\*) Nuklid in keiner Probe nachgewiesen  
n.n. ... nicht nachgewiesen

In Tabelle 4.4.2. und 4.4.3 sind für die im Abwasser bzw. Klärschlamm der jeweiligen Kläranlage nachgewiesenen Radionuklide aus der Nuklearmedizin die Medianwerte sowie die gemessenen Minimal- und Maximalwerte für den Berichtszeitraum zusammengestellt.

Die Konzentration an aus medizinischen Anwendungen stammenden Radionukliden im Abwasser der beprobten Kläranlagen lag weit unter den für Trinkwasser gemäß der österreichischen Strahlenschutzverordnung im Jahresmittel zulässigen Werten. So erreichte zB der im Berichtszeitraum registrierte Maximalwert für Iod-131 mit rund 1.8 Bq/l etwa 7 % der für Trinkwasser im Mittel höchstzulässigen Konzentration von umgerechnet 24.7 Bq/l. Die im Abwasser und Klärschlamm registrierten Werte waren ähnlich hoch wie in den Jahren davor, was auf einen etwa gleichbleibenden Anwendungsumfang hinweist.

Da Kläranlagen-Abwässer in Österreich weder als Trinkwasser noch zur Bewässerung verwendet werden, ist keine direkte Ingestionsdosis aus diesem Pfad gegeben. Wegen der im Allgemeinen großen Verdünnung bei der Einleitung in den Vorfluter und den kurzen Halbwertszeiten der meisten aus der Nuklearmedizin stammenden Nuklide gilt dies auch für den indirekten Pfad über allfällige Bewässerungen mit Oberflächenwasser. Auch die externe Bestrahlung beim Aufenthalt in den Kläranlagen (Exposition des Kläranlagenpersonals) oder durch die Handhabung des Materials im Betrieb war im Berichtszeitraum ohne Belang. Eine allfällige Inhalationsdosis, die sich infolge des Rauchgasausstoßes bei der Verbrennung kontaminierter Klärschlämme ergeben könnte, wird bei modernen Anlagen durch entsprechende Rückhaltungsmethoden vermieden.

## 4.5. Sonstige Umweltmedien

### 4.5.1. Böden

Durch den Reaktorunfall von Tschernobyl am 26. April 1986 kam es zur weiträumigen Verfrachtung von verschiedenen Radionukliden mit der Luftströmung. Die in der Luft befindlichen Radionuklide wurden im Wesentlichen durch die Niederschläge auf den Erdboden ausgewaschen, weshalb in erster Linie die jeweilige Niederschlagssituation während des Durchzugs der radioaktiv kontaminierten Luftmassen für das Ausmaß der regionalen Bodenkontamination ausschlaggebend war. Von den damals deponierten Radionukliden ist heute nur noch Cäsium-137 von gewisser Bedeutung.

Aufgrund der nach dem Reaktorunfall herrschenden meteorologischen Bedingungen zählt Österreich zu den vom Tschernobyl-Fallout am stärksten betroffenen Gebieten. Das damalige Bundesministerium für Gesundheit und Konsumentenschutz hat gemeinsam mit dem Umweltbundesamt in den Jahren 1994 und 1995 ein Projekt zur Erstellung einer „Cäsium-Karte“ Österreichs durchgeführt. Dabei wurden alle bis dahin verfügbaren Daten über den Radio-cäsiumgehalt der Böden Österreichs zusammengefasst und grafisch dargestellt /UBA 96/. Als mittlere Flächendeposition wurde für Cäsium-137 ein Wert von  $21 \text{ kBq/m}^2$  ermittelt – die Spitzenwerte liegen bei über  $150 \text{ kBq/m}^2$ . Die Daten sind in den von der Europäischen Kommission in Zusammenarbeit mit Russland, Weißrussland und der Ukraine erstellten Europäischen Tschernobyl-Atlas /CEC 98/ eingeflossen.

Für einige Gebiete Österreichs ist eine höhere Messwertdichte wünschenswert, um eine genauere „Cäsium-Karte“ zu erhalten. Daher wurden auch im Berichtszeitraum von verschiedenen Institutionen ergänzende Bodenmessungen durchgeführt, deren Ergebnisse der Aktualisierung der „Cäsium-Karte“ dienen. Solche Messungen sind auch für die nächsten Jahre geplant.

### 4.5.2. Grundwasser

Seit dem Jahr 1993 wird seitens des Bundesministeriums für Land- und Forstwirtschaft eine österreichweite Grundwassergüteehebung durchgeführt, bei der vierteljährlich Wasser von etwa 2000 auf das gesamte Bundesgebiet verteilten Probenahmestellen auf eine Vielzahl von Parametern untersucht wird. Im Zuge der Probenahmen für dieses Projekt wurden auch Proben für Radioaktivitätsmessungen entnommen, die an der damaligen BALUF Wien und an der damaligen BALU Innsbruck mittels Flüssigszintillationsspektroskopie auf Radon analysiert wurden. Ziel dieser Untersuchungen war primär, einen Überblick über die Radon-222-Konzentration in den österreichischen Grundwässern zu erhalten und damit – in Verbindung mit anderen Informationen – Regionen mit potenziellem Radonrisiko erfassen zu können. Die Ergebnisse dieses Projektes sind in /Ditto 99/ zu finden. In den Jahren 1999 bis 2004 wurde dieses Projekt weitergeführt und die Untersuchungen auf Radium-226 ausgedehnt.

## 4.6. Lebensmittel

Der Gehalt an Radionukliden künstlichen Ursprungs in Lebensmitteln und landwirtschaftlichen Produkten wird derzeit im Wesentlichen durch die Folgen des Reaktorunfalls von Tschernobyl bestimmt, wobei lediglich noch Cäsium-137 eine gewisse Bedeutung zukommt. Ein sehr geringer Teil der Lebensmittelkontamination stammt noch aus den oberirdischen Kernwaffenversuchen der Fünfziger- und Sechzigerjahre. Wie in allen Umweltmedien ist auch in den Lebensmitteln und den landwirtschaftlichen Produkten der Gehalt an natürlichen Radionukliden im Allgemeinen wesentlich höher als jener an künstlichen.

Die meisten Lebensmittel und landwirtschaftlichen Erzeugnisse enthalten in der Regel nur noch geringe Mengen an Cäsium-137. Eine Ausnahme davon bilden jedoch einige Waldprodukte wie bestimmte Pilze und Wild, in denen nach wie vor vergleichsweise hohe Cäsium-137-Aktivitäten auftreten. Ebenfalls höhere Werte können Erzeugnisse aus Almgebieten aufweisen. Die wesentlichen Ursachen für diese zum Teil erheblichen Unterschiede in der Kontamination sind folgende: Radiocäsium wird an Tonminerale gebunden und steht somit in den meist tonmineralreichen intensiv landwirtschaftlich genutzten Böden für eine Aufnahme durch Pflanzen kaum zur Verfügung. Naturnahe Waldökosysteme hingegen zeichnen sich durch meist mächtige organische Auflageschichten aus, die reich an Bodenorganismen und Nährstoffen sind. Da in diesen Schichten Tonminerale fehlen, kommt es zu keiner so effektiven Fixierung von Radiocäsium, und es bleibt für die Aufnahme durch Bodenorganismen, Pilze und Pflanzen verfügbar. Wenn die Blätter und Nadeln fallen bzw. die Pilze zersetzt werden, wird das Cäsium wieder dem Boden zugeführt. So bleibt Radiocäsium in den Nährstoffkreislauf eingebunden und kann – da dieser Kreislauf sehr wirkungsvoll arbeitet – kaum in die tiefergelegenen mineralischen Schichten abwandern, wo es fixiert werden könnte. Deshalb ist der Radiocäsiumgehalt bei Beeren und Pilzen weiterhin relativ hoch. Da Wild seine Nahrung zumindest teilweise aus dem Wald bezieht, treten auch in Wildfleisch vergleichsweise hohe Kontaminationen auf. Auch in Almgebieten kann aufgrund der Bodenbeschaffenheit die biologische Verfügbarkeit von Radiocäsium lange erhalten bleiben, weshalb der Cäsiumgehalt des Almbewuchses und damit auch der von Almmilch nur langsam abnimmt.

Das nach dem Tschernobylunfall eingeführte Programm zur routinemäßigen Überwachung von Lebensmitteln und landwirtschaftlichen Produkten, das zurzeit in erster Linie der Trenderkennung und Beweissicherung dient und an den Konsumgewohnheiten der österreichischen Bevölkerung sowie an der Kontaminationssituation orientiert ist, wurde im Berichtszeitraum in den wesentlichen Bereichen fortgesetzt.

#### 4.6.1. Milch und Milchprodukte

Von allen Lebensmitteln wird die Milch am umfangreichsten überwacht, da sie im Hinblick auf Verbrauch, flächendeckende Erzeugung, bestehende Probenahmeeinrichtungen und auch wegen der Indikatorfunktion für die Kontamination anderer Lebensmittel ein ideales Probenmedium darstellt. Die Proben werden jeweils von den Lebensmittelaufsichtsorganen der Länder gezogen, wobei nach einem festgelegten Probenahmeschema vorgegangen wird. (Seit Anfang 2003 werden von der Kärntner Lebensmittelaufsicht keine Milchproben mehr zur Bestimmung der Radioaktivität übermittelt.)

Kontrolliert wird in erster Linie die in den Molkereien einlangende Rohmilch, wobei in der Regel Milch aus einer bestimmten regionalen Sammeltour der jeweiligen Molkerei untersucht wird (siehe Tab. 4.6.1.1. auf Seite 62). Die meisten Sammeltouren werden alle zwei Monate beprobt, einige Touren jedes Monat.

Neben diesen routinemäßigen Kontrollen von Rohmilch erfolgt noch eine regelmäßige Untersuchung der Auslieferungsmilch der Molkerei Maishofen auf Radiocäsium sowie von Kinderfrischmilch aus der Molkerei Baden auf Strontium-90. Weiters wird eine stichprobenartige Kontrolle von Milch und Milchprodukten aus Molkereien und Verkaufsstellen durchgeführt.

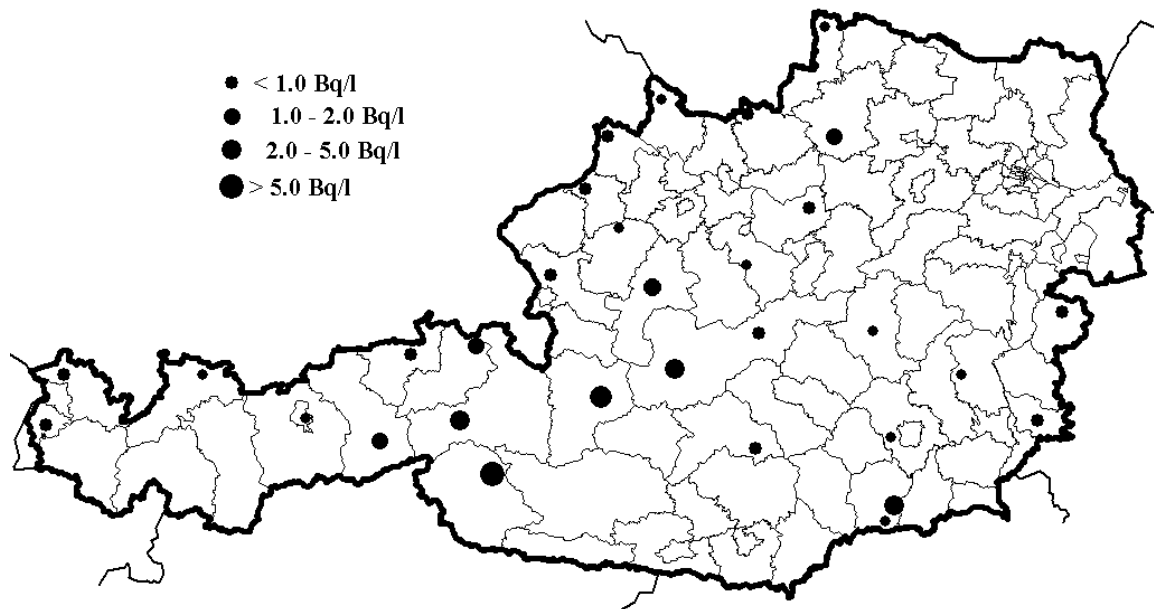


Abb. 4.6.1.1.: Regionale Verteilung der Cäsium-137-Kontamination von Rohmilch in Österreich für den Zeitraum 2003 und 2004

Die Abbildung 4.6.1.1. zeigt die aus den Daten der Rohmilchüberwachung für den Zeitraum 2003 und 2004 ermittelte regionale Verteilung der Cäsium-137-Kontamination von Milch in Österreich. Das Kontaminationsmuster entspricht erwartungsgemäß im Wesentlichen der

Radiocäsiumdeposition nach dem Reaktorunfall von Tschernobyl. Mittelwerte über 2 Bq/l werden nur noch in Rohmilch aus der Tauernregion und dem Koralmengebiet gefunden.

In Tabelle 4.6.1.1. sind die Mittelwerte der Cäsium-137-Konzentration für die Rohmilch aus den routinemäßig beprobten Milchsammeltouren für den Zeitraum 2003 und 2004 zusammengestellt. Die mit „S“ gekennzeichneten Sonderbeprobungsgebiete wurden aufgrund ihrer gegenüber den übrigen Sammeltouren im Einzugsgebiet der entsprechenden Molkerei höheren Cäsium-137-Werte zu Kontrollzwecken in die planmäßige Überwachung aufgenommen.

*Tabelle 4.6.1.1.: Routinemäßig beprobte Milchsammeltouren sowie Mittelwerte der Cäsium-137-Konzentration in der jeweiligen Rohmilch für den Zeitraum 2003 und 2004*

Bundesland	Einzugsgebiet der Milchsammeltour	Polit. Bezirk	Cäsium-137 [Bq/l]
BURGENLAND	Oberwart	Oberwart	0.1
	Lutzmannsburg-Deutschkreutz	Oberpullendorf	0.1
KÄRNTEN	von der Kärntner Landesregierung werden keine Proben mehr übermittelt		
NIEDERÖSTERREICH	Ulmerfeld	Amstetten	0.1
	Litschau-Haugschlag	Gmünd	0.7
	Traunstein	Zwettl	1.5
OBERÖSTERREICH	Leopoldschlag	Freistadt	0.8
	Ebensee	Gmunden	1.2
	Geinberg	Ried/Innkreis	0.2
	Ulrichsberg-Aigen	Rohrbach	0.3
	Scharfenberg-Münzkirchen	Schärding	0.1
	Reichraming-Arzberg	Steyr-Land	0.2
	Ampflwang	Vöcklabruck	0.8
	SALZBURG	Elixhausen-Seekirchen	Salzburg-Umgebung
Flachau-Wagrain		St. Johann/Pongau	2.8
Mittersill		S Zell am See	3.0
STEIERMARK	Aflenz-Turnau	Bruck/Mur	0.2
	Eibiswald	Deutschlandsberg	0.7
	Sulmtal-Gams	S Deutschlandsberg	2.3
	Rohrbach-Steinberg	Graz-Umgebung	0.1
	Obersaifen	Hartberg	0.1
	Admont-Ardning	Liezen	0.3
	Pruggern-Kleinsölk	Liezen	2.9
	Dürnstein i/d Steiermark	Murau	0.4
TIROL	Waidring	Kitzbühel	1.1
	Schwoich	Kufstein	0.5
	Kals	Lienz	6.4
	Reutte	Reutte	0.2
	Brandberg	Schwarz	1.2
	Innsbruck	Innsbruck-Land	0.4
VORARLBERG	Möggers	Bregenz	0.2
	Feldkirch-Gisingen	Feldkirch	0.1

S...Sonderbeprobungsgebiet

Für die regelmäßig untersuchte Auslieferungsmilch der Molkerei Maishofen wurde für den Berichtszeitraum ein Mittelwert von 2.0 Bq/l ermittelt. Die stichprobenartige Kontrolle von Milch- und Milchprodukten erbrachte im Berichtszeitraum keine auffälligen Werte.

In Abbildung 4.6.1.2. ist der Verlauf der Cäsium-137-Kontamination der Rohmilch aus der Sammeltour Flachau-Wagrein während der Jahre 1988 bis 2004 dargestellt. Daraus ist ersichtlich, dass in diesem Zeitraum die Cäsium-137-Werte auf etwa ein Zehntel der Ausgangswerte zurückgegangen sind. Die in den Sommermonaten auftretenden Spitzen sind auf Zumischungen von stärker kontaminierter Almmilch zurückzuführen.

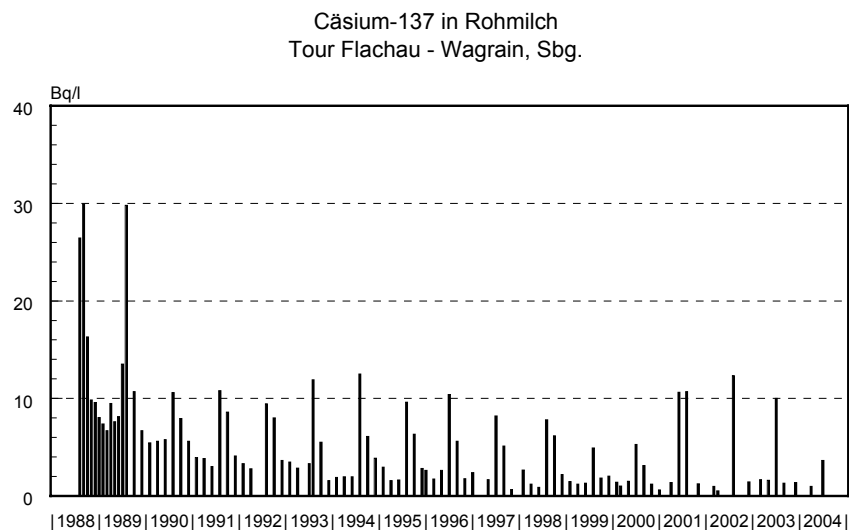


Abb. 4.6.1.2.: Verlauf der Cäsium-137-Aktivitätskonzentration in Rohmilch aus der Sammeltour Flachau-Wagrain

Für die Cäsium-137-Konzentration in der Milch ergibt sich aus den durchgeführten Untersuchungen – und nach Gewichtung mit der Produktionsstatistik (/STATIS 93/, /STATIS 95/) – für den Zeitraum 2003 und 2004 ein gesamtösterreichischer Durchschnittswert von etwas unter 1 Bq/l. Dieser Wert wurde als Grundlage für die Abschätzung der durch Radiocäsium in Milch und Milchprodukten verursachten Dosis herangezogen.

Neben Cäsium-137 ist in der Milch auch das künstliche Radionuklid Strontium-90 zu finden. Strontium-90 stammt überwiegend noch aus den oberirdischen Kernwaffentests der Fünfziger- und Sechzigerjahre. Aus Abbildung 4.6.1.3., in der die Messwerte für Strontium-90 in der Rohmilch aus den Wiener Molkereien bzw. aus der Molkerei Baden (bis 1999) und ab 2000 für Kinderfrischmilch aus dem Handel dargestellt sind, ist ein allmähliches Absinken der Werte erkennbar. Aus den Daten ergibt sich für die Abnahme eine effektive Halbwertszeit von ca. 8 Jahren. Die Werte der Strontium-90-Konzentrationen betragen in letzter Zeit etwa 50 bis 80 mBq/l. Wegen der gegenüber dem Radiocäsium aus dem Tschernobylunfall viel gleichmäßigeren Verteilung von Strontium-90 sind diese Werte durchaus als für ganz Öster-

reich repräsentativ anzusehen, was auch Messungen an Jahresmischproben von Rohmilch aus verschiedenen Sammeltouren bestätigen. (In den Jahren 2003 und 2004 fanden aus technischen Gründen keine Untersuchungen der Milch auf Strontium-90 statt. Es wurden jedoch Proben gezogen und tiefgefroren. Diese Proben werden so bald als möglich auf Strontium-90 analysiert.)

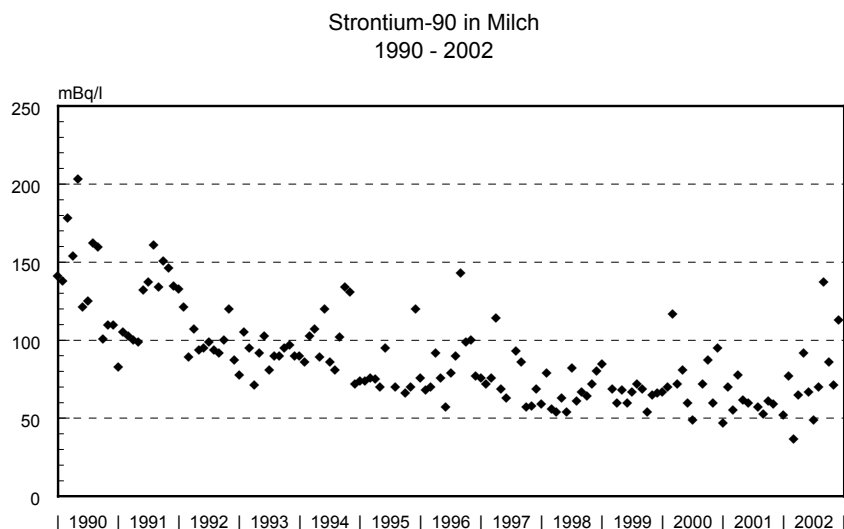


Abb. 4.6.1.5.: Strontium-90-Kontamination von Rohmilch aus Wiener Molkereien bzw. der Molkerei Baden (bis 1999) und von Kinderfrischmilch aus dem Handel (ab 2000)

In den Milchproben wird auch das natürliche Radionuklid Kalium-40 bestimmt. Der Kaliumgehalt der Milch wird durch biochemische Mechanismen annähernd konstant gehalten und liegt bei rund 45 Bq/l.

#### 4.6.2. Obst, Gemüse, Kartoffeln und Getreide

In den meisten landwirtschaftlich genutzten Böden wird Radiocäsium nach der Deposition relativ rasch an Tonminerale gebunden und steht daher im Laufe der Zeit immer weniger für eine Aufnahme durch Pflanzen zur Verfügung. Schon ab dem Jahr 1988 – also zwei Jahre nach dem Tschernobylunfall – lagen daher die Cäsium-137-Gehalte in Obst, Gemüse, Kartoffeln und Getreide in den meisten Fällen an oder unterhalb der messtechnischen Nachweisgrenze. Eine Ausnahme davon bildet lediglich im Wald wachsendes Beerenobst wie Heidelbeeren oder Preiselbeeren, das aus den zu Beginn dieses Kapitels erläuterten Gründen nach wie vor höhere Gehalte an Cäsium-137 aufweisen kann.

Die im Berichtszeitraum untersuchten Obstproben zeigten keine auffälligen Aktivitätswerte. Lediglich in Waldbeeren wurde Cäsium-137 gefunden, wobei Werte bis etwa 40 Bq/kg auftraten. Aus den vorliegenden Daten ergeben sich keine Hinweise auf einen signifikanten Rückgang der Cäsium-137-Gehalte von Waldbeeren im Laufe der letzten Jahre.

Bei Obst kann prinzipiell – da die Pflanzen in der Regel mehrjährig sind – eventuell nach dem Reaktorunfall von Tschernobyl in die Pflanze aufgenommenes und dort gespeichertes Radiocäsium immer wieder während der Wachstumsphase in die Früchte verlagert werden (Translokation). Wie die Messungen der letzten Jahre zeigen, führt dies jedoch im Allgemeinen zu keiner nennenswerten Kontamination der Früchte. Bei Gemüse dagegen fehlt die Möglichkeit einer längerfristigen Speicherung und anschließenden Translokation, da die meisten Gemüsesorten jährlich neu angebaut werden. Somit bleibt nur die Aufnahme aus dem Boden, die wegen der starken Fixierung von Cäsium an Tonminerale im Allgemeinen äußerst gering ist, sowie insbesondere bei bodenberührenden Arten eine oberflächliche Verunreinigung durch kontaminiertes Bodenmaterial, die jedoch durch Reinigen leicht zu entfernen ist. Dementsprechend lagen die in den untersuchten Gemüseproben ermittelten Cäsium-137-Aktivitäten in allen Fällen unter 1 Bq/kg.

Ebenso wie in gezüchtetem Obst und Gemüse wurde auch in Kartoffeln und Getreide in den letzten Jahren Radiocäsium nicht oder nur in sehr geringen Mengen nachgewiesen.

Das natürliche Radionuklid Kalium-40 ist in Obst, Gemüse, Kartoffeln und Getreide stets vorhanden. Die im Berichtszeitraum gemessenen Werte lagen im Bereich zwischen einigen zehn und einigen hundert Bq/kg und damit naturgemäß ähnlich hoch wie in den Jahren zuvor. Genauere Angaben über den Kalium-40-Gehalt sind in Vorberichten zu finden (/BKA 91/, /BMGK 95/, /BMGSK 94a/).

#### **4.6.3. Fleisch**

Der Cäsium-137-Gehalt von Fleisch hängt im Wesentlichen von der Kontamination der jeweiligen Futtermittel ab. Während beispielsweise in Fleisch von Schweinen – die hauptsächlich mit gering bis gar nicht kontaminierten pflanzlichen Produkten gefüttert werden – äußerst selten Radiocäsium gefunden wird, ist in Fleisch von Rindern – die in erster Linie mit Gras gefüttert werden – nach wie vor häufig Cäsium-137 nachzuweisen.

So wurde in etwa 68 % der im Berichtszeitraum untersuchten 177 Rindfleischproben Cäsium-137 festgestellt. Von allen untersuchten Proben wiesen 60 % Werte unter 1 Bq/kg, 33 % Werte zwischen 1 und 10 Bq/kg und 7 % Werte über 10 Bq/kg auf. Der Mittelwert lag bei etwa 2.6 Bq/kg, der Medianwert bei etwa 0.7 Bq/kg. Der höchste Wert wurde in einem Rind aus Salzburg mit 68 Bq/kg gemessen. Die Cäsium-137-Werte weisen auf keine signifikanten Änderungen gegenüber den Werten der letzten Jahre hin. (Auch die Milchwerte, die einen direkten Indikator für die Fleischkontamination darstellen, bestätigen diesen Hinweis.)

In den im Berichtszeitraum untersuchten Schweine-, Geflügel- und Pferdefleischproben wurde Cäsium-137 – wie auch schon in den Vorjahren – nicht oder nur in sehr geringen Mengen nachgewiesen.

Die Cäsium-137-Kontamination von Wild ist teilweise nach wie vor relativ hoch. Auch hier treten – wie bei Rind – große Schwankungsbreiten auf, die durch Faktoren wie Depositionssituation, Nahrungsangebot, Äsungsgewohnheiten der Tiere, Bodenbeschaffenheit etc. bedingt sind. So enthält Gatterwild, das den Hauptteil des konsumierten Wildes darstellt, in der Regel wenig Radiocäsium. Bei Wildfleisch aus höher kontaminierten Waldregionen hingegen sind noch immer Cäsium-137-Gehalte bis zu einigen tausend Bq/kg zu finden. Aufgrund der im Allgemeinen geringen Verzehrsmengen ist die sich daraus für die Bevölkerung ergebende Ingestionsdosis dennoch gering.

#### 4.6.4. Pilze

Während in den meisten landwirtschaftlichen Produkten derzeit nur noch geringe Mengen an Cäsium-137 zu finden sind, treten in wildwachsenden Pilzen und Beeren im Vergleich dazu deutlich höhere Gehalte auf. Der Grund dafür ist die zu Beginn dieses Kapitels erläuterte höhere biologische Verfügbarkeit von Radiocäsium in naturnahen Waldökosystemen. Wie in Kapitel 4.6.2. dargestellt, weisen Obst, Gemüse, Kartoffeln und Getreide in Österreich in der Regel Cäsium-137-Gehalte von weniger als 1 Bq/kg auf. In gewissen wildwachsenden Pilzen – wie beispielsweise Maronenröhrlingen und Semmelstoppelpilzen – werden hingegen noch immer Cäsium-137-Werte bis zu einigen tausend Bq/kg gemessen. Die Werte für in Österreich gesammelte Steinpilze und Eierschwammerl liegen meist unter 200 Bq/kg, gebietsweise treten jedoch auch höhere Werte auf. Im Vergleich dazu sind Parasole mit Werten von einigen Bq/kg eher gering kontaminiert. Bei Pilzen ist im Gegensatz zu den landwirtschaftlichen Produkten auch kaum eine Abnahme der Cäsium-137-Aktivitäten mit der Zeit zu beobachten. Ein Überblick über die Kontamination von Wildpilzen in Österreich ist im Anhang A.2. von /BKA 99/ gegeben.

Der Cäsium-137-Gehalt ist bei verschiedenen Pilzarten stark unterschiedlich. Diese Unterschiede scheinen ihre Ursache hauptsächlich in der jeweiligen Lebensweise der Pilze zu haben. Geringe Aktivitäten weisen in der Regel Parasiten, die sich von der Substanz ihrer Wirtspflanze ernähren, und Saprophyten (Fäulnisbewohner), die die Nährstoffe aus zerfallenden organischen Resten entnehmen, auf. Ein bekannter Vertreter der Parasiten ist der Hallimasch, der selten Werte über 100 Bq/kg aufweist. (Der Hallimasch kann aber auch als Saprophyt auf toten Baumstümpfen leben.) Zu den Saprophyten zählen beispielsweise die Champignons und die Riesenschirmlinge, zu denen der Parasol gehört. Bei diesen beiden Gattungen liegen die Cäsium-137-Werte überwiegend unter 10 Bq/kg.

Die dritte sehr wichtige Gruppe sind die Symbionten, die eine enge Lebensgemeinschaft mit höheren Pflanzen eingehen, und die, verglichen mit Parasiten und Saprophyten, in der Regel deutlich höhere Cäsium-137-Gehalte aufweisen. Die bemerkenswertesten Vertreter dieser Gruppe sind die Mykorrhizapilze, deren Myzelfäden mit den Wurzeln einer höheren Pflanze verbunden sind. Beide Partner ziehen Nutzen aus diesem Zusammenleben: Der Pilz versorgt die Pflanze mit Mineralstoffen, während die Pflanze an den Pilz Kohlenhydrate abtritt. In dieser Versorgung der Pflanze mit Mineralstoffen wird die Ursache für die vergleichsweise hohen Radiocäsiumgehalte der Mykorrhizapilze vermutet. Die Pilze nehmen bei diesen Vorgängen nämlich mehr Mineralstoffe auf, als sie selbst benötigen. Mit den Mineralstoffen wird aber auch Cäsium aufgenommen, wodurch es zur Anreicherung von Cäsium im Pilz kommen kann. Zu den Mykorrhizapilzen zählen viele bekannte Speisepilze wie Röhrlinge, Täublinge und Milchlinge.

Vermutlich bedingt durch unterschiedlich stark ausgeprägte Symbiosen und physiologische Besonderheiten kommt es zwischen den Gattungen, aber auch zwischen den Arten innerhalb einer Gattung, zu großen Unterschieden im Radiocäsiumgehalt. Am gleichen Standort sind beispielsweise Maronnröhrlinge in der Regel deutlich höher kontaminiert als Steinpilze, obwohl beide Arten zur Gattung der Röhrlinge gehören.

Untersuchungen zeigen weiters, dass nicht nur innerhalb der Gattungen, sondern auch innerhalb der Arten enorme Schwankungen der Radiocäsiumgehalte auftreten. Allein durch die regional unterschiedliche Deposition von Radiocäsium infolge des Tschernobylunfalls lassen sich diese Schwankungen nicht erklären, und zwar selbst dann nicht, wenn man berücksichtigt, dass in Wäldern größere Variationen der Bodenkontamination gegeben sein können als auf freien Flächen. Daraus ergibt sich, dass neben der Bodenkontamination und den physiologischen Eigenschaften der Pilze auch andere Faktoren das Ausmaß der Aufnahme von Radiocäsium aus dem Boden stark beeinflussen. Solche Faktoren sind beispielsweise Wald- und Bodenart, Bodenparameter wie pH-Wert und Feuchtigkeit, herrschende Wetterbedingungen sowie bei Mykorrhizapilzen und Parasiten auch die physiologischen Eigenschaften des Symbionten bzw. der Wirtspflanze.

Welche Strahlendosis ergibt sich nun aus dem Genuss von Pilzen? Dazu ein Beispiel: Werden bei einer Mahlzeit 200 g Eierschwammerl mit einer vergleichsweise hohen Kontamination von 1000 Bq/kg verzehrt, so ergibt sich daraus eine Ingestionsdosis von 0.0028 mSv. Dies ist wenig im Vergleich zur natürlichen Strahlenexposition, die im Mittel rund 2.9 mSv pro Jahr beträgt. Da normalerweise Wildpilze nicht in erheblichen Mengen verzehrt werden, ist die Ingestionsdosis selbst dann noch gering, wenn einige Pilze Cäsium-137-Gehalte über dem Grenzwert von 600 Bq/kg aufweisen.

Im Gegensatz zu den wildwachsenden Pilzen sind die üblicherweise in größeren Mengen verzehrten Zuchtpilze, wie Zuchtchampignons und Austernpilze, kaum bis gar nicht mit Radio-<sup>137</sup>Cäsium kontaminiert. So wurde in den letzten Jahren bei keiner an diesen Pilzarten durchgeführten Untersuchung <sup>137</sup>Cäsium nachgewiesen.

#### 4.6.5. Trink- und Quellwasser

Die Auswirkungen des Reaktorunfalls von Tschernobyl auf das Trinkwasser waren im Allgemeinen sehr gering. Lediglich in Zisternenwässern – die direkt kontaminiert wurden, und in denen noch immer Spuren von <sup>137</sup>Cäsium zu finden sind – sowie kurzzeitig in einigen Karstquellen, die von Wasser mit einer kurzen Verweilzeit im Boden und Gestein gespeist werden, konnte eine Kontamination nachgewiesen werden /BKA 88/. Stärkere Auswirkungen auf das Trinkwasser sind auch in Zukunft nicht zu erwarten, da das vom Tschernobylunfall einzig noch bedeutende Radiocäsium bereits in den obersten Bodenschichten sehr fest adsorbiert ist und daher – wenn überhaupt – nur in äußerst geringem Ausmaß ins Grundwasser und in der Folge ins Trinkwasser gelangen kann. Bekräftigt wird diese Annahme auch dadurch, dass selbst das bei den Kernwaffenversuchen der Fünfziger- und Sechzigerjahre freigesetzte <sup>137</sup>Cäsium im Trinkwasser noch immer nicht nachgewiesen wird.

Ein diesbezüglich anderes Verhalten zeigt Tritium, das ebenfalls bei den Kernwaffentests in großen Mengen erzeugt wurde. (Ein Teil des derzeit in der Biosphäre befindlichen Tritiums ist natürlichen Ursprungs.) Da nämlich Tritium in Form von tritiiertem Wasser (HTO) am Wasserkreislauf teilnimmt, ist es – wie in allen anderen Wässern – auch im Trinkwasser stets vorhanden. Die Mengen sind jedoch aus der Sicht des Strahlenschutzes unbedeutend.

Ebenfalls stets im Trinkwasser vorhanden sind natürliche Radionuklide wie Radium, Radon samt Folgeprodukten und Kalium-40. Der Gehalt an diesen Radionukliden hängt vom Ursprung der Trinkwässer ab und kann daher stark unterschiedlich sein. Ein Überblick über den Radon-222-Gehalt von österreichischen Grundwässern ist im Anhang A.1. von /BKA 99/ gegeben.

Regelmäßig kontrolliert wird das Trinkwasser der Landeshauptstädte, und zwar durch Untersuchungen von Monatssammelproben mittels Flüssigszintillationsspektrometrie. Wie in den Vorjahren wurden – abgesehen von Tritium – auch in den Jahren 2003 und 2004 bei diesen Messungen künstliche  $\alpha$ - bzw.  $\beta$ -Strahler nicht nachgewiesen. Die gemessenen Tritiumwerte lagen – ähnlich wie in Niederschlägen und Oberflächenwässern – im Bereich von etwa 1 bis 3 Bq/l.

An der LUIBK (Lebensmitteluntersuchung Innsbruck), einer Dienststelle der AGES, werden täglich 100-ml-Proben aus dem Wasserleitungsnetz entnommen und zu einer Vierteljahres-sammelprobe vereinigt. Die gesamte Probe wird eingedampft und gammaspektrometrisch untersucht. Wie schon in den Vorjahren wurden dabei keine Radionuklide künstlichen Ursprungs festgestellt.

#### **4.6.6. Gesamtnahrung**

Durch Untersuchen der Gesamtnahrung werden direkte Informationen über die Aufnahme von Radionukliden durch den Menschen über die Nahrungskette erhalten. Deshalb wurde in den letzten Jahren an der LUGRZ (Lebensmitteluntersuchung Graz), LUIBK und LULNZ begonnen, regelmäßig Menüs, in erster Linie aus Großküchen, gammaspektrometrisch zu untersuchen. Im Berichtszeitraum wurde in etwa der Hälfte der Proben Cäsium-137 nachgewiesen, wobei Maximalwerte von etwa 1 Bq/kg gemessen wurden.

#### **4.6.7. Sonstige Lebensmittel**

In allen sonstigen untersuchten Lebensmitteln wurden im Berichtszeitraum keine auffälligen Radioaktivitätswerte festgestellt.

#### **4.6.8. Lebensmittel aus dem Ausland**

Gemäß der Verordnung (EG) 1661/1999 der Kommission wurden im Berichtszeitraum alle Importe von Wildpilzen aus in der Verordnung genannten Drittländern auf Cäsium-137 kontrolliert. Bei diesen Kontrollen, die direkt an den in der Verordnung für Pilzimporte festgelegten Grenzübergängen erfolgten, wurden keine Grenzwertüberschreitungen festgestellt.

Neben diesen Grenzkontrollen wurden wie in den Vorjahren auch im Berichtszeitraum an den Dienststellen der AGES aus dem Ausland stammende Wildpilze auf radioaktive Kontaminationen untersucht. Die Proben wurden von Organen der Lebensmittelaufsicht in verschiedenen Verkaufsstellen gezogen. Kontrolliert wurden hauptsächlich Eierschwammerl, in geringerem Ausmaß auch Steinpilze.

In Tabelle 4.6.8.1. sind die Cäsium-137-Werte für Eierschwammerl in tabellarischer Form zusammengefasst. Seit dem Jahr 1998, wo von den insgesamt 188 untersuchten Eierschwammerlproben 13 den Grenzwert von 600 Bq/kg (für die Summe von Cäsium-137 und Cäsium-134) überschritten, wurden bei diesen Kontrollen keine Grenzwertüberschreitungen mehr festgestellt. Auch lagen die Durchschnittswerte in den letzten vier Jahren deutlich unter jenen des Jahres 1998 /BKA 99/. Die Werte für die untersuchten Steinpilze, bei denen eben-

falls keine Grenzwertwertüberschreitungen festgestellt wurden, lagen im selben Bereich wie jene für Eierschwammerl. Verglichen mit den in den letzten Jahren ermittelten durchschnittlichen Cäsium-137-Gehalten für Eierschwammerl und Steinpilze aus Österreich (ca. 200 Bq/kg bzw. 70 Bq/kg) liegen die Werte für die untersuchten Importpilze deutlich niedriger.

*Tabelle 4.6.8.1.: Cäsium-137 in Eierschwammerln aus dem Ausland in den Jahren 2003 und 2004*

Cäsium-137 in Eierschwammerln aus dem Ausland [Bq/kg Frischgewicht]						
Land	Anzahl	Mittelwert	Median	Minimum	Maximum	GWÜ
Bulgarien	1	4	4	4	4	0
Italien	1	30	30	30	30	0
Litauen	12	18	8	1	74	0
Polen	5	40	18	8	129	0
Rumänien	2	30	30	18	42	0
Russland	1	6	6	6	6	0
Serbien	5	6	11	1	14	0
Slowakei	1	7	7	7	7	0
Tschechien	1	327	327	327	327	0
Ungarn	1	3	3	3	3	0
Weißrussland	2	8	8	6	10	0

GWÜ...Anzahl der Grenzwertüberschreitungen

Neben Wildpilzen wurden im Berichtszeitraum in geringem Ausmaß auch andere Lebensmittel aus dem Ausland untersucht. Dabei wurde Radiocäsium nicht nachgewiesen bzw. wurden keine ungewöhnlich hohen Werte gemessen.

#### 4.6.9. Grenzwertregelung

Im Rahmen der nach dem Reaktorunfall von Tschernobyl ergriffenen Schutzmaßnahmen wurden in Österreich für das Inverkehrbringen von Lebensmitteln Grenzwerte für deren Radionuklidgehalt eingeführt, wobei die Festlegung dieser Grenzwerte in erster Linie vom Prinzip der Dosisminimierung geleitet war.

Die Einführung von Grenzwerten ist primär eine Maßnahme zur Verminderung der Gesamtdosis – Grenzwerte können also nicht als Grenze zwischen „gefährlos“ und „gefährlich“ angesehen werden. Selbst der gelegentliche Verzehr von Lebensmitteln mit über dem Grenzwert liegenden Radiocäsiumgehalten stellt keine Gefährdung dar.

Gemäß der Verordnung (EWG) 737/90 des Rates der Europäischen Gemeinschaften über die Einfuhrbedingungen für landwirtschaftliche Erzeugnisse mit Ursprung in Drittländern nach dem Unfall im Kernkraftwerk Tschernobyl darf die maximale kumulierte Aktivität von Cä-

sium-134 und Cäsium-137 den Wert von 370 Bq/kg für Milch und bestimmte Milchprodukte sowie für Zubereitungen für Kleinkinder nicht überschreiten; für alle anderen Erzeugnisse liegt dieser Wert bei 600 Bq/kg. Diese Grenzwerte werden gemäß einer gemeinsamen Erklärung auch innerhalb der Europäischen Union angewendet.

Diese Verordnung (737/90/EWG), deren Gültigkeit mittlerweile durch die Verordnung (EG) 616/2000 des Rates der Europäischen Gemeinschaften bis 31. März 2010 verlängert wurde, ist infolge des Beitritts Österreichs zur Europäischen Union seit 1. April 1995 auch in Österreich unmittelbar anzuwenden.

Bereits ab dem zweiten Folgejahr nach dem Tschernobylunfall traten in Österreich Grenzwertüberschreitungen nur noch fallweise bei einigen Produkten aus höher kontaminierten Gebieten auf. Vom Standpunkt des Strahlenschutzes gesehen, stellten diese Überschreitungen kein Problem dar, da es sich dabei um Einzelfälle handelte und daher die Gesamtaktivitätszufuhr gering blieb.

Der Radiocäsiumgehalt aller im Berichtszeitraum untersuchten Milchproben lag weit unterhalb des Grenzwertes von 370 Bq/l (für die Summe von Cäsium-134 und Cäsium-137). Mit etwa 0,7 Bq/l liegt der österreichweite Durchschnittswert der Cäsium-137-Kontamination der Milch bei etwa zwei Tausendstel des Grenzwertes.

Die Kontamination von Obst, Gemüse, Kartoffeln und Getreide lag im Allgemeinen ebenfalls weit unterhalb des Grenzwertes. Selbst der höchste gemessene Cäsium-137-Gehalt von Waldbeeren liegt mit 40 Bq/kg lediglich bei rund 7 % des Grenzwertes von 600 Bq/kg.

Abgesehen von Wildfleisch, wurden im Berichtszeitraum bei Fleisch keine Überschreitungen des Grenzwertes festgestellt. In Schweinefleisch und Geflügel wurde Radiocäsium überhaupt nicht mehr nachgewiesen. Der für Rind- und Kalbfleisch abgeschätzte österreichweite Mittelwert liegt unter 1 % des zulässigen Höchstwertes, der höchste in einer Rindfleischprobe gefundene Radiocäsium-Wert lag bei 68 Bq/kg (etwa 11 % des Grenzwertes). Für Fisch wurden Maximalwerte von etwa 0,1 % des Grenzwertes gemessen.

Bei Wildfleisch kommt es auch zurzeit noch immer wieder zu Grenzwertüberschreitungen. Wildfleisch wird normalerweise nicht in erheblichen Mengen verzehrt, weshalb die sich dadurch für den Menschen ergebende Strahlendosis trotz der zum Teil erhöhten Cäsium-137-Gehalte gering ist.

Relativ häufig treten Grenzwertüberschreitungen auch noch bei Wildpilzen auf. So lagen in den letzten Jahren etwa 70 % der untersuchten Maronenröhrlinge über dem Grenzwert von

600 Bq/kg. (Maronenröhrlinge und Reispilze weisen sogar im Mittel noch immer Cäsium-137-Gehalte über dem Grenzwert auf.) Bei den als Speisepilze sehr geschätzten Eierschwammerln wurden in den letzten Jahren bei einigen Prozent der Proben Werte über dem Grenzwert festgestellt, wobei es sich dabei in allen Fällen um in Österreich gesammelte Schwammerl handelte. Bei Steinpilzen kam es lediglich fallweise zu geringfügigen Überschreitungen des Grenzwertes. Trotz der teilweise auftretenden erhöhten Werte ist auch bei Wildpilzen – wie bei Wildfleisch – aufgrund der im Allgemeinen geringen Konsumraten die dadurch entstehende Strahlendosis ohne Bedeutung.

## 5. Ergebnisse aus der Anlagenüberwachung

Aus den an Abluft und Abwasser der Anlagen der Austrian Research Centers Seibersdorf (ARCS) und des Atominstituts der Österreichischen Universitäten (AI) durchgeführten behördlichen Kontrollmessungen und der jeweiligen betriebsinternen Eigenüberwachung geht hervor, dass die von der zuständigen Behörde festgelegten Höchstwerte für die Ableitung radioaktiver Stoffe an die Umgebung in den Jahren 2003 und 2004 in allen Fällen eingehalten wurden. Die tatsächlich an die Umgebung abgegebenen Aktivitäten liegen im Allgemeinen weit unter den genehmigten Werten. Bei der Umgebungsüberwachung wurden keine unzulässig hohen Ortsdosen oder Immissionen festgestellt.

Die in den folgenden Kapiteln angegebenen Werte für die Ableitung radioaktiver Stoffe mit der Abluft und dem Abwasser stammen großteils aus den Jahresberichten und aus zusätzlichen Angaben der Strahlenschutzabteilung der ARCS bzw. des AI. Die behördliche Prüfung dieser Abgabebilanzen auf Vollständigkeit und Plausibilität ergab keinen Hinweis auf Unstimmigkeiten. Die Ergebnisse der durchgeführten Kontrollmessungen bestätigen im Allgemeinen die Resultate aus der betriebsinternen Eigenüberwachung.

### 5.1. Austrian Research Centers Seibersdorf

#### 5.1.1. Emissionen radioaktiver Stoffe

##### Abluft

##### ASTRA-Reaktor

Obwohl der Forschungsreaktor am 31. Juli 1999 endgültig abgeschaltet wurde, wurde die Kontrolle der Reaktorhallenabluft sowohl vom Betreiber als auch von der Behörde, abgesehen von der Überwachung auf radioaktives Iod, unverändert weitergeführt. Erwartungsgemäß wurden dabei im Berichtszeitraum – mit Ausnahme von Tritium – keine nennenswerten Abgaben an künstlichen Radionukliden festgestellt. Das abgegebene Tritium stammt aus verdunstetem Beckenwasser und erreichte 2003 mit einer Jahresabgabe von  $9.81 \times 10^8$  Bq etwa 0.002 % des maximal zulässigen Wertes. (Im Jahr 2004 war kein Wasser mehr im Reaktorbecken vorhanden.)

##### Verbrennungsanlage

Die Ableitung radioaktiver Stoffe mit der Abluft aus der Verbrennungsanlage und die Mittelwerte der Aktivitätskonzentration sind in den Tabellen 5.1.1.1. bzw. 5.1.1.2. für die Jahre 2003 bzw. 2004 angeführt. Ein Vergleich der ermittelten Konzentrationen mit den ebenfalls in den Tabellen enthaltenen maximal zulässigen Werten zeigt, dass die tatsächlich abgegebenen Mengen weit unter den laut Bewilligungsbescheid zulässigen Werten liegen.

*Tabelle 5.1.1.1.: Ableitung radioaktiver Stoffe mit der Abluft aus der Verbrennungsanlage der ARCS im Jahr 2003*

	<b>Jahres- emission [kBq]</b>	<b>mittlere Aktivitäts- konzentration [mBq/m<sup>3</sup>]</b>	<b>max. zulässige Aktivitätskonzentration [mBq/m<sup>3</sup>]</b>	<b>Verhältnis tatsächlicher zu maximal zulässiger Abgabemenge</b>
<b>Alpha</b>	< 50	< 0.19 *	5920	< 3.2x10 <sup>-5</sup>
<b>Beta</b>	< 201	< 0.77 *	370000	< 2.1x10 <sup>-6</sup>
<b>Tritium</b>	8.4x10 <sup>5</sup>	1.4x10 <sup>4</sup> **	7.4x10 <sup>10</sup>	1.9x10 <sup>-7</sup>

\* Jahresmittel

\*\* Betriebszeitmittel

*Tabelle 5.1.1.2.: Ableitung radioaktiver Stoffe mit der Abluft aus der Verbrennungsanlage der ARCS im Jahr 2004*

	<b>Jahres- emission [kBq]</b>	<b>mittlere Aktivitäts- konzentration [mBq/m<sup>3</sup>]</b>	<b>max. zulässige Aktivitätskonzentration [mBq/m<sup>3</sup>]</b>	<b>Verhältnis tatsächlicher zu maximal zulässiger Abgabemenge</b>
<b>Alpha</b>	65	0.25 *	5920	4.2x10 <sup>-5</sup>
<b>Beta</b>	206	0.79 *	370000	2.1x10 <sup>-6</sup>
<b>Tritium</b>	8.7x10 <sup>5</sup>	1.9x10 <sup>4</sup> **	7.4x10 <sup>10</sup>	2.6x10 <sup>-7</sup>

\* Jahresmittel

\*\* Betriebszeitmittel

### Chemische Verfahrenstechnik

Die Überwachung der Labors der Abteilung Chemische Verfahrenstechnik und des Heißzellenlaboratoriums auf Abgabe an radioaktiven Aerosolen ergab, dass die in den Jahren 2003 und 2004 in der Abluft festgestellten Aerosolaktivitäten im Wesentlichen der Konzentration an langlebigen natürlichen Radionukliden in der Luft entsprechen. Lediglich auf den Aerosolfiltern des Radiopharmakalabors DD 1-43, in dem Radioiod für die Nuklearmedizin verarbeitet wird, wurden zeitweise höhere Werte registriert. Gammaskopimetrische Untersuchungen haben gezeigt, dass diese Erhöhungen auf Iod-131 und Iod-123 zurückzuführen sind. Die Werte für die beiden Iodisotope lagen weit unter den zulässigen Höchstwerten.

Die Radioiodabgabe aus den beiden Iodlaboratorien wird mittels Aktivkohlepatronen überwacht. Wie die Werte der Tabellen 5.1.1.3. und 5.1.1.4. zeigen, liegen die in der Kaminabluft gemessenen Konzentrationen für Iod-131 weit unter den gemäß Strahlenschutzverordnung, Anlage 5, Tabelle A höchstzulässigen Konzentrationen in der Atemluft bei 168-stündiger Exposition pro Woche (HZK 168).

*Tabelle 5.1.1.3.: Radioiodabgabe mit der Abluft aus der Radiopharmakaproduktion der ARCS im Jahr 2003*

Labor	Nuklid	Jahres- emission [MBq]	mittlere Aktivitätskonz. [Bq/m <sup>3</sup> ]	HZK 168 [Bq/m <sup>3</sup> ] bzw. abgeleiteter Wert*	Verhältnis von Konz. in der Abluft zu HZK 168 in [%]
DD 1-43	Iod-131	37.1	0.9	111	0.8
	Iod-123	5745	239	11100	2.2
DD 1-44	Iod-131	185.3	42.3	111	38
	Iod-123	0.9	0.1	11100	0.0009

\* Für I-123 ist in der Strahlenschutzverordnung kein HZK-168-Wert angegeben; der hier angeführte Wert wurde aus dem HZK-168-Wert für I-131 unter Berücksichtigung der unterschiedlichen Radiotoxizität dieser beiden Nuklide ermittelt (Dosiskoeffizienten aus der Richtlinie 96/29/Euratom des Rates vom 13. Mai 1996)

*Tabelle 5.1.1.4.: Radioiodabgabe mit der Abluft aus der Radiopharmakaproduktion der ARCS im Jahr 2004*

Labor	Nuklid	Jahres- emission [MBq]	mittlere Aktivitätskonz. [Bq/m <sup>3</sup> ]	HZK 168 [Bq/m <sup>3</sup> ] bzw. abgeleiteter Wert*	Verhältnis von Konz. in der Abluft zu HZK 168 in [%]
DD 1-43	Iod-131	7.0	0.34	111	0.3
	Iod-123	2578	120	11100	1.1
DD 1-44	Iod-131	130.2	17.9	111	16
	Iod-123	0.03	0.004	11100	0.00004

\* Für I-123 ist in der Strahlenschutzverordnung kein HZK-168-Wert angegeben; der hier angeführte Wert wurde aus dem HZK-168-Wert für I-131 unter Berücksichtigung der unterschiedlichen Radiotoxizität dieser beiden Nuklide ermittelt (Dosiskoeffizienten aus der Richtlinie 96/29/Euratom des Rates vom 13. Mai 1996)

## Abwasser

In den Tabellen 5.1.1.5. bzw. 5.1.1.6 sind die für die Jahre 2003 bzw. 2004 ermittelten Ableitungen radioaktiver Stoffe mit dem Abwasser sowie die entsprechenden mittleren Aktivitätskonzentrationen zusammengestellt. Ein Vergleich dieser Werte mit den im strahlenschutzrechtlichen Bewilligungsbescheid festgelegten maximalen Aktivitätswerten zeigt, dass die tatsächlich abgegebenen Aktivitäten in Summe im Jahr 2003 etwa 3 %, im Jahr 2004 etwa 4 % des Genehmigungswertes für die jährliche Emission an Radionukliden betragen. Aus den behördlichen Kontrollmessungen geht hervor, dass die in den Tabellen angeführten Beta-Aktivitäten unter anderem auf Cobalt-60 (Halbwertszeit 5.27 Jahre) und Cäsium-137 zurückzuführen sind.

Tabelle 5.1.1.5.: Ableitung radioaktiver Stoffe mit dem Abwasser der ARCS im Jahr 2003

	Alpha	Beta	Kohlenstoff-14	Tritium
<b>Jahresemission [MBq]</b>	4.2	58	600	26000
<b>mittlere Aktivitätskonzentration [Bq/l]</b>	0.2	2.1	20	1000

Tabelle 5.1.1.6.: Ableitung radioaktiver Stoffe mit dem Abwasser der ARCS im Jahr 2004

	Alpha	Beta	Kohlenstoff-14	Tritium
<b>Jahresemission [MBq]</b>	3.2	130	820	51000
<b>mittlere Aktivitätskonzentration [Bq/l]</b>	0.1	3.9	26	1600

### 5.1.2. Umgebungsüberwachung

Die von den ARCS im Betriebsgelände und in seiner Umgebung durchgeführten Messungen der externen Strahlung ergaben Werte, wie sie – bedingt durch die natürliche terrestrische und kosmische Strahlung – in dieser Gegend Österreichs üblich sind (ca. 0.7 mSv pro Jahr).

Bei der kontinuierlichen Überwachung der Aerosolaktivität der bodennahen Luft im Betriebsgelände konnten keine Abweichungen von der üblicherweise in Luft vorhandenen natürlichen Radioaktivität festgestellt werden. Ebenso lieferte die Untersuchung der Grund- und Oberflächenwässer sowie der Dachabwässer keine Hinweise auf das Vorhandensein von aus den ARCS stammenden künstlichen Radionukliden. Aus der Kontrolle von Boden, Bewuchs und Niederschlag sowie von agrarischen Produkten aus der Umgebung der Anlage geht hervor, dass der Betrieb des Forschungszentrums im Berichtszeitraum keine Belastung durch radioaktive Emissionen für die Umgebung darstellte. Die Analyse von Sedimentproben und biologischem Material aus dem Leitha-Mühl-Kanal, in den die Abwässer der ARCS eingeleitet werden, ergab, dass praktisch kein Einfluss durch die Betriebsabwässer auf den Leitha-Mühl-Kanal gegeben war. So lag der Gesamt- $\alpha$ - und Gesamt- $\beta$ -Gehalt sowohl für die oberhalb als auch für die unterhalb der Abwassereinleitstelle entnommenen Proben innerhalb der Schwankungsbreite der natürlichen Aktivität.

Bei nuklidspezifischen Untersuchungen wurden in einigen Proben aus dem Leitha-Mühl-Kanal – wie schon in den Vorjahren – geringe Mengen an Cäsium-137 nachgewiesen. Die gemessenen Werte liegen in einem Bereich, der für solche Probenarten seit dem Tschernobylunfall auch an anderen Orten dieser Region üblich ist. Das gefundene Cäsium-137 stammt daher im Wesentlichen aus dem Tschernobylunfall und nicht aus Emissionen der ARCS. Die ermittelten Aktivitätsgehalte liegen weit unter denen natürlicher Radionuklide.

Die von der LWVIE durchgeführte Umgebungsüberwachung bestätigt im Wesentlichen die Ergebnisse der betriebsinternen Eigenkontrolle und zeigt, dass der Betrieb der Anlage praktisch keine Auswirkungen auf die Umgebung der ARCS hat. Im Zuge der Kontrollen wurden in einigen Medien die künstlichen Radionuklide Cäsium-137 und Tritium gefunden. Aus den gemessenen Werten geht jedoch hervor, dass diese Nuklide nicht aus dem Forschungszentrum, sondern aus dem Reaktorunfall von Tschernobyl bzw. aus den oberirdischen Kernwaffentests stammen.

## 5.2. Atominstytut der Österreichischen Universitäten

### 5.2.1. Emissionen radioaktiver Stoffe

#### Abwasser

In die Abwassertanks des AI gelangen neben den Abwässern aus dem Reaktorbereich selbst auch noch Ableitungen aus den verschiedenen wissenschaftlichen Labors. Vor der Entleerung eines Abwassertanks wird sein Inhalt sowohl vom AI als auch von der LWVIE auf seinen Radionuklidgehalt untersucht. In Tabelle 5.2.1.1. ist die Abgabebilanz für das Jahr 2003 zusammengestellt, in Tabelle 5.2.1.2. jene für das Jahr 2004 (die Werte stammen aus den Messungen der LWVIE).

Die am AI mittels Proportionalzähler durchgeführten  $\alpha+\beta$ -Messungen weisen auf keine größeren, nicht schon in den beiden Tabellen berücksichtigte Radionuklidabgaben hin. Ein Vergleich dieser Werte mit den behördlich festgelegten Maximalwerten zeigt, dass die tatsächlich abgegebenen Aktivitäten jeweils weit unter den zulässigen Abgabewerten lagen.

*Tabelle 5.2.1.1.: Konzentration radioaktiver Stoffe im bzw. Ableitung radioaktiver Stoffe mit dem Abwasser des AI im Jahr 2003*

Radionuklide im Abwasser des AI (2003)			
Radionuklid	Halbwertszeit	Jahresabgabe [kBq]	Konzentrationsbereich [Bq/l]
$\alpha+\beta$ -Gesamt	–	390	1.9 – 13.7
Antimon-124	60.2 Tage	2.2	n.n. 0.11
Tritium	12.3 Jahre	16780	208 – 345
Cobalt-60	5.3 Jahre	53	0.09 – 2.4
Chrom-51	27.7 Tage	15	n.n. 0.76
Cäsium-137	30.1 Jahre	13	0.14 – 0.35
Mangan-54	312.2 Tage	10	n.n. – 0.52
Thallium-201	3.04 Tage	4.4	n.n. 0.22
Zink-65	243.8 Tage	21	n.n. – 1.1

n.n. ... nicht nachgewiesen

*Tabelle 5.2.1.2.: Konzentration radioaktiver Stoffe im bzw. Ableitung radioaktiver Stoffe mit dem Abwasser des AI im Jahr 2004*

<b>Radionuklide im Abwasser des AI (2004)</b>			
<b>Radionuklid</b>	<b>Halbwertszeit</b>	<b>Jahresabgabe [kBq]</b>	<b>Konzentrationsbereich [Bq/l]</b>
$\alpha+\beta$ -Gesamt	–	500	1.9 – 14.4
Tritium	12.3 Jahre	29140	370 – 597
Americium-241	433 Jahre	66	n.n. 2.6
Barium-133	10.6 Jahre	14	n.n. 0.48
Cobalt-60	5.3 Jahre	161	0.12 – 5.4
Chrom-51	27.7 Tage	82	n.n. 4.1
Cäsium-134	2.1 Jahre	4.5	n.n. 0.15
Cäsium-137	30.1 Jahre	189	0.12 – 6.0
Europium-152	12.7 Jahre	92	n.n. 3.7
Mangan-54	312.2 Tage	3.2	n.n. – 0.16
Natrium-22	2.6 Jahre	1.2	n.n. 0.06
Silber-110m	250 Tage	64	n.n. 3.2
Zink-65	243.8 Tage	20	n.n. – 0.62

n.n. ... nicht nachgewiesen

## **Abluft**

Die in der Reaktorhallenabluft festgestellten Aerosolaktivitäten lagen im Berichtszeitraum im Bereich der natürlichen Aerosolaktivität in der Außenluft bzw. wegen der Rückhaltewirkung der Abluftfilter darunter. Iod-131 wurde in der Abluft der Reaktorhalle nicht nachgewiesen. Die Abgabe an Argon-41 betrug in den Jahren 2003 und 2004 jeweils etwa 0.4 TBq und damit rund 0.4 % des maximal zulässigen Wertes.

## **5.2.2. Umgebungsüberwachung**

Die im Rahmen der betriebsinternen Eigenüberwachung durchgeführte Messung der externen Strahlung in der Umgebung des AI lieferte Werte, wie sie – bedingt durch die natürliche terrestrische und kosmische Strahlung – auch an anderen Stellen in Wien zu finden sind.

Die kontinuierliche Überwachung der Aerosolaktivität in der bodennahen Luft lieferte keinen Hinweis auf künstliche radioaktive Immissionen. Die dabei gemessenen Werte entsprechen der üblicherweise in Luft vorhandenen Menge an natürlichen Radionukliden. Ebenso wurden bei der Untersuchung von Wasser- und Sedimentproben aus dem Donaukanal, in den die Abwässer des AI eingeleitet werden, sowie bei der Kontrolle der Grundwässer keine Abweichungen von der in diesen Medien vorhandenen natürlichen Radioaktivität festgestellt. Bei

den gammaspektrometrischen Untersuchungen von Boden- und Bewuchsproben wurde das künstliche Radionuklid Cäsium-137 nachgewiesen. Die gefundenen Aktivitäten liegen jedoch in einem Bereich, der für diese Probenarten seit dem Tschernobylunfall auch an anderen Orten im Wiener Raum üblich ist.

Von der LWVIE wurden im Rahmen der Umgebungsüberwachung im Wesentlichen die gleichen Medien beprobt und untersucht wie vom AI. Ebenso wie die betriebsinterne Überwachung bestätigen die Ergebnisse der LWVIE, dass der Betrieb der Anlage praktisch keine Auswirkungen auf die Umgebung des AI hat. Die in einigen Medien nachgewiesenen künstlichen Radionuklide Cäsium-137 und Tritium stammen – wie aus den gemessenen Werten hervorgeht – aus dem Tschernobylunfall bzw. aus den oberirdischen Kernwaffenversuchen.

## 6. Strahlenexposition der Bevölkerung

Die Strahlenexposition der Bevölkerung ist derzeit weitgehend durch natürliche Strahlenquellen bedingt. Zu dieser natürlichen Strahlenexposition tragen das radioaktive Edelgas Radon und seine kurzlebigen Folgeprodukte über die Inhalation im Mittel etwas mehr als die Hälfte bei. Rund ein Drittel der natürlichen Strahlenexposition erfolgt über Bestrahlung von außen durch kosmische Strahlung und durch terrestrische Gammastrahlung. Von geringerer Bedeutung ist die Aufnahme natürlicher Radionuklide über Trinkwasser und Nahrung (Ingestion), die im Mittel nur etwa ein Zehntel der natürlichen Strahlendosis bewirkt.

Die Anwendung radioaktiver Stoffe und ionisierender Strahlung in der Medizin liefert nach den natürlichen Strahlenquellen den größten Beitrag zur Strahlendosis der Bevölkerung. Die durch medizinische Anwendungen verursachte Dosis verteilt sich jedoch sehr ungleichmäßig auf die Bevölkerung.

In den Jahren 1986 und 1987 kam es in Österreich infolge des Reaktorunfalls von Tschernobyl zu einem Anstieg der mittleren Strahlenexposition der Bevölkerung um durchschnittlich etwa 10 % (/BKA 88/, /Mück 95/). In den darauf folgenden Jahren ging die durch den Tschernobyl-Fallout bewirkte Strahlendosis stark zurück und lag im Berichtszeitraum schon deutlich unter 1 % der Gesamtdosis.

Die durch den Betrieb von Kernanlagen, durch die Verwendung von radioaktiven Stoffen und ionisierender Strahlung in Forschung, Technik und Haushalt sowie durch den Kernwaffen-Fallout bewirkte Strahlenexposition der Bevölkerung ist im Vergleich zur natürlichen Strahlenexposition sehr gering.

### 6.1. Natürliche Strahlenexposition

Die natürliche Strahlenexposition setzt sich aus der externen Strahlenexposition durch kosmische und terrestrische Strahlung und der internen Strahlenexposition durch Inkorporation von natürlichen radioaktiven Stoffen über Inhalation und Ingestion zusammen. Durch zivile Maßnahmen – wie beispielsweise das Senken der Ventilationsrate in Gebäuden, was zu einer Anreicherung von Radon führen kann – kann es unter Umständen zu beträchtlichen Erhöhungen der natürlichen Strahlenexposition kommen.

#### 6.1.1. Externe Strahlenexposition

Die externe Strahlenexposition setzt sich aus einer kosmischen und einer terrestrischen Komponente zusammen. Die kosmische Komponente wird im Wesentlichen durch den Photonenanteil (Gamma- und Röntgenstrahlen) der Höhenstrahlung bewirkt. Wegen der Absorption in

der Atmosphäre hängt die durch sie verursachte Dosis stark von der Seehöhe ab. Die terrestrische Komponente der externen Strahlenexposition entsteht hauptsächlich durch die Gammastrahlung des Kalium-40 sowie der Radionuklide der natürlichen Zerfallsreihen. Im Freien hängt daher die Höhe der durch sie bewirkten Dosis in erster Linie vom Radionuklidgehalt des Bodens ab, in Gebäuden ist der Radionuklidgehalt der verwendeten Baumaterialien bestimmend. In Gebäuden kommt es auch zu einer gewissen, von der Bauweise und den verwendeten Baustoffen abhängigen Abschirmung gegenüber der Boden- und Höhenstrahlung. Dementsprechend ist die externe Strahlenexposition im Freien anders als in Gebäuden und regional unterschiedlich.

Die Höhe der externen Strahlenexposition der österreichischen Bevölkerung durch natürliche Strahlenquellen wurde bereits früher von Tschirf et al. abgeschätzt /Tschirf 75/. Danach kommt es bei einem ganzjährigen Aufenthalt im Freien im Mittel zu einer effektiven Dosis von etwa 0.78 mSv (0.43 mSv terrestrische und 0.35 mSv kosmische Strahlung). Dieser Wert wird durch die mit dem Strahlenfrühwarnsystem erhaltenen Ergebnisse bestätigt, wonach der österreichweite Mittelwert der Gammaortsdosisleistung etwa 90 nSv pro Stunde beträgt, was zu einer jährlichen Strahlendosis von 0.79 mSv führt. Wie bereits oben erwähnt, sind – abhängig von der Abschirmwirkung des Baumaterials gegenüber der Boden- und Höhenstrahlung sowie vom Radionuklidgehalt der verwendeten Baustoffe – die Werte der externen Strahlenexposition in Gebäuden anders als im Freien. Für Innenräume ergibt sich für die durch externe Bestrahlung bewirkte effektive Dosis mit 1.1 mSv pro Jahr im Mittel ein etwas höherer Wert als im Freien /Tschirf 80/. Unter der Annahme eines Aufenthalts in Innenräumen während 80 % des Tages errechnet sich für Österreich ein Gesamtwert von etwa 1 mSv pro Einwohner und Jahr für die externe Strahlendosis /Tschirf 80/.

### **6.1.2. Interne Strahlenexposition**

Neben der Bestrahlung von außen durch die kosmische Strahlung und die terrestrische Gammastrahlung ist die Bestrahlung von innen durch im Körper befindliche natürliche Radionuklide die zweite Komponente der natürlichen Strahlenexposition. In den Körper gelangen die Radionuklide hauptsächlich über Inhalation und Ingestion – andere Inkorporationsmechanismen wie Aufnahme über die Haut oder über Wunden spielen im Normalfall keine Rolle.

#### Inhalation

Die Inhalation des radioaktiven Edelgases Radon und seiner kurzlebigen Folgeprodukte liefert den Hauptbeitrag zur internen Strahlenexposition der Bevölkerung. Die Erhebung von repräsentativen Werten für Österreich erfolgte in einer vom damaligen Gesundheitsressort initiierten und anschließend von den jeweils zuständigen Ressorts weitergeführten Studie (Österreichisches nationales Radonprojekt, ÖNRAP). Einzelheiten über dieses Projekt sind in

/BMGSK 92b/, BMGSK 94b/ und /Friedmann 96/ zu finden. Aus den erhobenen Daten wurde ein österreichweiter Durchschnittswert für die durch Radon bewirkte effektive Dosis von etwa 1.6 mSv pro Einwohner und Jahr abgeschätzt. In Einzelfällen kommt es aber auch zu wesentlich höheren Werten. Die Inhalationsdosis durch Radon wird fast zur Gänze durch den Aufenthalt in Gebäuden bewirkt. Wegen der im Freien wesentlich geringeren Radonkonzentrationen und kürzeren Aufenthaltsdauer ergibt sich für den Aufenthalt im Freien nur eine effektive Dosis von weniger als 0.1 mSv pro Jahr.

Durch den Gehalt von Tabak an den langlebigen Radonfolgeprodukten Polonium-210 und Blei-210 kommt es für Raucher zu einer zusätzlichen Inhalationsdosis. Aus den in /Watson 85/ angeführten Werten kann eine durch Rauchen bewirkte effektive Dosis im Bereich von etwa 0.01 bis 0.45 mSv pro Jahr abgeleitet werden.

Der Beitrag des natürlichen Radionuklids Beryllium-7 zur Inhalationsdosis ist mit einigen Millionstel Millisievert pro Jahr vernachlässigbar gering.

### Ingestion

Von den über Trinkwasser und Nahrung aufgenommenen natürlichen Radionukliden tragen nur Kalium-40 sowie Nuklide der Uran-Radium- und der Thorium-Zerfallsreihe wesentlich zur Ingestionsdosis bei. Sie bewirken im Mittel zusammen eine jährliche effektive Dosis von etwa 0.31 mSv pro Person, wovon 0.17 mSv auf Kalium-40 und 0.14 mSv auf Radionuklide aus den Zerfallsreihen – und zwar hauptsächlich auf Blei-210 und Polonium-210 – fallen (Werte aus /UNSCEAR 00/). Der Wert für Kalium-40 ist keinen großen Schwankungen unterworfen, da der Gehalt des Körpers an Kalium homöostatisch geregelt ist. Hingegen kann beispielsweise ein lokal erhöhter Radium- oder Radongehalt des Trinkwassers eine Ingestionsdosis bewirken, die beträchtlich über dem angeführten Mittelwert liegt.

## **6.2. Zivilisatorische Strahlenexposition**

Die zivilisatorische Strahlenexposition resultiert aus der Anwendung radioaktiver Stoffe und ionisierender Strahlung in Medizin, Forschung, Technik und Haushalt, aus dem Betrieb kerntechnischer Anlagen sowie aus den bei den oberirdischen Kernwaffenversuchen und beim Reaktorunfall von Tschernobyl in die Umwelt freigesetzten Radionukliden. Die durch medizinische Anwendungen verursachte Strahlendosis liegt im Mittel bei etwa 1.3 mSv pro Einwohner und Jahr. Alle anderen genannten Quellen bewirkten im Berichtszeitraum zusammen jährlich weniger als 0.1 mSv.

### **6.2.1. Anwendung radioaktiver Stoffe und ionisierender Strahlung in der Medizin**

Die aus der Anwendung radioaktiver Stoffe und ionisierender Strahlung in der Medizin sich ergebende mittlere effektive Dosis kann auf Basis nationaler und internationaler Erfahrungen und Studien auf etwa 1.3 mSv pro Einwohner und Jahr geschätzt werden, wobei der Großteil dieser Dosis durch die Röntgendiagnostik verursacht wird. Die Nuklearmedizin beispielsweise liefert im Vergleich dazu wegen der geringeren Anwendungshäufigkeit und der zum Teil auch niedrigeren effektiven Dosis je Untersuchung einen wesentlich kleineren Beitrag zur Strahlenexposition der Bevölkerung. Die in der Umwelt nachgewiesenen, aus nuklearmedizinischen Anwendungen stammenden Radionuklide sind für die Bevölkerungsdosis ohne Bedeutung.

Wie bereits oben erwähnt, verteilt sich die medizinisch bedingte Strahlenexposition sehr ungleichmäßig auf die Bevölkerung, weshalb die Ableitung von Risikogrößen für die allgemeine Bevölkerung problematisch ist. Bei gewissenhafter Anwendung radioaktiver Stoffe und ionisierender Strahlung in der medizinischen Diagnostik und Therapie resultiert daraus ein Strahlenrisiko, das gegenüber dem Nutzen für den Patienten weit in den Hintergrund tritt. Dies sollte bei der Wertung der Strahlenexposition durch medizinische Anwendungen stets berücksichtigt werden.

### **6.2.2. Anwendung radioaktiver Stoffe und ionisierender Strahlung in Forschung, Technik und Haushalt**

In Forschung, Technik und Haushalt werden auch Industrieerzeugnisse verwendet, die radioaktive Stoffe verschiedener Art und Aktivität enthalten. Beispiele dafür sind bestimmte wissenschaftliche Instrumente, Ionisationsrauchmelder, aber auch Konsumprodukte wie Uhren mit tritiumhaltigen Leuchtziffern. Weiters werden bei einigen technischen Prozessen zur Messung, Steuerung oder Qualitätskontrolle Strahlenquellen eingesetzt (zB Schweißnahtprüfungen, Füllstands-, Dicke- und Dichtemessungen). Der Umgang mit diesen Strahlenquellen sowie die Zulassung von Industrieerzeugnissen, die radioaktive Stoffe enthalten, ist gesetzlich geregelt und bedarf in der Regel einer Genehmigung. Eine genaue Bestimmung der durch die Anwendung radioaktiver Stoffe und ionisierender Strahlung in diesen Bereichen für die Bevölkerung bewirkten Strahlendosis ist kaum durchführbar. Im Mittel liegt sie jedoch mit Sicherheit unter 0.02 mSv effektive Dosis pro Einwohner und Jahr.

### **6.2.3. Berufliche Tätigkeit**

Vor allem im medizinischen Bereich, aber auch in Forschung, Industrie und Gewerbe sowie im öffentlichen Dienst sind beruflich strahlenexponierte Personen tätig. Die physikalische Überwachung der Strahlenexposition dieses Personenkreises ist gesetzlich vorgeschrieben.

Die sich in Österreich aufgrund beruflicher Strahlenexposition für die Gesamtbevölkerung ergebende mittlere Strahlendosis kann auf etwa 0.05 mSv pro Einwohner und Jahr geschätzt werden. Die Abschätzung erfolgte durch Vergleich einer für einen Teilbereich in Österreich durchgeführten Studie /Duftschmid 81/ mit Ergebnissen ausländischer Arbeiten. Den größten Beitrag zur Dosis der Gesamtbevölkerung liefern die Tätigkeiten im medizinischen Bereich. Wie die medizinisch bedingte Strahlenexposition ist auch die beruflich bedingte ungleichmäßig auf die Bevölkerung verteilt.

#### **6.2.4. Fallout von Kernwaffenversuchen**

Im Zeitraum von 1945 bis 1980 wurden insgesamt 418 Kernwaffentests in der freien Atmosphäre durchgeführt, die eine weltweite Kontamination mit künstlichen Radionukliden zur Folge hatten. Nach Einstellen der oberirdischen Tests durch die USA, die damalige UdSSR und Großbritannien Ende 1962 geht seit etwa Mitte der sechziger Jahre der Pegel der durch diese Versuche verursachten Umweltradioaktivität ständig zurück. Heute sind von den damals freigesetzten Radionukliden nur noch wenige nachweisbar – auch ihre Konzentrationen in den einzelnen Medien sind mittlerweile schon sehr gering. Der zurzeit geleistete Beitrag des Kernwaffen-Fallouts zur Strahlendosis der österreichischen Bevölkerung kann auf weniger als 0.01 mSv pro Einwohner und Jahr geschätzt werden.

#### **6.2.5. Kerntechnische Anlagen**

Die durch den Betrieb der kerntechnischen Anlagen der Austrian Research Centers Seibersdorf und des Atominstututs der Österreichischen Universitäten sich für die Bevölkerung ergebende Strahlendosis ist vernachlässigbar gering. Auch der Normalbetrieb von Kernanlagen im Ausland führt zu praktisch keinen Expositionen für die österreichische Bevölkerung.

#### **6.2.6. Reaktorunfall von Tschernobyl**

Die durch den Reaktorunfall von Tschernobyl verursachte mittlere jährliche Strahlendosis für die Bevölkerung ist von etwa 0.4 mSv pro Einwohner im Jahr 1986 /BKA 88/ auf unter 0.01 mSv in den Jahren 2003 und 2004 zurückgegangen. Sie wurde im Berichtszeitraum fast ausschließlich durch Cäsium-137 bewirkt, andere in der Folge des Reaktorunfalls deponierte Radionuklide spielten – aufgrund ihrer kurzen Halbwertszeiten und/oder der geringen Mengen, die nach Österreich gelangten – praktisch keine Rolle mehr.

Während in den ersten Jahren nach dem Reaktorunfall die Ingestion den dominierenden Expositionspfad darstellte, trägt zurzeit die Bestrahlung von außen mehr als die Ingestion zur Gesamtdosis bei. Die Inhalation war nur in den ersten Tagen nach dem Tschernobylunfall

während des Durchzugs der radioaktiv kontaminierten Luftmassen von Bedeutung und steuerte mit rund 0.025 mSv etwa 6 % zur Gesamtdosis im Jahr 1986 bei /BKA 88/. In den Folgejahren war die durch Inhalation von resuspendierten kontaminierten Bodenpartikeln bewirkte Dosis mit einigen Millionstel Millisievert pro Einwohner und Jahr vernachlässigbar gering.

Die externe Strahlenexposition der österreichischen Bevölkerung durch den Reaktorunfall von Tschernobyl resultierte im Berichtszeitraum praktisch zur Gänze aus der Gammastrahlung des im Jahr 1986 deponierten Radiocäsiums und führte im Mittel zu einer Jahresdosis von einigen  $\mu$ Sv pro Einwohner. Sie ist somit auf weniger als 10 % der für 1986 ermittelten Dosis von etwa 0.094 mSv zurückgegangen, zu der damals neben Radiocäsium auch andere, kürzerlebige Nuklide beigetragen haben /BKA 88/.

Der Rückgang der externen Strahlenexposition ist hauptsächlich auf das Abklingen der kurzlebigen Nuklide, auf – besonders in urbanen Gebieten stark wirksame – Abwascheffekte sowie auf das Tieferwandern des Radiocäsiums im Boden, was eine erhöhte Abschirmung der emittierten Gammastrahlung zur Folge hat, zurückzuführen. Durch die – abhängig von der Oberflächenbeschaffenheit am Standort – unterschiedliche Wirksamkeit der beiden letztgenannten Effekte kann es zu einer starken örtlichen Variation der externen Strahlenexposition kommen. So sind auf den großteils gut befestigten, harten Oberflächen in urbanen Gebieten die Abwascheffekte besonders wirksam, weshalb es in der Regel schon bald nach dem Tschernobylunfall zu einer starken Abnahme der externen Strahlenexposition für die dort lebende Bevölkerung kam /Mück 91/. Hingegen sind auf naturbelassenen, unbefestigten Böden, wie sie in ländlichen Regionen vorherrschen, die Abwascheffekte weit weniger wirksam. Deshalb kann die durch Radiocäsium bewirkte externe Strahlenexposition in einigen vom Tschernobyl-Fallout stärker betroffenen ländlichen Gebieten Österreichs um einen Faktor von 10 oder mehr über dem österreichweiten Durchschnittswert liegen.

Noch stärker zurückgegangen als die externe Exposition ist die interne Exposition durch die mit der Nahrung erfolgte Aufnahme von Radiocäsium in den Körper. Im österreichweiten Durchschnitt lag die Ingestionsdosis in den Jahren 2003 und 2004 unter 0.003 mSv pro Einwohner, und somit bereits bei weniger als 1 % der Dosis im Jahr 1986, die rund 0.3 mSv betrug /BKA 88/. Mehr als die Hälfte der Ingestionsdosis wurde im Berichtszeitraum durch den Konsum von Milch und Rindfleisch bewirkt.

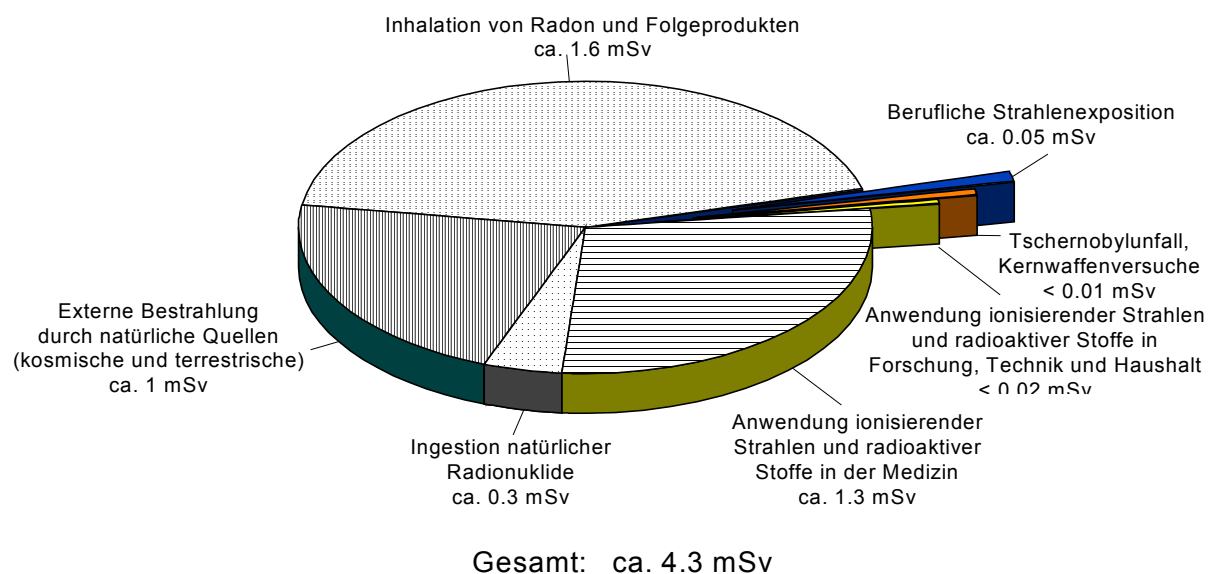
In einigen Produkten aus Waldgebieten und vereinzelt auch bei landwirtschaftlichen Erzeugnissen aus höher kontaminierten Almregionen treten weiterhin Cäsium-137-Gehalte von einigen hundert, in einigen Pilzarten und in Wildfleisch bis zu einigen tausend Bq/kg auf. Solche Produkte werden im Allgemeinen jedoch nicht in erheblichen Mengen verzehrt, weshalb –

trotz der relativ hohen Kontamination – die sich daraus für die Gesamtbevölkerung ergebende Ingestionsdosis gering ist. So trägt beispielsweise der Konsum von Wildpilzen im Mittel weniger als 10 % zur Ingestionsdosis bei. Besondere Ernährungsgewohnheiten können aber zu einer überdurchschnittlichen Ingestionsdosis führen. So bewirkt beispielsweise ein Verzehr von 200 g Wildpilzen mit einem Cäsium-137-Gehalt von 1000 Bq/kg eine effektive Dosis von 0.0026 mSv, und damit etwa eine Verdoppelung der zurzeit durchschnittlichen jährlichen Ingestionsdosis aufgrund des Tschernobylunfalls. Verglichen mit der aus der Ingestion von natürlichen Radionukliden resultierenden Dosis von jährlich etwa 0.31 mSv ist sie jedoch noch immer gering.

### 6.3. Gesamte Strahlenexposition

Die Strahlenexposition der österreichischen Bevölkerung betrug in den Jahren 2003 und 2004 im Mittel jeweils rund 4.3 mSv effektive Dosis pro Person, und setzt sich wie folgt zusammen:

Strahlenexposition der Bevölkerung in den Jahren 2003 und 2004  
(effektive Dosis pro Einwohner und Jahr)



- Die Strahlenexposition aus natürlichen Strahlenquellen führte zu einer effektiven Dosis von etwa 2.9 mSv pro Einwohner und Jahr. Dazu trugen das radioaktive Edelgas Radon und seine kurzlebigen Folgeprodukte über die Inhalation im Mittel mehr als die Hälfte bei. Rund ein Drittel resultierte aus der Bestrahlung von außen durch kosmische Strahlung und terrestrische Gammastrahlung, der Rest stammt aus der Ingestion natürlicher Radionuklide.
- Die zivilisatorisch bedingte Strahlendosis betrug im Mittel rund 1.4 mSv pro Person und Jahr. Dazu lieferte die Anwendung radioaktiver Stoffe und ionisierender Strahlung in der Medizin – und zwar insbesondere die Röntgendiagnostik – mit etwa 1.3 mSv den weitaus größten Beitrag. Alle übrigen zivilisatorischen Strahlenquellen zusammen bewirkten eine effektive Dosis von weniger als 0.1 mSv pro Einwohner und Jahr.

## Anhang

### A1. Beweissicherung Kernkraftwerk Temelin – Zwischenbericht 2004

W. Ringer, M. Bernreiter

AGES GmbH, CC Strahlenschutz Linz, Derfflingerstraße 2, 4020 Linz

#### Motivation und Inhalt

Durch die Inbetriebnahme des tschechischen KKW's Temelin etwa 50 km von der österreichischen Grenze entfernt kam es zu einer großen Verunsicherung der Bevölkerung (insbesondere in Oberösterreich) und heftigem Widerstand von Teilen der Bevölkerung und von Politikern.

Das Untersuchungsprogramm „Beweissicherung Kernkraftwerk Temelin“ soll dazu dienen, allfällige radioaktive Immissionen durch das KKW Temelin in Oberösterreich verlässlich nachzuweisen; es wird zusätzlich und in Ergänzung zu den anderen Überwachungssystemen des Bundes (Strahlenfrühwarnsystem und Laborgestütztes Überwachungsnetz) durchgeführt. Mit einem genau definierten Probenahme- und Messprogramm über mehrere Jahre soll eine radioökologische Datenbasis zur Dokumentation des Ist-Zustandes und von allfälligen Änderungen der Radioaktivität in ausgewählten Medien geschaffen werden.

Die Durchführung des Untersuchungsprogrammes erfolgt in Zusammenarbeit mit der oberösterreichischen Landesregierung, Unterabteilung Umwelttechnik.

Nachfolgend werden der Untersuchungsumfang und die Ergebnisse für 2004 dargestellt.

#### Untersuchungsumfang

<i>Medium</i>	<i>Probenahmestellen</i>	<i>Probenahmeintervall</i>	<i>Messmethode</i>
Niederschlag	Almsee Aspach Schöneben	vierteljährlich	hochauflösende Gammaskpektrometrie LSC
Boden und Bewuchs (Steckerproben 0-5 cm)	Bad Leonfelden Freistadt Linz Sandl Schärding Schöneben Vöcklabruck	jährlich	hochauflösende Gammaskpektrometrie
Getreide	Freistadt	jährlich	hochauflösende Gammaskpektrometrie

## Ergebnisse

### Boden und Bewuchs

Die Messwerte für Cäsium-137 und Kalium-40 sind in Tabelle 1 angeführt. Die Werte zeigen keine Auffälligkeiten beim Vergleich mit den seit 1992 in gleicher Weise ermittelten Aktivitätskonzentrationen.

Probenahmestelle	Boden				Bewuchs			
	Cs-137		K-40		Cs-137		K-40	
	Akt.	Uns.	Akt.	Uns.	Akt.	Uns.	Akt.	Uns.
	Bq/kgTr	%	Bq/kgTr	%	Bq/kgTr	%	Bq/kgTr	%
Schöneben	105	8	769	10	53	6	390	7
Bad Leonfelden	199	5	759	5	4,4	13	963	6
Freistadt	195	5	647	5	17	8	686	6
Sandl	269	6	954	6	77	5	285	6
Linz	167	5	502	5	3,9	19	483	6
Vöcklabruck	230	5	322	5	12	6	506	6
Schärding	64	5	483	5	3,1	42	981	6

Tabelle 1: Aktivitätskonzentrationen in Boden und Bewuchs im Jahr 2004  
(Angabe der Unsicherheit mit  $k = 1,65$ )

### Getreide

In Tabelle 2 sind die Ergebnisse für Cäsium-137 und Kalium-40 angegeben. Auch hier liegen die Werte im langjährigen Trend.

Bezeichnung	Cs-137		K-40	
	Akt.	Uns.	Akt.	Uns.
	Bq/kgTr	%	Bq/kgTr	%
Winterweizen	< 0,55		123	6
Winterroggen	< 0,23		152	5
Wintergerste	< 0,36		135	6
Sommergerste	< 0,46		172	6
Winterhafer	0,36	16	161	5
Sommerhafer	0,44	69	140	6
Wintertriticale	0,10	58	137	5
Winterraps	0,60	33	232	6
Körnererbse	1,37	7	336	5

Tabelle 2: Aktivitätskonzentrationen in Getreide im Jahr 2004  
(Angabe der Unsicherheit mit  $k = 1,65$  bzw. der Nachweisgrenze mit  $k = 3$ )

### Niederschlag

Die Aktivitätskonzentration von Cäsium-137 liegt im Bereich der Nachweisgrenze von etwa 10 mBq/l; die Tritium-Werte bewegen sich im normalen Bereich.

Im Jahr 2005 soll mit in-situ Messungen zusätzlich zur Stecherbeprobung der Böden begonnen werden. Depositionsbestimmungen im Boden mittels Stecherproben und in-situ Messungen ergänzen sich. In-situ Messungen sind empfindlicher im Nachweis neuer Kontaminationen an der Oberfläche, Stecherproben in mehreren Schichten hingegen erlauben die Bestimmung des Tiefenprofils und langfristig die Untersuchung der Migration von Radionukliden im Boden.

## A2. Radonbelastung in oberösterreichischen Schulen

W. Ringer, M. Bernreiter

AGES GmbH, CC Strahlenschutz Linz, Derfflingerstraße 2, 4020 Linz

### Zusammenfassung

In einer Folgestudie zur Erhebung der Radonbelastung in oberösterreichischen Kindergärten [1, 2] wurden im Zeitraum Oktober 2001 bis Jänner 2003 die Innenraumluftqualität, die akustischen Verhältnisse und die bauphysikalischen Qualitätsfaktoren in Oberösterreichs Pflicht- und Berufsschulen, landwirtschaftlichen Fachschulen und Kinderbetreuungseinrichtungen erhoben und bewertet. Insgesamt gibt es in diesem Bereich 1006 Einrichtungen; 870 Einrichtungen haben sich durch die Rücksendung des Fragebogens am Projekt beteiligt (86 % Rücklaufquote).

Radonmessungen wurden in 316 Schulen und 21 Kinderbetreuungseinrichtungen durchgeführt. In 23 Schulen lag der Messwert über  $1000 \text{ Bq/m}^3$ , in 16 Schulen zwischen  $600$  und  $1000 \text{ Bq/m}^3$  und in 25 Schulen und 3 Kinderbetreuungseinrichtungen zwischen  $400$  und  $600 \text{ Bq/m}^3$ . In 44 Klassenräumen wurden aufzeichnende bzw. zeitgesteuerte Radonmessungen durchgeführt, um das Verhältnis der Radonkonzentrationen während des Schulbetriebes zu den gesamt durchschnittlichen Radonkonzentrationen zu ermitteln. Dieses Verhältnis liegt im Mittel bei 1,20 – allerdings bei einer sehr großen Variation von 0,36 bis 3,72.

Für die betroffenen Schulen und Kinderbetreuungseinrichtungen wurde ein Maßnahmenkatalog erarbeitet, in dem Sanierungsempfehlungen in Abhängigkeit von der Radonkonzentration aufgeführt sind.

Insgesamt gesehen bestehen in 90 bis 95 % der teilnehmenden Einrichtungen keine gesundheitlichen Risiken hinsichtlich erheblichem Schimmelbefall, chemischen Innenraumschadstoffen und Radon.

Schließlich wurden mit den Erfahrungen aus diesem Projekt Empfehlungen für Vorsorgemaßnahmen bei zukünftigen Neubauten verfasst.

### Untersuchungskonzept

Aufbauend auf den Erfahrungen der Radonerhebung in den oberösterreichischen Kindergärten (Vollerhebung mit Kurzzeitmessungen (3 Tage), bei Messwerten  $> 600 \text{ Bq/m}^3$  Verifikation mit Langzeitmessungen) wurde für diese Untersuchung entschieden, eine Teilerhebung der Radonsituation durchzuführen: Es wurden jene Schulen untersucht, die

1. über erdgebundene Klassenräume oder Sonderunterrichtsräume verfügen und
2. in einem Radonrisikogebiet (Gemeinde) oder einer Nachbargemeinde eines Radonrisikogebiets entsprechend der oberösterreichischen Radonrisikokarte liegen.

Dabei wurde die Stadt Linz ausgenommen, da hier das Radonrisiko wegen der spezifischen städtebaulichen Situation gering ist. 338 Schulen entsprachen obigen Kriterien.

Zusätzlich wurde noch eine Kontrollgruppe von 30 Schulen mit erdgebundenen Klassenzimmern oder Sonderunterrichtsräumen außerhalb von Radonrisiko- und Nachbargemeinden untersucht, um die Plausibilität der Auswahl für die Teilerhebung zu überprüfen.

Ebenfalls aufbauend auf den Erfahrungen der Kindergartenstudie wurde für diese Untersuchung entschieden, Langzeitmessungen mit Messperioden von rund drei bis fünf Monaten durchzuführen. In den Messperioden sollte die saisonale Ausgewogenheit (Winter/Sommer) sichergestellt sein.

Schließlich wurde in 44 Klassenzimmern mittels aufzeichnenden und zeitgesteuerten Messgeräten die Radonkonzentration während des Betriebes und die gesamtdurchschnittliche Radonkonzentration ermittelt.

### **Ergebnisse**

22 Detektoren konnten aus technischen Gründen nicht ausgewertet werden bzw. gingen am Postweg oder in den Schulen selbst verloren. Abbildung 1 fasst die Ergebnisse der ausgewerteten Messungen zusammen.

Von den 30 Detektoren der Kontrollgruppe konnten 28 ausgewertet werden, alle Messwerte liegen unter  $400 \text{ Bq/m}^3$  und bestätigen somit die Auswahlkriterien für die Teilerhebung.

Das Verhältnis der Radonkonzentrationen während des Schulbetriebes zu den gesamtdurchschnittlichen Radonkonzentrationen lag bei 1,20 (Min. 0,36; Max. 3,72). Ähnlich wie bei den Messungen in den Kindergärten unterlag das Verhältnis Betrieb/Gesamt einer großen Streuung; Gründe dafür liegen wiederum im unterschiedlichen Lüftungsverhalten und in den unterschiedlichen Betriebszeiten in den einzelnen Schulen.

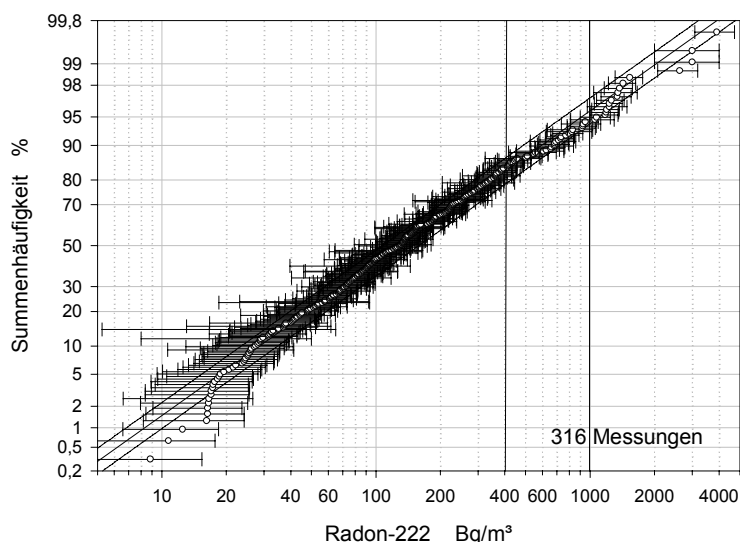


Abb. 1: Summenhäufigkeitsverteilung (log-Normal-Verteilungsskala; Messpunkte mit Messunsicherheitsbalken) der Radonmesswerte in den erdberührten Räumen der untersuchten Schulen in den Radonrisikogebieten und Nachbargemeinden der Radonrisikogebiete; Messzeitraum Jänner bis Mai bzw. September bis Dezember 2002

Als Maßnahmen wurden empfohlen:

Radonkonzentration	Maßnahmen
> 2000 Bq/m <sup>3</sup>	detaillierte Radondiagnose (zusätzliche Radon-Messungen mit aufzeichnenden Messgeräten), ggf. weitere Maßnahmen festlegen
1000 – 2000 Bq/m <sup>3</sup>	Radonsanierung innerhalb von drei Jahren Falls möglich, sollten die betroffenen erdgebundenen Unterrichtsräume bis zum Sanierungszeitpunkt nicht mehr genutzt werden oder jedenfalls sollte durch die Ausführung eines ausreichenden Raumlüftungsplanes die Radonexposition in diesen Räumen vermindert werden
600 – 1000 Bq/m <sup>3</sup>	Radonsanierung innerhalb von 10 Jahren Falls möglich, sollten die betroffenen erdgebundenen Unterrichtsräume bis zum Sanierungszeitpunkt nicht mehr genutzt werden oder jedenfalls sollte durch die Ausführung eines ausreichenden Raumlüftungsplanes die Radonexposition in diesen Räumen vermindert werden
400 – 600 Bq/m <sup>3</sup>	Verbesserung der Radonsituation durch entsprechende Änderung des Nutzungskonzeptes für die betroffenen erdgebundenen Räume oder durch die Ausführung eines Lüftungsplanes; bei zukünftigen allgemeinen baulichen Sanierungsmaßnahmen Berücksichtigung des Radonsanierungsgesichtspunktes

Eine ausführliche Darstellung aller Ergebnisse sowie die Empfehlungen für Planer und Nutzer zur Vermeidung von Innenraum-Belastungen in Schulen und Kindergärten sind auf der Homepage des Landes Oberösterreich zu finden ([www.ooe.gv.at/umwelt](http://www.ooe.gv.at/umwelt)).

Die Projektkoordination erfolgte durch Heribert Kaineder, oberösterreichische Landesregierung (U-UT), die wissenschaftliche Leitung durch Franz-Josef Maringer, ARCS.

## Literatur

- [1] Ringer, W.; *Erhebung der Radonbelastung in oberösterreichischen Kindergärten (Teil 1)*; in: „Radioaktivitätsmessungen in Österreich 2000 – Daten und Bewertung“, Hrsg. BMLFUW und BMSG; November 2001
- [2] Ringer, W., Bernreiter, M.; *Erhebung der Radonbelastung in oberösterreichischen Kindergärten (Teil 2)*; in: „Radioaktivitätsmessungen in Österreich 2002 – Daten und Bewertung“, Hrsg. BMLFUW und BMSG; Februar 2004

### **A3. Strahlenexposition von Beschäftigten in oberösterreichischen Wasserwerken (Teil 1: Projektdarstellung)**

W. Ringer, M. Simader, M. Bernreiter

AGES GmbH, CC Strahlenschutz Linz, Derfflingerstraße 2, 4020 Linz

#### **Motivation und Inhalt**

Die Umsetzung der Grundnormen-Richtlinie 96/29/Euratom des Rates der Europäischen Union erfordert im Hinblick auf die Verbesserung der strahlenhygienischen Situation von Arbeitnehmern im Zusammenhang mit den bestehenden und zukünftigen gesetzlichen Rahmenbedingungen in Österreich die umfassende Erhebung der Strahlenexposition in Arbeitsstätten.

Die Pilotstudie soll dazu dienen, die Expertise auf dem Gebiet der natürlichen Strahlenexposition in Arbeitsstätten und der Bevölkerung in Österreich zu erweitern. Dazu werden in ausgewählten Wasserwerken die Radonkonzentration in verschiedenen Gebäuden (Aufbereitungsgebäude, Hochbehälter), die Radonbelastung der Beschäftigten, die Ortsdosisleistung bei Raumlufentfeuchter sowie der Radioaktivitätsgehalt der Filterschlämme ermittelt. Aus den Messergebnissen wird die Strahlenexposition der Beschäftigten und gegebenenfalls von Einzelpersonen der Bevölkerung bestimmt. Weiters sollen Richtlinien für die Sanierung und Vorsorge bei Wasserwerken bzw. für die Entsorgung von Rückständen erstellt werden.

Die Projektkoordination erfolgt durch Heribert Kaineder, oberösterreichische Landesregierung (U-UT), die wissenschaftliche Leitung durch den Autor dieses Beitrages.

#### **Untersuchungskonzept**

- Auswahl der Wasserwerke
  - Besichtigung von 2 Wasserwerken
  - Festlegung der Auswahlkriterien
  - Recherche in diversen Datenbanken (Wasserdatenbank der Lebensmittelaufsicht, Wasserinformationssystem (WIS), Wasserbuch)
- Erstellung des Fragebogens
- Ankündigung der Untersuchungen durch ein Schreiben von LR Anschober an die Betreiber der ausgewählten Wasserwerke
- Besuch der ausgewählten Wasserwerke
  - Ausfüllen des Fragebogens mit dem Wassermeister

- Aufstellen von Radonmessgeräten (EPERM, AlphaGuard, EQF3120) in Aufbereitungsanlagen und Hochbehälter
- Messung der Ortsdosisleistung bei Raumlufentfeuchter
- Beprobung von Rückspül-Wässern
- Auswertung der Fragebögen
- Auswertung der Messungen und gegebenenfalls Durchführung von Nachmessungen
- Ermittlung der Strahlenbelastung
- gegebenenfalls Planung und Durchführung von Sanierungsmaßnahmen, Verifikation des Sanierungserfolges
- Erstellung von Richtlinien für die Sanierung und Vorsorge bei Wasserwerken

Das Projekt soll im Frühjahr 2006 abgeschlossen werden.

## Literatur

- /BKA 88/** „Die Auswirkungen des Reaktorunfalls von Tschernobyl auf Österreich“; 2., verbesserte Ausgabe, Beiträge Lebensmittelangelegenheiten, Veterinärverwaltung, Strahlenschutz (Bundeskanzleramt, Sektion VII), 2/88, Wien (1990)
- /BKA 91/** „Radioaktivitätsmessungen in Österreich 1988 und 1989; Daten und Bewertung“; Beiträge Lebensmittelangelegenheiten, Veterinärverwaltung, Strahlenschutz (Bundeskanzleramt, Sektion VII), 2/91, Wien (1991)
- /BKA 97/** „Radioaktivitätsmessungen in Österreich 1994 und 1995; Daten und Bewertung“; Beiträge Lebensmittelangelegenheiten, Veterinärverwaltung, Strahlenschutz, Toxikologie, Gentechnik (Bundeskanzleramt, Sektion VI), 3/97, Wien (1997)
- /BKA 98/** „Radioaktivitätsmessungen in Österreich 1996 und 1997; Daten und Bewertung“; Beiträge Lebensmittelangelegenheiten, Veterinärverwaltung, Strahlenschutz, Toxikologie, Gentechnik (Bundeskanzleramt, Sektion VI), 12/98, Wien (1998)
- /BKA 99/** „Radioaktivitätsmessungen in Österreich 1998; Daten und Bewertung“; Beiträge Lebensmittelangelegenheiten, Veterinärverwaltung, Strahlenschutz, Toxikologie, Gentechnik (Bundeskanzleramt, Sektion VI), 9/99, Wien (1999)
- /BMGK 95/** „Radioaktivitätsmessungen in Österreich 1992 und 1993; Daten und Bewertung“; Beiträge Lebensmittelangelegenheiten, Veterinärverwaltung, Strahlenschutz (Bundesministerium für Gesundheit und Konsumentenschutz, Sektion III), 5/95, Wien (1995)
- /BMGSK 92a/** „Rahmenempfehlungen für die Festlegung und Durchführung von Maßnahmen zum Schutz der Bevölkerung vor ionisierender Strahlung in Fällen großräumiger radioaktiver Verunreinigung“; Beiträge Lebensmittelangelegenheiten, Veterinärverwaltung, Strahlenschutz (Bundesministerium für Gesundheit, Sport und Konsumentenschutz, Sektion III), 3/92, 3., erweiterte Ausgabe, Wien (1992)
- /BMGSK 92b/** „Radon in Österreich: Bestandsaufnahme bisheriger Untersuchungen und Konzepte für ein weiteres Vorgehen hinsichtlich eines nationalen Radonprogrammes“; Beiträge Lebensmittelangelegenheiten, Veterinärverwaltung, Strahlenschutz (Bundesministerium für Gesundheit, Sport und Konsumentenschutz, Sektion III), 4/92, Wien (1992)
- /BMGSK 94a/** „Radioaktivitätsmessungen in Österreich 1990 und 1991; Daten und Bewertung“; Beiträge Lebensmittelangelegenheiten, Veterinärverwaltung, Strahlenschutz (Bundesministerium für Gesundheit, Sport und Konsumentenschutz, Sektion III), 1/94, Wien (1994)
- /BMGSK 94b/** „Radon in Österreich - 1993“; Beiträge Lebensmittelangelegenheiten, Veterinärverwaltung, Strahlenschutz (Bundesministerium für Gesundheit, Sport und Konsumentenschutz, Sektion III), 3/94, Wien (1994)
- /CEC 98/** „Atlas of Caesium Deposition on Europe after the Chernobyl Accident“; Europäische Kommission, GD XII, (1998)
- /Ditto 99/** M. Ditto et al.: „Radon-222 im Grundwasser – Ein österreichweiter Überblick“; Bericht der BALUF Wien, Jänner 1999
- /Duftschmid 81/** K.E. Duftschmid: „Die berufliche Strahlenbelastung in Österreich im Jahr 1980“; Österreichisches Forschungszentrum Seibersdorf, OEFZS--4097, (1981)
- /Friedmann 96/** H. Friedmann et al.: „The Austrian Radon Project“; Environment International, Vol. 22, Suppl. 1, pp S677-S686, (1996)

**/Henrich 85/** E. Henrich, F. Schönhofer: „Gammastrahlende künstliche Radionuklide in der Umwelt“; Beiträge Umweltschutz, Lebensmittelangelegenheiten, Veterinärverwaltung (Bundesministerium für Gesundheit und Umweltschutz), 4/85, Wien (1985)

**/Henrich 89/** E. Henrich, J. Weisz, W. Haider: „Tritium in der Thaya“; BALUF Wien, Interner Bericht BALUF-STS-89.04, (November 1989)

**/Henrich 93/** E. Henrich, V. Karg, M. Ditto, J. Weisz, M. Zapletal, M. Korner: „Tritium in Nutzwasserproben aus dem Gebiet Thaya-March; Untersuchungen von 1990 bis 1992“; BALUF Wien, Interner Bericht BALUF-STS-01.93, (Februar 1993)

**/Hötzl 93/** H. Hötzl, R. Winkler: „Ursachen der jahreszeitlichen Schwankungen der Konzentrationen von Cs-134/Cs-137 in der bodennahen Luft“; 25. Jahrestagung des Fachverbands für Strahlenschutz e.V. „Umweltradioaktivität, Radioökologie, Strahlenwirkungen“, Binz auf Rügen; Publikationsreihe „Fortschritte im Strahlenschutz“, FS-93-67-T (1993)

**/Lagoni 63/** H. Lagoni, O. Paakkola, K.H. Peters: „Untersuchungen über die quantitative Verteilung radioaktiver Fallout-Produkte in der Milch“; Milchwissenschaft 18, 340-344, (1963)

**/Mück 90/** K. Mück, M. Gerzabek, F. Steger: „<sup>137</sup>Cs-Activity Concentration in Milk Two Years After the Chernobyl Accident Compared to Deposition Rates“, in G. Desmet (ed.): „Transfer of Radionuclides in Natural and Semi-Natural Environments“, Proceedings eines Workshops, 11. - 15. Sept. 1989, Udine, Elsevier Applied Science, S. 575-582, London (1990)

**/Mück 91/** K. Mück, F. Steger: „Wash-Off Effects in Urban Areas“; Radiation Protection Dosimetry, Vol. 37, No. 3, pp. 189-194, (1991)

**/Mück 95/** K. Mück: „Langzeitfolgedosis nach großräumiger Kontamination“; Österreichisches Forschungszentrum Seibersdorf, OEFZS-A--3605 (1995)

**/Rank 85/** D. Rank: „Umwelttritium in Mitteleuropa“; 10. Jahrestagung der ÖSRAD, Wien, Mai 1985, in: ÖVS-Mitteilungen 2/1988

**/Rank 94/** D. Rank: „Umwelttritium im Donauraum“; 15. Jahrestagung der ÖSRAD, Wien, Juni 1994, in: Radioökologie 1994 - Tagungsbericht

**/Schönhofer 85a/** F. Schönhofer, E. Henrich: „Tritium im Niederschlag. Eine Bestandsaufnahme in Österreich - Oktober 1980 bis Dezember 1983“; Beiträge Umweltschutz, Lebensmittelangelegenheiten, Veterinärverwaltung (Bundesministerium für Gesundheit und Umweltschutz), 4/85, Wien (1985)

**/Schönhofer 85b/** F. Schönhofer, E. Henrich: „Tritium in Oberflächenwässern. Eine Bestandsaufnahme in Österreich - Donau, March, Thaya, Mur und Drau“; Beiträge Umweltschutz, Lebensmittelangelegenheiten, Veterinärverwaltung (Bundesministerium für Gesundheit und Umweltschutz), 4/85, Wien (1985)

**/STATIS 93/** Österreichisches Statistisches Zentralamt: „Ergebnisse der landwirtschaftlichen Statistik im Jahre 1993“; Beiträge zur Österreichischen Statistik, Heft 1.137, (1994)

**/STATIS 97/** Österreichisches Statistisches Zentralamt: „Ergebnisse der landwirtschaftlichen Statistik im Jahre 1997“; Beiträge zur Österreichischen Statistik, Heft 1.271, (1998)

**/Strebl 95/** F. Strebl: „Die Modellierung des Radiocäsiumtransfers (Boden-Pflanze-Rehwild) in Waldökosystemen“; Dissertation, Universität Wien (1995)

**/Tschirf 75/** E. Tschirf, W. Baumann, R. Niesner, P. Vychytil: „Strahlenkarte Österreichs - Mittlere Bevölkerungsdosen im Freien durch terrestrische und kosmische Strahlung“; Bundesministerium für Gesundheit und Umweltschutz, Wien (1975)

**/Tschirf 80/** E. Tschirf, W. Baumann, R. Niesner: „Ermittlung der Bevölkerungsstrahlendosis durch die natürliche äußere Strahlung in Innenräumen“; Beiträge Umweltschutz, Lebensmittelangelegenheiten, Veterinärverwaltung (Bundesministerium für Gesundheit und Umweltschutz), 5/80, Wien (1980)

/UBA 96/ P. Bossew, M. Ditto, T. Falkner, E. Henrich, K. Kienzl, U. Rappelsberger: „Cäsiumbelastung der Böden Österreichs“; Umweltbundesamt Wien, März 1996

/UBA 97/ S. Scharf, M. Schneider, G. Zethner: „Zur Situation der Verwendung und Entsorgung des kommunalen Klärschlammes in Österreich“; Umweltbundesamt Wien, 1997

/UNSCEAR 00/ „Sources and Effects of Ionizing Radiation“; United Nations Scientific Committee on the Effects of Atomic Radiation, UNSCEAR 2000 Report to the General Assembly, New York (2000)

/Vychytil 79/ P. Vychytil: „Das österreichische Strahlenfrühwarnsystem“; in: Tagung 1979: Österreichisches Überwachungsnetz für Umweltradioaktivität; Bundesministerium für Gesundheit und Umweltschutz, Wien (1979)

/Watson 85/ A. P. Watson: „Polonium-210 and Lead-210 in Food and Tobacco Products: Transfer Parameters and Normal Exposure and Dose“; Nuclear Safety, Vol. 26, No. 2, p. 179, (1985)

/ZAMG 93/ „TAWES – Teilautomatisches Wettererfassungssystem der Zentralanstalt für Meteorologie und Geodynamik“; Zentralanstalt für Meteorologie und Geodynamik, Publ. Nr.: 350, Wien (1993)

/Zechner 89/ J. Zechner: „Das österreichische Strahlenfrühwarnsystem“; ÖSRAD-Tagung, Wien (1989)

## Forschungsberichte aus dem Bereich Strahlenschutz

In der den Strahlenschutz betreffenden Berichtsserie sind bisher erschienen:

- /79 Österreichisches Überwachungsnetz für Umweltradioaktivität – Tagung 1979 (vergriffen)
- 6/79 Genetisch signifikante Strahlenbelastung der österreichischen Bevölkerung durch medizinische Untersuchungen und Behandlungen der Patienten (vergriffen)
- 5/80 Strahlendosen durch nuklearmedizinische Maßnahmen / Natürliche äußere Strahlung in Innenräumen / Bestimmung von Radiostrontium in Umweltpollen (vergriffen)
- 8/82 Umweltradioaktivität (vergriffen)
- 4/85 Umweltradioaktivität in Österreich – Ergebnisse 1980 bis 1983 (vergriffen)
- 2/88 Die Auswirkungen des Reaktorunfalls von Tschernobyl auf Österreich (2., verbesserte Auflage)
- 1/89 Überwachungsnetz für Radioaktivität, Messungen 1987
- 2/89 Rahmenempfehlungen für die Festlegung und Durchführung von Maßnahmen zum Schutz der Bevölkerung vor ionisierender Strahlung in Fällen großräumiger radioaktiver Verunreinigung (1. Ausgabe; ersetzt durch 3/92)
- 5/89 Meteorologische Studie über den Zusammenhang zwischen Emissionen der Wiederaufarbeitungsanlage Wackersdorf, Bayern, und den dadurch verursachten Immissionen in Österreich
- 6/89 Die Auswirkungen des Reaktorunfalls in Tschernobyl auf Österreich – Folgestudien
- /90 Verteilung und Wanderung von Radionukliden in Böden und deren Aufnahme in Pflanzen nach dem Reaktorunfall von Tschernobyl
- 3/90 Bestimmung des Strontium-90-Gehaltes in Luftfiltern aus der Zeit nach dem Reaktorunfall in Tschernobyl
- 2/91 Radioaktivitätsmessungen in Österreich 1988 und 1989, Daten und Bewertung
- 3/91 Rahmenempfehlungen für die Festlegung und Durchführung von Maßnahmen zum Schutz der Bevölkerung vor ionisierender Strahlung in Fällen großräumiger radioaktiver Verunreinigung (2., erweiterte Ausgabe; ersetzt durch 3/92)
- 5/91 Möglichkeiten einer regionalen Prognose in Fällen großräumiger Verstrahlung basierend auf dem Modell ECOSYS
- 1/92 UV-Exposition der österreichischen Bevölkerung durch solare Strahlung in Beruf, Freizeit und Urlaub sowie durch die Nutzung von Solarien
- 3/92 Rahmenempfehlungen für die Festlegung und Durchführung von Maßnahmen zum Schutz der Bevölkerung vor ionisierender Strahlung in Fällen großräumiger radioaktiver Verunreinigung (3., erweiterte Ausgabe)
- 4/92 Radon in Österreich: Bestandsaufnahme bisheriger Untersuchungen und Konzepte für ein weiteres Vorgehen hinsichtlich eines nationalen Radonprogrammes
- 4/93 Literaturstudie zur Immissionsabschätzung bei Nuklearunfällen
- 1/94 Radioaktivitätsmessungen in Österreich 1990 und 1991, Daten und Bewertung
- 3/94 Radon in Österreich 1993
- 5/95 Radioaktivitätsmessungen in Österreich 1992 und 1993, Daten und Bewertung
- 7/96 Immissionsabschätzung bei Nuklearunfällen, Entwicklung von Tamos: Diagnostische Windfelder und Trajektorien

- 
- 1/97 Studie dokumentierter Forschungsergebnisse über die Wirkung elektromagnetischer Felder  
Teil 1: Niederfrequente elektrische und magnetische Felder  
Teil 2: Hochfrequente elektromagnetische Felder  
Teil 3: Wissenschaftliche Veröffentlichungen und relevante Dokumente
- 3/97 Radioaktivitätsmessungen in Österreich 1994 und 1995, Daten und Bewertung
- 12/98 Radioaktivitätsmessungen in Österreich 1996 und 1997, Daten und Bewertung
- 9/99 Radioaktivitätsmessungen in Österreich 1998, Daten und Bewertung
- 12/00 Radioaktivitätsmessungen in Österreich 1999, Daten und Bewertung
- 11/01 Radioaktivitätsmessungen in Österreich 2000, Daten und Bewertung
- 12/02 Radioaktivitätsmessungen in Österreich 2001, Daten und Bewertung
- 2/04 Radioaktivitätsmessungen in Österreich 2002, Daten und Bewertung